

Redakční rada:

Doc. Ing. Dr. L. Oppl, CSc. (vedoucí redaktor) — Ing. V. Bašus (výkonný redaktor) —  
Doc. Ing. Dr. J. Cihelka — V. Fridrich, dipl. tech. — Doc. Ing. V. Chalupová, CSc. —  
Ing. arch. L. Chalupský — Doc. Ing. J. Chyský, CSc. — Ing. B. Jelen — Ing. L. Kubíček —  
Ing. Dr. M. Lázňovský — Ing. L. Strach, CSc. — Doc. Ing. J. Valchář, CSc.

Adresa redakce: Dvorecká 3, 147 00 Praha 4

OBSAH

RNDr. Z. Hubáček:	Fyzikální měření parametrů prostředí mokrých provozů . . . . .	129
Ing. J. Vítěk, CSc.:	Hodnocení frakční propustnosti elutriátorů při dvoustupňovém měření prašnosti . . . . .	133
Ing. L. Piršel, Ing. D. Petráš, CSc.:	Analýza teplotních parametrov interiéru obytné budovy vo vzáhu k tepelné pohode . . . . .	145
Z. Svoboda, Ing. E. Libiš, Ing. V. Rybecký:	Sinusová dýza a výroba modelu pro laminování . . . . .	159
Ing. T. Nadler:	Zpětné získávání tepla z odpadního vzduchu výměníky se skleněnými trubkami . . . . .	171



CONTENTS

RNDr. Z. Hubáček:	Physical measurements of parameters of the environment of wet operations . . . . .	129
Ing. J. Vítěk, CSc.:	Evaluation of the fractional permeability of elutriators during the two-stage measuring of dustiness . . . . .	133
Ing. L. Piršel, Ing. D. Petráš, CSc.:	Analysis of air-temperatures distribution in the room of dwelling building in relation to thermal comfort . . . . .	145
Z. Svoboda, Ing. E. Libiš, Ing. V. Rybecký:	The sinusoidal nozzle and the pattern making for laminating . . . . .	159
Ing. T. Nadler:	Heat recovery from extract air by heat exchangers with glass tubes . . . . .	171

## СОДЕРЖАНИЕ

Д-р прир. наук З. Губачек:	Физическое измерение параметров среды при мокрых способах производства . . . . .	129
Инж. Й. Витек, к. т. н.:	Оценка проницаемости элютиаторов во время двухступенчатого измерения пыльности . . . . .	133
Инж. Л. Пиршел, Инж. Д. Петраш, к. т. н.:	Анализ распределения температуры воздуха в помещении жилого здания по отношению к тепловому комфорту . . . . .	145
З. Свобода, Инж. Э. Либиш, Инж. В. Рыбецки:	Синусоидальное сопло и изготовление модели для наслаждения . . . . .	159
Инж. Т. Надлер:	Утилизация тепловой энергии удаленного воздуха с помощью теплообменников с стеклянными трубками . . . . .	171

## INHALT

RNDr. Z. Hubáček:	Physikalische Messung der Parameter eines Millieus von Nasstextilbetrieben . . . . .	129
Ing. J. Vítěk, CSc.:	Bewertung der Fraktionsdurchlassfähigkeit der Elutriationseinrichtungen bei der Zweistufennmessung der Staubkonzentration . . . . .	133
Ing. L. Piršel, Ing. D. Petráš, CSc.:	Analyse der Innenlufttemperaturverteilung im Raum eines Wohngebäudes im Bezug zur thermischen Behaglichkeit .	145
Z. Svoboda, Ing. E. Libiš, Ing. V. Rybecký:	Sinusdüse und die Herstellung eines Modells für die Laminierung . . . . .	159
Ing. T. Nadler:	Wärmerückgewinnung aus der Abluft mit Hilfe der Wärmeüberträger mit den Glasrohren . . . . .	171

## SOMMAIRE

RNDr. Z. Hubáček:	Mesurage physique des paramètres d'un milieu des exploitations textiles humides . . . . .	129
Ing. J. Vítěk, CSc.:	Appréciation de la pénétration fractionnée des élustriateurs au mesurage à deux étages de la concentration en poussière . . . . .	133
Ing. L. Piršel, Ing. D. Petráš, CSc.:	Analyse de la distribution de la température de l'air à l'intérieur d'un bâtiment habité en fonction du confort thermique . . . . .	145
Z. Svoboda, Ing. E. Libiš, Ing. V. Rybecký:	Éjecteur sinusoïdal et la fabrication d'un modèle pour le laminage . . . . .	159
Ing. T. Nadler:	Récupération de chaleur de l'air résiduaire à l'aide des échangeurs avec tubes de verre . . . . .	171

# FYZIKÁLNÍ MĚŘENÍ PARAMETRŮ PROSTŘEDÍ MOKRÝCH PROVOZŮ

RNDr. ZDENĚK HUBÁČEK

*Centroprojekt, PIO — Gottwaldov*

V příspěvku je popsána metoda měření a vyhodnocení teplot a relativních vlhkostí vzduchu v mokrých textilních provozech. Jako příklad jsou uvedeny výsledné hodnoty teplot a vlhkostí vzduchu pod střešním pláštěm bělidla BZVIL Ružomberok.

Recenzoval: Doc. Ing. Dr. Ladislav Oppl, CSc.

Teplota a vlhkost vnitřního prostředí jsou jedny ze základních návrhových parametrů při projektování mokrých provozů. Nejobjektivnější cesta získání informací o těchto parametrech je cesta experimentu. Důslednou aplikací metod experimentální fyziky pak lze získat hodnoty, jejichž závažnost lze považovat za statistickou.

Měření parametrů vnitřního prostředí se zpravidla omezuje na oblast pracovních výšek 1,5—2 m nad podlahou. Použitelnost takto získaných výsledků je významně omezena ne definovatelným výškovým gradientem teploty a vlhkosti. Naproti tomu měření ve větších výškách narází na obtíže, neboť je nutno je provádět za provozu. V případě mokrých textilních provozů je třeba provádět analýzu prostředí v plné výšce prostoru. Jedná se zde zpravidla o halové objekty o výšce větší než 6 m o šírkách lodí 12 až 18 m. Pro tyto účely byl upraven komerční psychometr Hygrophil 4451-3 fy Ultrakust (NSR). Vlastní čidlo bylo propojeno s měřicím přístrojem prodlužovacím kabelem, který splňoval podmíinku

$$\Delta R > R_0, \quad (1)$$

kde  $R_0$  je odpor kabelu [ $\Omega$ ],

$\Delta R$  rozlišovací schopnost měřicího zařízení (ohmmetr) [ $\Omega$ ].

Jelikož se jedná o přístroj s čidly, která pracují na základě závislosti odporu slovodiče na teplotě (termistor), je podmínka (1) ve vztahu

$$\frac{\partial R(t)}{\partial t} \varepsilon > R_0, \quad (2)$$

kde  $R(t)$  je odpor čidla [ $\Omega$ ],

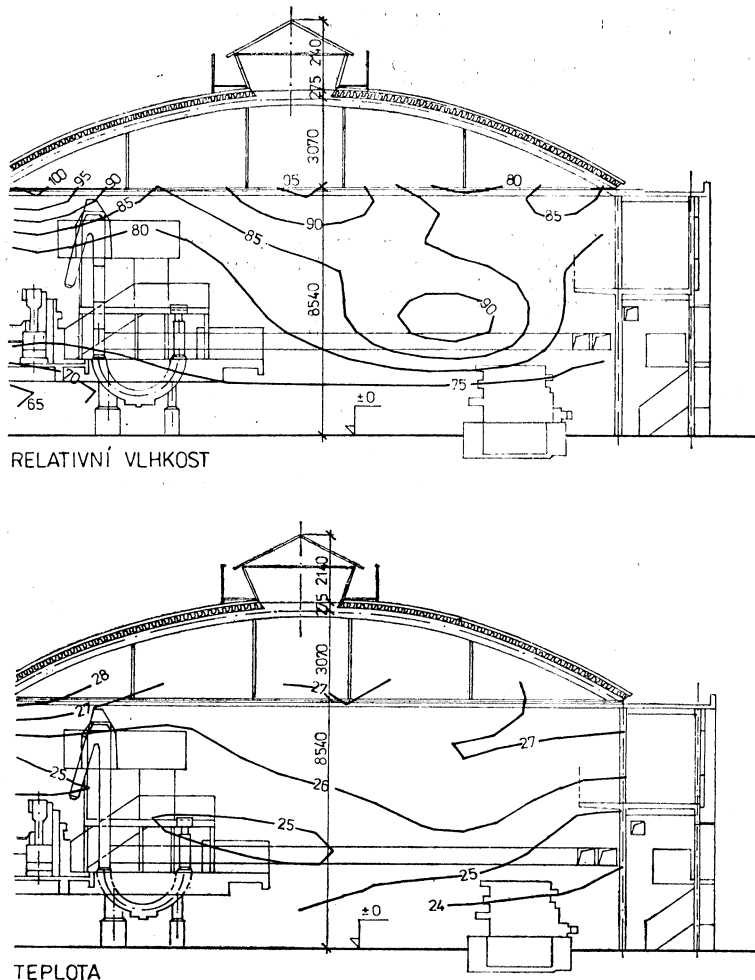
$t$  teplota [ $K$ ],

$\varepsilon$  strmost převodu.

Cidlo je zavřeno na skládací měřicí tyči, která umožňuje poměrně rychle zmapovat měřený prostor v síti měřicích bodů. Tyč dosáhla praktické výšky až 9 m. Tato výška je omezena zejména vysokou hmotností čidla. Měřicí tyč se osvědčila zejména v provozech s hustě rozmístěnou technologií, kde stavba lešení či použití zvedacích plošin byly vyloučeny.

Měření bylo prováděno v mokrých textilních provozech v řezech kolmých na osy lodí ve dvourozměrné síti. S ohledem na rychlosť změn teplot a vlhkostí v provozech ve vztahu k době měření jednoho řezu, je možno je považovat za měření okamžitého stavu.

Při průzkumu bylo měřeno 16 provozů s různou technologií a s různým zpracovávaným materiálem. Rozdílné byly i vnější podmínky (léto, podzim, zima). Výsledky



Obr. 1. Bělidlo BZVIL Ružomberok

měření byly zpracovávány do tabulek pomocí interpolačních funkcí graficky — izolinemi teplot a vlhkostí.

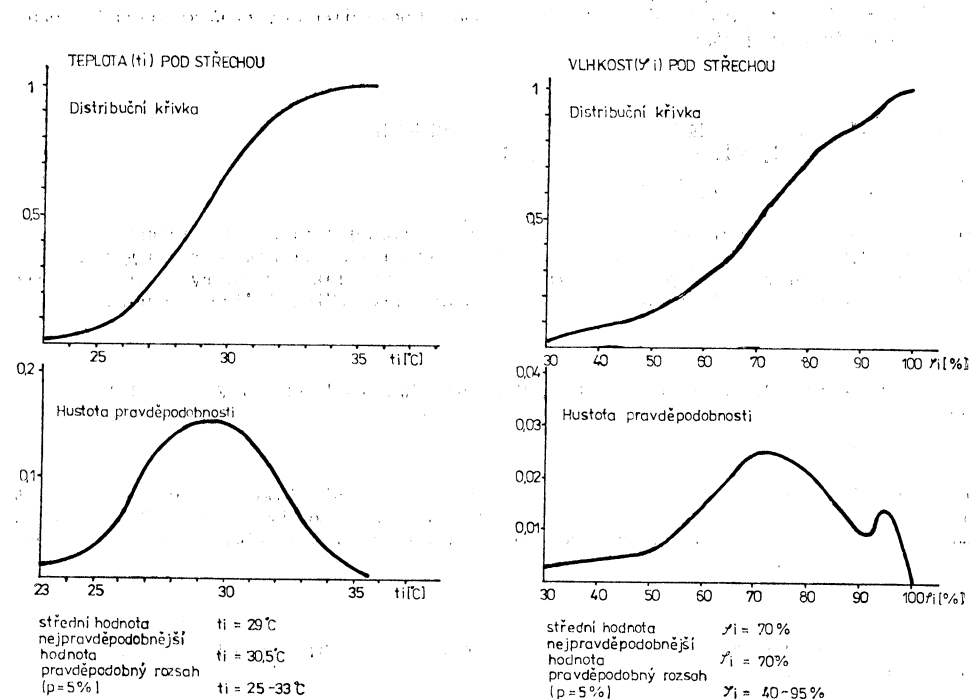
Jako příklad jsou uvedeny výsledky měření z bělidla BZVIL Ružomberok (obr. 1). V horní části obrázku jsou vyneseny izolinie relativní vlhkosti, v dolní části izolinie teploty vnitřního vzduchu.

Z obrázku lze získat informace:

- o hygienických poměrech v pracovní zóně (tj. asi ve výšce 1,5 m nad podlahou),
- o zdrojích tepla a vodních par v prostoru,
- o předpokládaném pohybu vzduchu v prostoru,
- o účinnosti větrání,
- o předpokládaném namáhání stavebních konstrukcí, zejména zastřešení.

Na obr. 1 ovlivňuje vnitřní prostředí peroxidový *J*-box provazcového bělidla v levé části prostoru a mercerační stroj v části pravé. Vliv *J*-boxu je vyjádřen velkým místním zvýšením teploty a vlhkosti. Poměrně velkým zdrojem vlhkosti je rovněž mercerační stroj, u něhož však nedochází k vývinu tepla. Z obrázku je také zřejmé nedokonalé větrání, způsobené zejména nedostatečnou funkcí světlíku. Zatímco se vlhkost od merceračního stroje světlíkem odvádí, shromažďuje se teplý vlhký vzduch od *J*-boxu v koutě pod střešním pláštěm. Z obrázku je zřejmé i nedostatečné provětrávání v místech styku střešního a obvodového pláště.

Zobecnění výsledků měření z různých typů provozů bylo provedeno metodami matematické statistiky. Statistický soubor obsahoval přes 200 prvků. Byly vyhodno-



Obr. 2. Statistické funkce parametrů prostoru

ceny měřicí body ve výšce 1,5 m (v pracovní zóně) a ve výšce pod vnitřním lícem střešního pláště (oblast namáhání střešní konstrukce). Výsledky byly zpracovány formou distribučních křivek a křivek hustoty pravděpodobnosti pro teplotu  $t_i$  a relativní vlhkost  $\varphi_i$  vnitřního vzduchu na obr. 2. Z grafů na obrázku lze statistickým rozbořem zjistit informace o středních hodnotách, nejpravděpodobnějších hodnotách a dalších vlastnostech sledované veličiny. Pro zvolený kvantil lze rovněž snadno odečíst teplotu a vlhkost. Např. pro kvantil  $\alpha = 95\%$  bude pod střechou teplota  $t_i = 33^\circ\text{C}$  a relativní vlhkost  $\varphi_i = 95\%$ .

Výsledky zde publikované je možno upřesňovat a rozširovat dalším měřením v provozech. Nabízí se též další využití již známých hodnot.

Pozornost si zřejmě zaslouží rozbor rozložení částečného tlaku vodních par ve

vnitřním vzduchu, ze kterého lze očekávat další rozšíření poznatků. Prohloubením znalosti dynamiky vnitřního prostředí kontinuálním měřením a vyhodnocením parametrů uvedených výše bude možno stanovit objektivně potřebný kvantil a z něho výpočtové parametry vnitřního vzduchu ( $t_i$ ,  $\varphi_i$ ) pro hospodárný návrh obvodového a střešního pláště mokrých provozů.

#### LITERATURA

- [1] Brož, J.: Základy fyzikálních měření. SPN, Praha 1983.
- [2] Horák, Z.: Praktická fyzika, SNTL, Praha 1958.
- [3] Konečný, J.—Krampol, J.—Hubáček, Z.: Teplotně vlhkostní poměry v zušlechťovnách textilu. Věstník Centroprojekt, č. 8—9, 1983.

### ФИЗИЧЕСКОЕ ИЗМЕРЕНИЕ ПАРАМЕТРОВ СРЕДЫ ПРИ МОКРЫХ СПОСОБАХ ПРОИЗВОДСТВА

д-р прир. наук Зденек Губачек

В статье описывается метод измерения и оценки температур и относительных влажностей воздуха при мокрых способах производства на текстильных предприятиях. В качестве примера приводятся результирующие значения температур и влажностей воздуха под кровельной конструкцией отдельного цеха БЗВИЛ Ружомберок.

### PHYSICAL MEASUREMENTS OF PARAMETERS OF THE ENVIRONMENT OF WET OPERATIONS

RNDr. Zdeněk Hubáček

The method for measuring and evaluation of temperatures and relative air humidities in wet processing shops in the textile industry is described in the article. Resulting values of temperatures and air humidities under the roof envelope of the bleaching plant BZVIL Ružomberok are presented there as an example.

### PHYSIKALISCHE MESSUNG DER PARAMETER EINES MILLIEUS VON NASSTEXTILBETRIELEN

RNDr. Zdeněk Hubáček

Im Artikel wird die Mess- und Bewertungsmethode der Temperaturen und Relativfeuchtigkeiten der Luft in den Nasstextilbetrieben beschrieben. Als ein Beispiel werden die resultierenden Werte der Temperaturen und Relativfeuchtigkeiten der Luft unter einer Dachhaut der Bleichanlage BZVIL Ružomberok eingeführt.

### MESURAGE PHYSIQUE DES PARAMÈTRES D'UN MILIEU DES EXPLOITATIONS TEXTILES HUMIDES

RNDr. Zdeněk Hubáček

Dans l'article présenté, on décrit la méthode de mesure et d'appréciation des températures et humidités relatives de l'air dans les exploitations textiles humides. Les valeurs résultantes des températures et humidités de l'air sous une couverture des toits de la blanchisserie BZVIL Ružomberok sont citées comme un exemple.

# HODNOCENÍ FRAKČNÍ PROPUSTNOSTI ELUTRIÁTORŮ PŘI DVOUSTUPŇOVÉM MĚŘENÍ PRAŠNOSTI

ING. JAN VÍTEK, CSc.

*Vědeckovýzkumný uhlerný ústav, Ostrava-Radvanice*

S rozvojem metod dvoustupňového měření koncentrace fibrogenních prachů v pracovním ovzduší a s podstatným rozšířením tohoto způsobu hodnocení rizikovosti prašných pracovišť v praxi se stává stále aktuálnější otázka metrologie používaných přístrojů. Jednou z nejdůležitějších charakteristik dvoustupňových přístrojů pro odběr prachu z ovzduší je křivka frakční propustnosti elutriátoru. Problematicce jejího stanovení je věnována tato práce.

*Recenzoval: Ing. Jaroslav Šimeček, CSc.*

## 1. ÚVOD

V souladu se světovým vývojem se používají v ČSSR již řadu let pro dvoustupňová měření koncentrace fibrogenních prachů v pracovním ovzduší dvoustupňové odběrové přístroje [1], a to přenosné přístroje DP 20 [2] a DP 50 [3], v poslední době i osobní dvoustupňový prachoměr ODPN [4, 5]. V souvislosti s nutností zabezpečit i při masovém a dlouhodobém používání této přístrojů jejich správnou funkcí, aby bylo zaručeno spolehlivé hodnocení hygienické rizikovosti prašných pracovišť, vystává řada problémů v oblasti metrologie. Jedná se zejména o

— zajištění kontroly hlavních funkčních parametrů přístrojů u sérií vyráběných různými výrobci,

— testování přípustnosti různých konstrukčních změn a úprav přístrojů, vyplývajících z různých technologických možností výrobců,

— ověřování použitelnosti opotřebených přístrojů po jejich děletrvajícím provozu.

Jedním ze základních funkčních parametrů dvoustupňových odběrových přístrojů je průběh křivky frakční propustnosti resp. frakční odlučivosti obou odběrových stupňů. Tyto křivky mají co nejdokonaleji vystihovat průběh odlučování prachových částic při jejich vdechování do lidského organismu. Existují mezinárodně uznávané standardy předepisující průběh těchto křivek, zatím však není k dispozici detailně zpracovaná metodika pro jejich stanovení, použitelná v praxi. Navržení vhodné metodiky pro tento účel je předmětem následujících kapitol.

## 2. TEORETICKÁ ČÁST

Při dvoustupňovém odběru prachu se po prosátí objemu  $V$  [ $m^3$ ] kontaminovaného vzduchu zachytí na prvním stupni (elutriátoru, předodlučovači, který je zpravidla realizován miniaturizovaným cyklónovým odlučovačem)  $G_1$  [mg] prachu, na druhém stupni (zpravidla filtru)  $G_2$  [mg] prachu. Lze vypočítat tři údaje o koncentraci prachu, a to

- celkovou koncentraci polétavého prachu  $k_c$  [mg ·  $m^{-3}$ ],
- koncentraci nerespirabilní frakce  $k_n$  [mg ·  $m^{-3}$ ],
- koncentraci respirabilní frakce  $k_r$  [mg ·  $m^{-3}$ ], kde

$$k_c = (G_1 + G_2)/V, \quad (1)$$

$$k_n = G_1/V, \quad (2)$$

$$k_r = G_2/V, \quad (3)$$

*Celková odlučivost* prvního a druhého stupně odlučovače  $O_1 [\%]$ ,  $O_2 [\%]$  se určí dle vztahů

$$O_1 = 100 \cdot G_1/(G_1 + G_2) = 100 \cdot k_n/k_c, \quad (4)$$

$$O_2 = 100 \cdot G_2/(G_1 + G_2) = 100 \cdot k_r/k_c. \quad (5)$$

*Celková propustnost* prvního a druhého stupně odlučovače  $P_1 [\%]$ ,  $P_2 [\%]$  je vždy doplňkem příslušné celkové odlučivosti do 100 %, tj.

$$P_1 = 100 - O_1, \quad (6)$$

$$P_2 = 100 - O_2. \quad (7)$$

Dále platí

$$P_1 + P_2 = 100, \quad (8)$$

$$O_1 + O_2 = 100, \quad (9)$$

vzhledem k tomu, že se nebene zřetel na nejjemnější frakci prachu, která při odběru projde oběma stupni odlučovače.

Vztahy (4) až (9) platí pro polétavý prach jako celek, tj. pro všechny jeho velikostní frakce, zachycené na obou stupních. Vyšetřujeme-li jednotlivé užší velikostní frakce prachu zvláště, dospějeme k pojmu frakční propustnost ( $p_1$ ,  $p_2$ ) a frakční odlučivost ( $o_1$ ,  $o_2$ ) prvního a druhého stupně odlučovače. U nerespirabilní i respirabilní frakce prachu lze granulometrickou analýzou zjistit hmotnostní zastoupení  $g_1$  resp.  $g_2$  jednotlivých užších velikostních frakcí prachu. Je-li celkový počet těchto frakcí  $I$ , lze označit hmotnostní podíly

u nerespirabilní frakce  $g_{1,1} \dots g_{1,i} \dots g_{1,I}$ ,

u respirabilní frakce obdobně  $g_{2,1} \dots g_{2,i} \dots g_{2,I}$ ,

při čemž

$$\sum g_{1,i} = 1,0, \quad (10)$$

$$\sum g_{2,i} = 1,0, \quad (11)$$

(obě naznačené sumace platí pro  $i = 1$  až  $I$ ).

*Frakční odlučivost* prvního a druhého stupně odlučovače pro  $i$ -tou velikostní frakci částic  $o_{1,i} [\%]$ ,  $o_{2,i} [\%]$  je definována vztahy

$$o_{1,i} = \frac{100 \cdot G_1 \cdot g_{1,i}}{G_1 \cdot g_{1,i} + G_2 \cdot g_{2,i}}, \quad (12)$$

$$o_{2,i} = \frac{100 \cdot G_2 \cdot g_{2,i}}{G_1 \cdot g_{1,i} + G_2 \cdot g_{2,i}}. \quad (13)$$

Obdobně jako u (6) až (9) platí vztahy

$$p_{1,i} = 100 - o_{1,i}, \quad (14)$$

$$p_{2,i} = 100 - o_{2,i}, \quad (15)$$

$$p_{1,i} + p_{2,i} = 100, \quad (16)$$

$$o_{1,i} + o_{2,i} = 100, \quad (17)$$

Určíme-li dostatečný počet hodnot  $p_{1,i}$  resp.  $p_{2,i}$ , lze sestrojit křivku frakční propustnosti elutriátoru resp. filtru jako závislost těchto veličin na střední velikosti prachových částic  $d_i$  ( $\mu\text{m}$ ) v jednotlivých velikostních frakcích.

### 3. STANOVENÍ A HODNOCENÍ KŘIVKY FRAKČNÍ PROPUSTNOSTI ELUTRIÁTORU

Metoda pro stanovení křivky frakční propustnosti je popsána v kap. 3.1. Stanovení je poměrně pracné a proveditelné pouze na pracovištích, kde lze s potřebnou přesností uskutečnit granulometrickou analýzu prachu. Z těchto důvodů se předpokládá využití zmíněné metody pouze občasně, např. při typové zkoušce nového druhu přístroje apod.

V kap. 3.2 je navržena jednodušší metoda pro testování shodnosti křivky frakční propustnosti elutriátoru u zkoušeného přístroje a standardního přístroje. Tato metoda předpokládá pouze vážení vzorků prachu a může tedy být používána i u výrobců a uživatelů přístrojů, kteří jsou vybaveni pro gravimetrické měření prašnosti.

Návrh obou metod vychází z několikaletých zkušeností, získaných v této oblasti ve VVUÚ Ostrava.

#### 3.1. Stanovení průběhu křivky frakční propustnosti elutriátoru

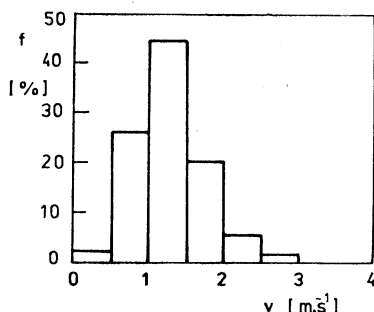
Průběh křivky frakční propustnosti elutriátoru se zjistí stanovením několika (zpravidla 10 až 15) hodnot  $p_{1,i}$  (15), (20). Všechny hodnoty potřebné k výpočtu se stanoví experimentálně. Hodnoty  $G_1$ ,  $G_2$  se zjistí vážením prachu zachyceného na obou stupních zkoušeného odběrového zařízení, hodnoty  $g_{1,i}$  a  $g_{2,i}$  pro  $i = 1$  až  $I$  se určí granulometricky. Z dosavadních zkušeností vyplývají některé požadavky na podmínky stanovení uvedených veličin, jejichž splnění je nutné k dosažení správných a dostatečně reprodukovatelných výsledků.

##### 3.1.1. Stanovení $G_1$ a $G_2$

Optimálním způsobem *odběru vzorku prachu* je odběr z ustáleného a homogenního proudu kontaminovaného vzduchu, realizovaného ve vhodné *zkušební komoře* s použitím zkušebního prachu definovaných vlastností. Odběr se provede v podmínkách, blížících se co nejvíce podmínkám na pracovištích, kde má být zkoušený přístroj používán. S ohledem na podmínky v uhelných dolech lze např. doporučit rychlosť proudění vzduchu při odběru  $1,5 \text{ m} \cdot \text{s}^{-1}$ , která se podle *obr. 1* nejčastěji vyskytuje na důlních pracovištích v OKD Ostrava. Použije se metodiky odběru, předepsané výrobcem zkoušeného zařízení nebo příslušným hygienickým předpisem (např. [1]).

*Prach pro zaprašování zkušební komory* se připraví zpravidla mletím a oséváním kusového materiálu (např. hornin), k jehož rozmělňování dochází na pracovištích, kde má být používán zkoušený přístroj. Převažující podíl prachových částic musí mít velikost od  $0,5$  do  $20 \mu\text{m}$ . Částice mají být pokud možno izometrické (tj. přibližně kulové). Není přípustné používat prach s částicemi výrazně anizometrickými.

Použitý prach musí být pokud možno jednosložkový, rozhodně nesmí obsahovat částice se značně odlišnými mechanickými a morfologickými vlastnostmi. Tyto vlastnosti totiž ovlivňují spolu s velikostí častic průběh a výsledek odlučování. Dvě částice stejné velikosti avšak s různou hmotností mají odlišnou setrvačnost, u dvou častic stejné velikosti lišících se morfologicky se při jejich pohybu uplatní v odlišné



Obr. 1. Histogram četnosti  $f$  [%] výskytu rychlosti proudění ovzduší  $v$  [ $m \cdot s^{-1}$ ] na důlních pracovištích v OKD Ostrava.

míře odpor plynného prostředí. Definujeme-li křivku frakční propustnosti jako závislost hodnot  $p_{1,i}, p_{2,i}$  pouze na  $d_i$ , mohou uvedené další vlastnosti častic (zejména jejich hustota, tvar), pokud nejsou u hodnoceného souboru alespoň přibližně konstantní, výrazně deformovat průběh nalezených křivek.

Vyskytuje-li se tedy na pracovištích, kde má být zkoušené zařízení používáno, vícесložkový prach, je vhodné použít k přípravě zkušebního prachu pouze jedné jeho složky, a to bud složky nejvíce zastoupené anebo lépe složky s největším fibrogenním účinkem. U značného počtu důlních i průmyslových pracovišť je rozhodující složkou směsných prachů s fibrogenním účinkem krémenný prach, je tedy možno navrhnut krémenný prach jako témař univerzální zkušební prach pro daný účel, použitelný všude tam, kde jiné řešení je nevyhovující.

Naproti tomu není pro uvedený účel vhodný uhelný prach, který je vždy směsí řady různorodých složek (uhelné hořlaviny o hustotě asi  $1,1 \text{ g} \cdot \text{cm}^{-3}$ , anorganického podílu o hustotě  $2,6 \text{ g} \cdot \text{cm}^{-3}$  i více). Křivky frakční propustnosti stanovené s použitím uhelného prachu mají z tohoto důvodu často méně pravidelný průběh než křivky určené obdobně za použití krémenného prachu.

Koncentrace prachu v komoře se volí tak, aby byla stejná nebo vyšší než na pracovištích. Bylo ověřeno, že frakční propustnosti se prakticky nemění ani při řádových změnách koncentrace prachu, je tedy možno zkracovat dobu odběru prachu podstatným zvýšením koncentrace bez nebezpečí negativního dopadu na výsledky měření. To ovšem neplatí pro lepivé a snadno aglomerující prachy.

Není-li k dispozici komora, lze provést odběr prachu na prašném pracovišti. Pro volbu podmínek odběru platí obdobné zásady jako při práci s komorou. Je nutno volit pracoviště

- s pravidelným technologickým režimem,
- s ustáleným rovnoměrným pohybem vzdušin,
- s pokud možno pravidelným vývinem prachu, jehož vlastnosti se v postačující míře přibližují požadavkům na zkušební prach pro komoru.

Důležitým předpokladem úspěšného měření frakční propustnosti v provozních podmírkách je nepřítomnost vodních a olejových kapek resp. vodní mlhy v nasávaném aerosolu. Jejich přítomnost způsobuje zvýšení lepivosti prachu. Dochází ke vzrůstu aglomerace částic, ke vzniku souvislých vrstev ulpělých částic na stěnách odběrového zařízení a ke vzniku pastovité vrstvy na filtru, která snižuje jeho průchodusnost a může ovlivnit parametry průtoku vzduchu při odběru. Všechny tyto jevy znehodnocují měření frakční propustnosti. Je proto nutno vyloučit z blízkosti odběrového zařízení zdroje vodních a olejových kapek resp. mlhy (vodní postříky, Diesellovy motory), popřípadě zajistit umístění odběrového zařízení v proudu vzdušin před uvedenými zdroji, aby byla vyloučena kontaminace kapkami při jejich únosu. Není rovněž vhodné provádět odběry prachu v místech, kde relativní vlhkost dosahuje 100 %, popřípadě je vyšší než 95 %.

*Doba odběru prachu* ve zkušební komoře i v provozních podmírkách se určí podle těchto zásad:

— Zachycené množství prachu  $G_1$  i  $G_2$  musí postačovat k provedení granulometrické analýzy.

— Chyba vážení při stanovení  $G_1$  i  $G_2$  musí být menší než 1 %. Při práci s analytickými vahami je zaručena přesnost na 0,2 mg, je tedy nutno, aby hmotnost  $G_1$  i  $G_2$  přesahovala 20 mg.

— Zachycené množství  $G_1$ ,  $G_2$  nesmí být větší než povolená kapacita zkoušeného přístroje, aby nedošlo k ztrátám zachyceného prachu při transportu a manipulacích. Vážení zachyceného prachu může být diferenční i přímé, pokud je zajištěna požadovaná přesnost.

### 3.1.2. Stanovení hodnot $g_{1,i}$ , $g_{2,i}$

K stanovení hodnot  $g_{1,i}$ ,  $g_{2,i}$  je možno v zásadě použít kterékoliv spolehlivé metody granulometrické analýzy prachu. Ve VVUÚ Ostrava byly použity tyto metody:

— optická mikroskopie,

— vodivostní metoda (přístroj Coulter Counter typ A, resp. typ TA II, výrobce Coulter Electronics, Ltd., Dunstable, Velká Británie),

— sedimentační metoda s fotometrickým principem vyhodnocování průběhu sedimentace částic (přístroj Sedigraph L, výrobce Micromeritics, Norcross, USA).

Málo vhodná je pro dány účel elektronová mikroskopie, kde interval hodnotitelných velikostí částic se pohybuje nejčastěji od 0,01 do 5  $\mu\text{m}$ . Hodnocení částic do 0,5  $\mu\text{m}$  není totiž nutné, horní mez 5  $\mu\text{m}$  je naopak nepostačující. U gravimetrických sedimentačních metod (Andreasenova pipetovací metoda, sedimentační váhy) je nevhodná značná potřeba vzorku k analýze (0,5 g i více), a to zejména při hodnocení osobních odběrových přístrojů s nízkým průtokem vzduchu. Vhodnější je z tohoto hlediska přístroj Sedigraph L [6], kde spotřeba vzorku prachu je řádově pouze 10<sup>0</sup> až 10<sup>1</sup> mg podle stupně jeho disperzity.

U vodivostní metody [7] se mohou významnější uplatnit některé chyby stanovení. Nejméně vhodná je metoda mikroskopická [1]. V současné době je však nutno s ní počítat jako s jedinou dostupnou metodou na řadě pracovišť.

Důležitým parametrem, který může ovlivnit výsledky granulometrické analýzy, je počet hodnocených velikostních frakcí  $I$ . Volí se s ohledem na použitou metodu granulometrické analýzy a na celkový rozsah velikostí částic u daného vzorku prachu. Běžný rozsah velikostí částic je asi od 0,5  $\mu\text{m}$  do asi 20  $\mu\text{m}$ . Doporučuje se volit velikosti  $d_i$  tak, aby tvořily geometrickou řadu. Čím menší je kvocient této geometricko-

ké řady, tím větší je při daném celkovém rozsahu velikostí částic hodnota  $I$ , která současně udává i počet bodů k sestrojení křivky frakční propustnosti.

Hodnota  $I$  by tedy měla být co možno největší, nelze ji ovšem zvyšovat libovolně. U mikroskopického hodnocení jsou při nadmerné hodnotě  $I$  počty částic nalezené v jednotlivých velikostních třídách velmi nízké. V důsledku toho jsou pak vypočtené hodnoty  $g_{1,i}$ ,  $g_{2,i}$  málo přesné a málo reproducovatelné. Proto je nutno proměnit při zpracování každého vzorku minimálně 1 000 částic a použít hrubšího dělení na velikostní frakce. Lze doporučit kvocient  $\sqrt[3]{2}$  s odpovídající hodnotou  $I = 12$  pro rozsah 0,5 až 20  $\mu\text{m}$ .

Při použití vodivostní metody vzniká v tomto ohledu příznivější situace. Počet proměřených částic je obvykle  $10^4$  až  $10^5$ , což umožňuje podstatné zvýšení  $I$  ve srovnání s mikroskopickou metodou. Obvykle však postačí volit kvocient  $\sqrt[3]{2}$ , čemuž odpovídá při uvedeném celkovém rozsahu velikostí částic hodnota  $I = 17$ . Obdobná situace je při použití přístroje Sedigraph L, kde se získá spojitá distribuční křivka velikostí částic, umožňující odečet pro větší počet velikostních frakcí. Volí se kvocient  $10^{0,1}$ , přičemž  $I = 17$  pro uvedený rozsah velikostí, i když je možné použít i značně jemnějšího dělení frakcí.

### 3.1.3. Početní zpracování a interpretace výsledků

Všechny výpočty potřebné k stanovení frakční propustnosti provádí ve VVUÚ Ostrava samočinný počítač. Početní zpracování sestává z těchto fází:

- přepočet výsledků granulometrické analýzy na údaje o hmotnostním zastoupení jednotlivých velikostních frakcí částic (s předpokladem kulového tvaru částic),
- výpočet frakčních propustností  $p_{1,i}$ ,
- eventuální výpočet dalších údajů o disperzitě zkušebního prachu.

Při použití mikroskopické nebo vodivostní metody je k dispozici program IMIDN, při použití sedimentační metody program IFRSE. Oba programy jsou zpracovány v programovacím jazyku Fortran.

Vypočtené hodnoty  $p_{1,i}$  se porovnávají s předepsanými standardy. Mezinárodně je uznávána tzv. Johannesburgská konvence a konvence Los Alamos (obr. 2) [8]. Oba tyto standardy jsou platné pro prach s hustotou  $h = 1,0 \text{ g} \cdot \text{cm}^{-3}$ , pro jiné hodnoty  $h$  je nutno provést přepočet. Hustota zkušebního prachu se stanoví pyknometricky.

Při přepočtech se vychází z předpokladu, že u elutriátorů typu sedimentační komory je usazovací rychlosť částic  $u_1 [\text{m} \cdot \text{s}^{-1}]$  dána vztahem [9]

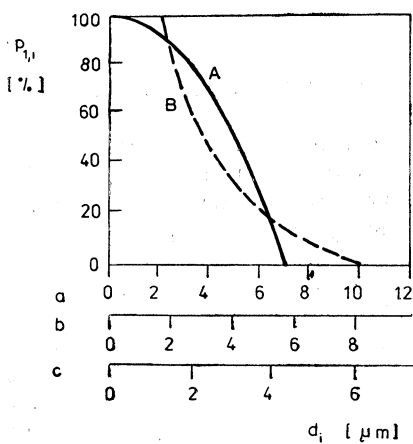
$$u_1 = k_1 \cdot g \cdot d^2 \cdot (h_p - h_v)/\eta, \quad (18)$$

a u elutriátoru typu cyklónu rychlosť pohybu částic ve směru k jeho stěně  $u_2 [\text{m} \cdot \text{s}^{-1}]$  přibližným vztahem [9]

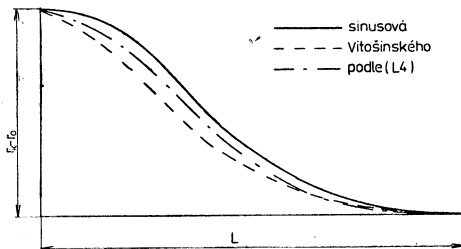
$$u_2 = k_2 \cdot d^2 \cdot w^2 \cdot (h_p - h_v)/(q \cdot \eta), \quad (19)$$

kde  $k_1$ ,  $k_2$  jsou konstanty,

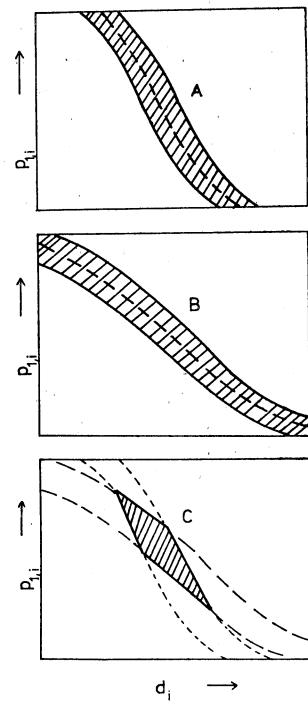
$g$	gravitační zrychlení [ $\text{m} \cdot \text{s}^{-2}$ ],
$d$	průměr prachové částice [ $\text{m}$ ],
$h_p$ , $h_v$	hustota prachu a vzduchu [ $\text{kg} \cdot \text{m}^{-3}$ ],
$\eta$	dynamická viskozita vzduchu [ $\text{Pa} \cdot \text{s}$ ],
$w$	rychlosť proudění vzduchu [ $\text{m} \cdot \text{s}^{-1}$ ],
$q$	poloměr zakřivení dráhy částic [ $\text{m}$ ].



Obr. 2. Mezinárodní standardy frakční propustnosti elutriátorů. A — Johannesburgská konvence, B — konvence Los Alamos. Stupeň hodnot  $d_i$  [ $\mu\text{m}$ ] platí pro hustotu částic  $1,0 \text{ g} \cdot \text{cm}^{-3}$  (a), pro uhelný prach s hustotou  $1,5 \text{ g} \cdot \text{cm}^{-3}$  (b) a pro křemenný prach s hustotou  $2,6 \text{ g} \cdot \text{cm}^{-3}$  (c).



Obr. 3. Střední hodnoty frakční propustnosti  $p_{1,i}$  [%] (A) a pásmo vymezené jejich standardními odchylkami (B) u přístroje ODPN při 10krát opakováném měření s použitím uhelného prachu.



Obr. 4. Schéma posouzení shodnosti dvou křivek frakční propustnosti A, B (viz text).

V konstantních podmínkách odlučování se vztahy (18), (19) zjednoduší na tvar

$$u_1 = k_3 \cdot d^2 \cdot h_p, \quad (20)$$

$$u_2 = k_4 \cdot d^2 \cdot h_p, \quad (21)$$

kde  $k_3, k_4$  jsou konstanty, a to za předpokladu, že  $h_p \gg h_v$  a tedy  $(h_p - h_v) \doteq h_p$ .

Mají-li mít dvě částice A, B s různými velikostmi  $d_A, d_B$  a hustotami  $h_A, h_B$  stejný průběh odlučování, musí platit podmínka  $u_{1,A} = u_{1,B}$  resp.  $u_{2,A} = u_{2,B}$ , tj. v obou případech

$$d_A^2 \cdot h_A = d_B^2 \cdot h_B. \quad (22)$$

Je-li  $h_A = 1,0$ , získáme vztah

$$d_B = d_A / \sqrt{h_B}, \quad (23)$$

který byl použit k přepočtu hodnot  $d_i$  pro hustoty  $h \neq 1,0$  na obr. 2. Vztah (22) je použitelný při  $h_A \neq 1,0$ ,  $h_B \neq 1,0$ .

Jak vyplývá z kap. 3.1.1, je uvedený přepočet použitelný pouze pro vzorky prachu s konstantní hodnotou  $h$  u všech částic, nikoliv v případech, kdy prach obsahuje částice s různými hodnotami  $h$ . Při hodnocení směsných prachů je nutno používat střední hodnoty  $h$  (např.  $h = 1,5 \text{ g} \cdot \text{cm}^{-3}$  pro uhelný prach), což pochopitelně snižuje spolehlivost přepočtu.

Hodnoty  $p_{1,i}$  jsou zatíženy chybami, vyplývajícími z povahy jejich experimentálního stanovení. Je proto vhodné měření několikrát opakovat (podle možnosti alespoň 5krát) a stanovit aritmetické průměry zjištěných hodnot  $p_{1,i}$  a příslušné standardní odchylky. Při vynesení do grafu (obr. 3) je frakční propustnost charakterizována jednak křívkou, sestrojenou z průměrných hodnot, jednak pruhem určité šířky. Na obr. 4 je znázorněna jednoduchá možnost, jak testovat shodnost dvou různých křivek, resp. dvou různých pruhů. Dva různé pruhy s různými plošnými obsahy  $A$ ,  $B$  vytvoří průnik o plošném obsahu  $C$ . Plošné obsahy  $A$ ,  $B$ ,  $C$  [ $\text{cm}^2$ ] se zjistí planimetrováním. Míru shodnosti křivek  $A$ ,  $B$  lze vyjádřit poměrem  $C/A$  (platí-li  $A < B$ ) nebo  $C/B$  (platí-li  $B < A$ ). Čím více se tento poměr blíží hodnotě 1,0, tím dokonalejší je shoda obou křivek.

Pro porovnání průběhu dvou křivek frakční odlučivosti lze samozřejmě využít celé řady statistických testů (významnost odchylek korespondujících dvojic  $p_{1,i}$  atd.), popřípadě metod matematického modelování [10], [11].

Shodnost experimentálně určené křivky frakční propustnosti s předepsanou standardní křivkou je základním ukazatelem správné funkce dvoustupňového prachoměru. Není-li dosaženo vyhovující shody, získají se nesprávné údaje o koncentraci respirabilní a nerespirabilní frakce prachu, i když naměřená celková koncentrace prachu (tj. součet obou frakčních koncentrací) je správná.

### 3.1.4. Možnosti standardizace metody

V předchozích kapitolách jsou vymezeny možnosti měření frakční propustnosti pro různé účely a s různou laboratorní vybaveností. Při eventuálním zpracování standardní metodiky, zajišťující maximální spolehlivost výsledků, by se mělo dle dosavadních zkušeností vycházet z následujících zásad:

— K odběru prachu je nutno používat zkušební komoru s ustáleným průtokem homogenního prašného aerosolu s rychlosí  $1,5 \text{ m} \cdot \text{s}^{-1}$ .

— Jako zkušební prach se použije frakce křemenného prachu s velikostí částic převážně v rozmezí 0,5 až  $20 \mu\text{m}$ . Koncentrace prachu v prostoru komory se udržuje na konstantní výši, zvolené v rozmezí od  $100 \text{ mg} \cdot \text{m}^{-3}$  do  $1\,000 \text{ mg} \cdot \text{m}^{-3}$  podle typu zkoušeného přístroje.

— Minimálně je nutno odebrat 20 mg prachu u každé frakce.

— Granulometrické složení prachu se stanoví sedimentační metodou s optickým nebo gravimetrickým hodnocením průběhu sedimentačního procesu.

— Měření se opakuje minimálně 5krát a vyhodnocují se aritmetické průměry frakčních propustností.

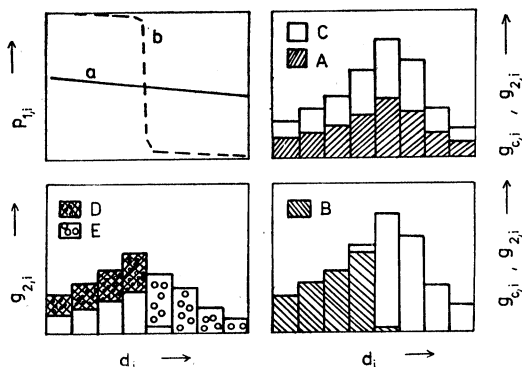
### 3.2. Test shodnosti křivek frakční propustnosti u dvou přístrojů

Celkovou odlučivost resp. propustnost  $O_1, O_2, P_1, P_2$  lze vyjádřit pomocí frakčních odlučivostí resp. propustností  $o_{1,i}, o_{2,i}, p_{1,i}, p_{2,i}$ . Platí např. vztah

$$O_2 = \frac{\sum g_{c,i} \cdot o_{2,i}}{\sum g_{c,i}}, \quad (34)$$

kde obě sumace platí pro  $i = 1$  až  $I$  a kde  $g_{c,i}$  jsou hmotnostní podíly jednotlivých velikostních frakcí v celkovém vzorku polétavého prachu ( $G_1 + G_2$ ).

Mají-li dva přístroje stejnou křivku frakční odlučivosti a odebíráme-li jimi prach stejného původu a granulometrického složení, musí být v obou případech nalezeny shodné hodnoty  $O_2$  vzhledem k shodnosti všech hodnot, uváděných na pravé straně rovnice (34). Opačné tvrzení není ovšem vždy pravdivé, tj. dva přístroje u nichž byly za použití téhož prachu nalezeny stejné hodnoty  $O_2$ , nemusejí mít stejný průběh křivky frakční odlučivosti. Tento případ může nastat, jestliže se obě porovnávané křivky  $A, B$  navzájem protínají (obr. 5). Pak jsou jednotlivé sumační položky



Obr. 5. Schéma ke kapitole 3.2 (viz text). Pro dvě různé křivky frakční propustnosti  $a, b$  lze při daném velikostním složení celkového vzorku prachu ( $C$ ) dosáhnout stejné celkové propustnosti elutriátoru odpovídající plochám  $A, B$  (tj.  $A = B$ ) v případě, kdy diference odpovídající plochám  $D, E$  se navzájem rovnají, tj.  $D = E$ .

v rovnici (34) u jemnějších frakcí prachu u křivky  $A$  nižší než u křivky  $B$ , u hrubších frakcí je tomu naopak (při  $d_1 < d_k$  platí vztah  $(g_{c,i} \cdot o_{2,i,A}) < (g_{c,i} \cdot o_{2,i,B})$  při  $d_1 > d_k$  platí vztah opačný). Diference vyplývající z uvedených nerovností se mohou za vhodné konstelace veličin vzájemně eliminovat, takže výsledek sumace (34) je shodný i při různých hodnotách  $o_{2,i}$ .

Uvedených skutečností lze využít k testování shodnosti křivky frakční propustnosti resp. odlučivosti u dvou různých přístrojů, testovaného  $T$  a standardního  $S$ , u kterého se křivka frakční odlučivosti stanoví podle kap. 3.1. Při tomto testu se stanoví u obou přístrojů celková odlučivost  $O_2$ . Souběžné stanovení  $O_2$  se provede u obou přístrojů minimálně se dvěma druhy prachu, které se navzájem značně odlišují stupněm disperzity. Shodnost průběhu křivek frakční odlučivosti je prokázána, jestliže nalezené hodnoty  $O_{2,T}, O_{2,S}$  jsou si u obou druhů prachu rovny. Náhodná rovnost hodnot  $O_{2,T}, O_{2,S}$  při různém průběhu křivek frakční odlučivosti podle obr. 5

je možná jen u jediného případu distribuce velikostí prachových částic a u jiné distribuce je již vyloučena.

*Praktické provedení testu* spočívá v provedení současného a soumístného odběru vzorku prachu pomocí testovaného a standardního přístroje. Podmínky odběru jsou obdobné jako v kap. 3.1. Obě aparatury se umístí ve stejné výši ve vzájemné vzdálenosti 20 cm tak, aby spojnice vstupních otvorů obou přístrojů byla kolmá na směr proudění vzdušin v daném místě. Dva různé druhy prachu, potřebné k provedení dvojice srovnávacích měření, mohou být téhož původu. Jemnější zkušební prach by měl mít převážný podíl částic o velikostech do 5  $\mu\text{m}$ , hrubší prach o velikostech kolem 10  $\mu\text{m}$ .

*Shodnost výsledků* se posuzuje podle差ence  $D = |O_{2,T} - O_{2,S}|$ , která nesmí přesáhnout určitou mez. Tuto mez nelze pochopitelně předepsat univerzálně. Je nutno ji volit pro dané zkušební podmínky individuálně. Vychází se při tom z údajů o dosažitelné reprodukovatelnosti stanovení  $k_c$ ,  $k_r$  na daném odběrovém místě. Mezní hodnotu  $D$  je nutno stanovit i s přihlédnutím k tomu, na jaké hladině statistické významnosti má být potvrzena shodnost křivky frakční propustnosti u testovaného a standardního přístroje.

Popsané testování je vhodné několikrát opakovat a ke konečnému hodnocení použít aritmetické průměry nalezených hodnot. Metodika je použitelná pouze u elutriátorů, jejichž křivky frakční propustnosti mají průběh zásadně shodný se standardními křivkami, uvedenými na obr. 2, tj. musí se jednat o křivky v celém rozsahu monotónně klesající nebo alespoň nestoupající. Všechny elutriátory současných čs. přístrojů tomuto požadavku odpovídají.

#### 4. ZÁVĚR

Jsou popsány dvě metody pro hodnocení frakční propustnosti elutriátorů dvoustupňových odběrových zařízení k měření prašnosti. Stanovení průběhu křivky frakční propustnosti vychází z údajů o granulometrickém složení respirabilní a neprespirabilní frakce prachu a o hmotnosti obou těchto frakcí. Stanovení celkové odlučivosti u testovaného a standardního přístroje pro dva druhy prachu s různým stupněm disperzity umožňuje zjistit, zda oba porovnávané přístroje mají shodnou křivku frakční propustnosti elutriátoru.

#### LITERATURA

- [1] Standardní metody měření prašnosti v pracovním ovzduší. Příloha č. 8 k Acta hygienica, epidemiologica et microbiologica. IHE Praha (1976).
- [2] Kubálek, J., Šimeček, J.: Dvoustupňový prachoměr. Prac. lékařství, 20, 8 (1968), str. 349—355.
- [3] Vítek, J., Říháková, E., Škoda, V.: Vývoj dvoustupňového prachoměru DP 50 pro měření prašnosti na důlních pracovištích. Edice Zprávy VVVÚ Ostrava, Zpráva č. 88 (1971).
- [4] Vítek, J., Kuchta, Z., Kozubek, P.: Osobní dvoustupňový prachoměr OD PN pro dlouhodobé odběry prachu. Zdrav. technika a vzduchotechnika, 21, 5 (1978), str. 269—280.
- [5] Vítek, J.: Hodnocení individuální prašné zátěže horníků pomocí čs. osobního dvoustupňového prachoměru OD PN. Uhlí, 26, 9 (1978), str. 378—384.
- [6] Instruction Manual. Sedigraph-L Particle Size Analyzer. Micromeritics, Norcross, USA.
- [7] Allen, T.: Critical Evaluation of the Coulter Coulter Particle Size Analysis. Conf. of the Soc. for Anal. Chem., Loughborough University of Technology, London (1966).
- [8] Dlouhý, J., Vítek, J., Burý, J.: Standardizace přístrojové techniky a metodik měření pro

- hodnocení prašnosti důlních pracovišť uhlíkých dolů v zemích RVHP. Edice Vyřešené úkoly RVHP, VVUÚ Ostrava (1979).
- [9] Vítěk, J.: Dvoustupňové odběry prachu prachoměrem DP 50. VVUÚ Ostrava (1973).
- [10] Moss, O. R., Ettinger, H. J.: Respirable Dust Characteristics of Polydisperse Aerosols. Amer. Ind. Hyg. Assoc. J., 31, 5 (1970), str. 546.
- [11] Vítěk, J.: Porovnání různých systémů dvoustupňového odběru vzorků prachu s využitím samočinného počítáče. Zdrav. technika a vzduchotechnika, 17, 1 (1974), str. 9—20.

*K vzniku této práce přispěli cennými připomínkami a podněty Ing. Alois Anděl, CSc. a RNDr. Ing. Václav Škoda, CSc., z KHS Ostrava a Ing. Jaroslav Šimeček, CSc., z IHE Praha. Při vytváření programů pro samočinný počítac přispěl svými radami Jan Krajíček, prom. fyz., z VVUÚ Ostrava. Za technickou spolupráci děkuje autor Heleně Pardubické, Naděždě Kadlčíkové a Jarmile Juřenové z VVUÚ Ostrava.*

## ОЦЕНКА ФРАКЦИОННОЙ ПРОНИЦАЕМОСТИ ЭЛЮТРИАТОРОВ ПРИ ДВУХСТУПЕНЧАТОМ ИЗМЕРЕНИИ ПЫЛЬНОСТИ

Инж. Ян Витек, к. т. н.

С развитием методов двухступенчатого измерения концентрации фиброгенных пылей в рабочей атмосфере и с существенным расширением этого способа оценки риска зараженных рабочих мест на практике является более актуальным вопросом метрологии применяемых приборов. Одной из самых важных характеристик двухступенчатых пробоотборников пыли из атмосферы является кривая фракционной сепарации элютиатора. В статье уделяется внимание проблематике определения этой кривой.

## EVALUATION OF THE FRACTIONAL PENETRATION OF ELUTRIATORS DURING THE TWO-STAGE MEASURING OF DUSTINESS

Ing. J. Vítěk, CSc.

In connection with the stage of development of methods of two-stage fitrogenic dust measurement in a working atmosphere and with the essential propagation of this method for evaluation of risky working places in the practice the problem of metrology of used measuring devices becomes more and more topical. The fractional separation curve of the elutriator is one of the most important characteristics of two-stage dustmeters. This paper concerns the problem of determination of the curve.

## BEWERTUNG DER FRAKTIONSDURCHLASSFÄHIGKEIT DER ELUTRIATIONSEINRICHTUNGEN BEI DER ZWEISTUFENMESSUNG DER STAUBKONZENTRATION

Ing. J. Vítěk, CSc.

Mit der Entwicklung der Zweistufenmessmethoden der Konzentration von Fiberstäuben in der Arbeitsatmosphäre und mit der wesentlichen Verbreitung dieses Bewertungsverfahrens einer Gefährlichkeit der Staubarbeitsplätze in der Praxis wird die Frage der Metrologie von den angewandten Geräten immer mehr aktuell. Eine von den wichtigsten Charakteristiken der Zweistufenstaubnahmegeräte aus der Atmosphäre ist die Kurve des Fraktionsentstaubungsgrades einer Elutriationseinrichtung. Dieser Artikel behandelt die Problematik ihrer Bestimmung.

## APPRECIATION DE LA PÉNÉTRATION FRACTIONNÉE DES ÉLUTRIATEURS AU MESURAGE A DEUX ÉTAGES DE LA CONCENTRATION EN POUSSIÈRE

Ing. J. Vítěk, CSc.

Toujours, la question de la métrologie des appareils utilisés devient plus actuelle avec le développement des méthodes de mesurage à deux étages de la concentration en poussières de fibre dans

l'atmosphère de travail et avec l'élargissement essentiel de ce mode d'appréciation d'un risque des lieux de travail poussiéreux dans la pratique. Une des caractéristiques les plus importantes des appareils de prise d'échantillon à deux étages de l'atmosphère est la courbe d'efficience dépolluage fractionnée d'un élutriateur. L'article présenté est consacré à la problématique de sa détermination.

---

65?



**ŽIVOTNÍ JUBILEUM  
DOCENTA LADISLAVA OPPLA**

*V plné pracovní aktivity se 6. července 1987 dožívá šedesáti pěti let vedoucí redakte našeho časopisu a předseda českého výboru komitétu pro životní prostředí ČSVTS doc. Ing. Dr. Ladislav Oppl, CSc.*

*Je hodno obdivu, že veškerou činnost, kterou jsme připomněli před pěti roky při jeho šedesátinách, jubilant vykonává i naddle a jeho aktivity neutuchá. Kromě rozsáhlé činnosti v ČSVTS pracuje jako vedoucí vědecký pracovník v Institutu hygieny a epidemiologie, je poslancem národního výboru v Radotíně, externím učitelem na strojní fakultě ČVUT, členem četných komisí a stále vyhledávaným expertem pro všechny oblasti techniky životního prostředí.*

*Docent Oppl obsáhl jako první u nás všechny disciplíny techniky životního prostředí a zasloužil se o konstituování tohoto vědního oboru v našich podmírkách. Je předním představitelem svého oboru a uznávanou autoritou u nás i v zahraničí.*

*Do další činnosti přejeme jubilantovi pevné zdraví, životní pohodu a neslábnoucí pracovní elán.*

**Redakční rada ZTV  
ČV KŽP ČSVTS**

# **NALÝZA TEPLITNÝCH PARAMETROV INTERIÉRU OBYTNEJ BUDOVY VO VZŤAHU K TEPELNÉJ POHODE**

**ING. L. PIRŠEL, ING. D. PETRÁŠ, CSc.**

*Stavebná fakulta SVŠT, Bratislava*

V článku sa analyzujú zpôsoby hodnocení stupňa tepelné pohody vytápaného interiéru obytné budovy. Experimentálne byla v závrate topného obdobia statisticky zpracovávaná závislosť teploty vnitřního vzduchu ( $t_1$ ), výsledné teploty ( $t_g$ ) a operatívnej teploty ( $t_o$ ) v nestacionárnom průběhu a jejich horizontálnym a vertikálnym rozložením v miestnosti pri konvektívnom vytápení.

*Recenzoval: Doc. Ing. Dr. Jaromír Cihelka*

## **ÚVOD**

Pri návrhu a hodnotení obytných budov ako celku musíme uvažovať s nadradenými celospoločenskými hľadiskami. Tie sú určované pre konkrétné časové obdobie celoštátnymi smernicami zakotvenými v plánoch hospodárskeho a sociálneho rozvoja ČSSR a určujú vývoj do ďalšej budúcnosti.

V súčasnosti pri ich špecifikácii má nezastupiteľné miesto ochrana a tvorba životného prostredia. Tá v našom prípade predstavuje zámernú a cieľavedomú činnosť pri vytváraní umelého, stavebne vytvoreného, vnútorného životného prostredia, slúžiaceho ľuďom pri uspokojovaní ich potrieb a zabezpečení pohody v interiéri obytnej budovy.

## **1. TEPELNO-VLHKOSTNÁ MIKROKLÍMA V INTERIÉRI OBYTNEJ BUDOVY**

Úlohou architektúry a stavebníctva je vytvárať umelé životné prostredie, ktorého vnútorná klíma (mikroklíma) bude čo najviac vyhovovať ľudskému organizmu [6], nakoľko v ňom strávi prevažnú časť života (často až 90 %), a to najmä v prostredí obytnom.

Mikroklíma takéhoto obytného prostredia, t.j. interiéru obytnej budovy ako celku, a každej jej jednotlivej miestnosti súčasne, je tvorená agensami, na ktorých prenose sa podieľa vzduch. Najčastejšie sa vyskytujúce agensy, resp. zložky mikroklímy sú: tepelno-vlhkostná, toxická, odérová, aerosolová, mikrobiálna, elektroiontová, elektrostatická, psychická a zvuková. Za najväčnejší interiérový stav obytného prostredia považujeme tepelno-vlhkostný, pretože ak nie je zaistený, je ohrozená základná podmienka ľudskej existencie „homoiotermia ľudského organizmu so všetkými jej negatívnymi dôsledkami“ [9].

Tepelno-vlhkostná mikroklíma je teda zložka prostredia vytváraná agensami tepelnými (teplo konvekčné, kondukčné, radiačné, evaporačné a respiračné) a vlhkostnými (vodná para). V spojení so subjektom prostredia (človekom) dochádza ku vzájomnej interakcii, k vytváraniu tepelno-vlhkostnej záťaže človeka, tzv. stresu, či už pozitívneho alebo negatívneho.

Napriek tomu, že človek sa môže prispôsobiť (adaptovať) na určitú mikroklimu, existuje určité rozmedzie (neutrálna zóna), v ktorom sa cíti najlepšie. Časťou neutrálnej zóny — optimálnej tepelno-vlhkostnej mikroklimy — je i zóna pohody, tzv. tepelná pohoda, naviac podmienená príjemnými subjektívnymi pocitmi pri objektívne rovnovážnej tepelnej bilancii človeka v prostredí.

## 2. TEPELNÁ PODA A JEJ FAKTORY

Tepelná pohoda je taký stav, pri ktorom človek nepociťuje ani chlad, ani nadmerné teplo [4]. Je definovaná ako pocit spokojnosti s tepelným stavom prostredia. Takýto stav sa môže dosiahnuť len vtedy, ak existuje tepelná rovnováha medzi teplom využívaným ľudským telom a jeho tepelnými stratami, t.j. aby osoba mohla sebou vyprodukované teplo vydávať do okolia bez fyzickej nepohody.

Na vytváraní stavu tepelnej pohody sa podielajú:

a) faktory prostredia:

- teplota vnútorného vzduchu ( $t_i$ ),
- tlak vodných párov ( $p_i$ ),
- rýchlosť prúdenia vzduchu ( $v_i$ ),
- účinná teplota okolitých plôch ( $t_u$ ),

b) faktory súvisiace s exponovaným subjektom — človekom, a to:

- činnosť človeka ( $q_m$ ),
- tepelno-izolačná schopnosť oblečenia ( $I_{cl}$ ).

Podrobnejším výskumom [4] bolo preukázané, že vplyvy ďalších faktorov súvisiacich s vekom, pohlavím, etnickými rozdielmi, ale aj s účinkami teplotných zmien v priebehu niekoľkých dní, zo dňa na deň, z noci na deň, počas dňa, z rána na večer, sú len moderačného charakteru. Preto ich v súčasnosti považujeme len za vedľajšie faktory podielajúce sa na vytváraní stavu tepelnej pohody.

Človek podstatne najrýchlejšie a najcitlivejšie reaguje na zmeny tepelného stavu charakterizované zmenami teplotných parametrov, a to jednak vnútorného vzduchu, ale aj interiéru ako celku. Z tohto dôvodu sú práve hodnoty týchto teplôt aj legislatívne zakotvené v rôznych normatívoch, či už tepelno-technických, kúrenárskych, klimatizérskych, ako aj v hygienických predpisoch. Na strane druhej sú však určité diferencie v tom, čo je nimi definované (teplota vnútorného vzduchu  $t_i$ , súčtová teplota miestnosti  $t_M$ , výsledná teplota  $t_g$ , operatívna teplota  $t_o \dots$ ) a do akej miery je nimi zohľadnený exponovaný subjekt. To je potrebné porovnať jednak z hľadiska času expozície (nestacionárnosť teplotného režimu), ale aj s uvážením priestorového rozloženia týchto teplôt (horizontálneho i vertikálneho) v charakteristických bodech interiéru obytnej budovy.

## 3. POŽIADAVKY NA HODNOTY TEPLITNÝCH PARAMETROV INTERIÉRU OBYTNÉJ BUDOVY

Ak vychádzame z definície tepelnej pohody ako nevyhnutnej podmienky pri navrhovaní interiéru obytnej budovy, je zrejmé, že teplotnými parametrami sú 2 faktory, a to:

- teplota vnútorného vzduchu  $t_i$  [ $^{\circ}\text{C}$ ],
- účinná teplota okolitých plôch  $t_u$  [ $^{\circ}\text{C}$ ].

Z hľadiska požiadaviek príslušných ČSN sa môžeme s nimi stretnúť v zásade len implicitne:

a) Teplota vnútorného vzduchu  $t_i = 20^\circ\text{C}$  je požadovaná ČSN 73 0540 pre všetky obytné interiéry ako východiskový parameter tepelnotechnického dimenzovania obalových konštrukcií, tým následne i okrajovej podmienky určenia hodnoty spotreby energie na vykurovanie.

b) Rovnako, ale nepriamo je teplota  $t_i$  udávaná v ČSN 73 0548 pri výpočte tepelnej záťaže klimatizovaných priestorov v závislosti na druhu miestnosti a činnosti človeka, čo je pre obytné budovy a ich interiéry takmer bezvýznamné.

c) Hodnota účinnej teploty okolitých plôch  $t_u$  sa priamo nepožaduje. Sú len exaktne stanovené požiadavky na hodnoty vnútorných povrchových teplôt  $t_{ip}$  ohraničujúcich konštrukcií (vonkajšie steny  $16,1^\circ\text{C}$ , strechy  $17,8^\circ\text{C}$ , podlahy  $17,0^\circ\text{C}$ , deliace konštrukcie  $16,0^\circ\text{C}$ ), ako výsledok normatívne požadovaných tepelných odporov stavebných konštrukcií podľa ČSN 73 0540.

Z uvedeného je zrejmé, že má zmysel analyzovať dôslednejšie tzv. fiktívne teploty interiéru, či už v podobe súčtové teploty, výslednej teploty guľového teplomera, alebo aj operatívnej teploty senzora komfortmetra. Matematické vyjadrenia týchto teplôt sú nasledovné:

a) *Súčtová teplota miestnosti  $t_M$*  v zmysle ČSN 73 0540 sa uvažuje ako

$$t_M = t_i + t_p \quad [\text{°C}], \quad (1)$$

kde  $t_i$  je teplota vnútorného vzduchu [°C].

$t_p$  priemerná teplota okolitých plôch [°C],

Priemerná teplota okolitých plôch v interiéroch menších rozmerov, napr. v obytnej budove, je približne totožná s účinnou teplotou okolitých plôch, teda  $t_p \approx t_u$ , a môžeme ju vypočítať zo vzťahu

$$t_p = \frac{\sum_{j=1}^n (t_{ip} \cdot S_j)}{\sum_{j=1}^n S_j} \quad [\text{°C}]. \quad (2)$$

b) *Výsledná teplota  $t_g$*  meraná guľovým teplomerom v zmysle ČSN 06 0210, resp. Záväzných opatrení MZV č. 7/1978 sa môže matematicky vyjadriť pri prakticky kľudnom vzduchu ( $v_i \leq 0,3 \text{ m} \cdot \text{s}^{-1}$ ) v zjednodušencm tvare, a to

$$t_g = 0,5 \cdot (t_i + t_u) \quad [\text{°C}], \quad (3)$$

c) *Operatívna teplota  $t_o$*  meraná senzorom komfortmetra v zmysle ASHRAE Standard 55-81, obdobne i podľa NKB 40-81, resp. ISO 77 30, sa dá matematicky zjednodušene, za predpokladu  $v_i \leq 0,2 \text{ m} \cdot \text{s}^{-1}$  a  $t_u \leq 50^\circ\text{C}$ , vyjadriť v tvare

$$t_o = 0,5 \cdot (t_i + t_u) \quad [\text{°C}]. \quad (4)$$

Z uvedených rovníc je zrejmé, že tzv. fiktívne teploty interiéru ( $t_M$ ,  $t_g$ ,  $t_o$ ) sú funkciemi teploty vnútorného vzduchu ako aj tepelného účinku ohraničujúcich stavebných konštrukcií. Matematické výrazy sú natolko analgické, že stojí za závěreň, že pre viest experimentálne meranie presnosti ich vyjadrenia skutočného tepelného stavu interiéru obytnej budovy v závislosti na čase expozície ako i na ich priestorovom rozložení.

## **4. EXPERIMENTÁLNE TEPELNO-POHODOVÉ MERANIE**

Ako už bolo povedané, v ČSSR platné normatívy a predpisy vyjadrujú tepelný stav interiéru na základe jedného hlavného parametra. Predpokladá sa pritom relatívne uniformné prostredie a neuvažuje sa s možnosťou podstatných rozdielov v závislosti od stanoviska subjektu v hodnotenom interiéri. Ak uvedené normatívy vôbec uvažujú o mieste vyšetrovania tepelného stavu prostredia, predpokladajú za reprezentatívne hodnoty zistené v strede uvažovaného interiéru.

### **4.1 Ciel merania**

Na základe hodnotenia tepelného stavu interiéru v jeho charakteristických bodoch overiť platnosť predpokladu relatívnej uniformnosti prostredia. Porovnať hodnotenie tepelného stavu interiéru podľa platných ČSN a podľa metódiky ASHRAE Standard 55-81, ktorá hodnotí tepelný stav interiéru vo viacerých výškových úrovniach (0,1; 0,6; 1,1; 1,7 m) v strede miestnosti a v strede každej strany pôdorysu vo vzdialosti 0,6 m od steny vystavenej tepelným účinkom.

### **4.2 Metodika merania**

Vlastné experimentálne meranie sa uskutočnilo na konci vykurovacieho obdobia po dobu 18 dní v objekte tradičnej tehlovej konštrukčnej sústavy v Bratislave-Krasňanoch. Miestnosť bola situovaná v rohu dispozície pod strešnou konštrukciou. Schéma miestnosti a jej orientácia k svetovým stranám je zrejmá z obr. 1.

Koniec vykurovacieho obdobia bol vybratý zámerne, pretože poskytuje najväčšie možnosti na prevádzkovú úsporu tepla pomocou regulácie a súčasne, ako ukázal napr. Hapl [8], dochádza v tomto období k vytváraniu kladnej tepelnej nepohody s jej negatívnymi dôsledkami na energetickú bilanciu budovy.

Pre potreby merania boli zaznamenávané nasledovné veličiny:

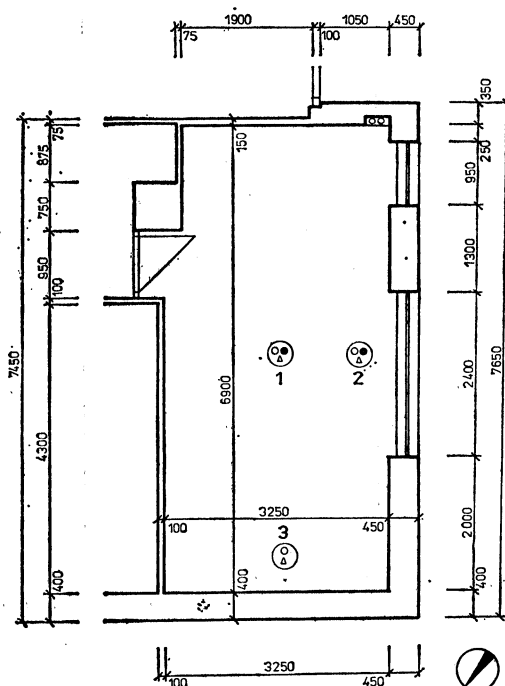
- a) teplota vnútorného vzduchu  $t_i$  v charakteristických bodoch interiéru,
- b) vnútorné povrchové teploty  $t_{ip}$  ohraničujúcich konštrukcií zachytené v geometrickom fazisku plochy,
- c) výsledná teplota guľového Vernon—Joklovho teplomera  $t_g$ , v strede miestnosti a pri okne vo výške 1,1 m nad podlahou,
- d) relatívna vlhkosť vzduchu v interiéri  $\varphi_i$  [%] resp., parciálny tlak vodných párov v interiéri  $p_i$  [Pa],
- e) operatívna teplota  $t_o$  [ $^{\circ}\text{C}$ ], indexy PMV a PPD komfortmetra COMFY TEST EQ 21,
- f) teplota vzduchu v exteriéri  $t_{es}$  [ $^{\circ}\text{C}$ ],
- g) dĺžka slnečného svitu  $s$  [h].

Vyšetrovanie tepelného stavu interiéru vychádzalo z jeho funkčného predurčenia — obývacia izba, a prebiehalo za týchto predpokladov:

— tepelná produkcia človeka pre sediacu polohu  $q_m = 60 \text{ W} \cdot \text{m}^{-2}$  a pre stojacu polohu  $q_m = 70 \text{ W} \cdot \text{m}^{-2}$ ,

— základná hodnota pomerného tepelného odporu oblečenia zodpovedala ročnému obdobiu  $I_{cl} = 0,8 \text{ clo}$ .

Veličiny  $t_o$ , PMV a PPD boli zaznamenávané v 2-hodinových intervaloch (každú



Obr. 1. Schéma meranej miestnosti a rozmiestnenie teplotných snímačov  
 ○ odporový teplomer Pt 100 na snímanie teploty vnútorného vzduchu  $t_i$  [ $^{\circ}\text{C}$ ], ● guľový teplomer Vernon—Joklov na určenie výslednej teploty  $t_g$  [ $^{\circ}\text{C}$ ], Δ senzor prístroja Comfy Test EQ-21 na určenie operatívnej teploty  $t_o$  [ $^{\circ}\text{C}$ ] a PMV indexu

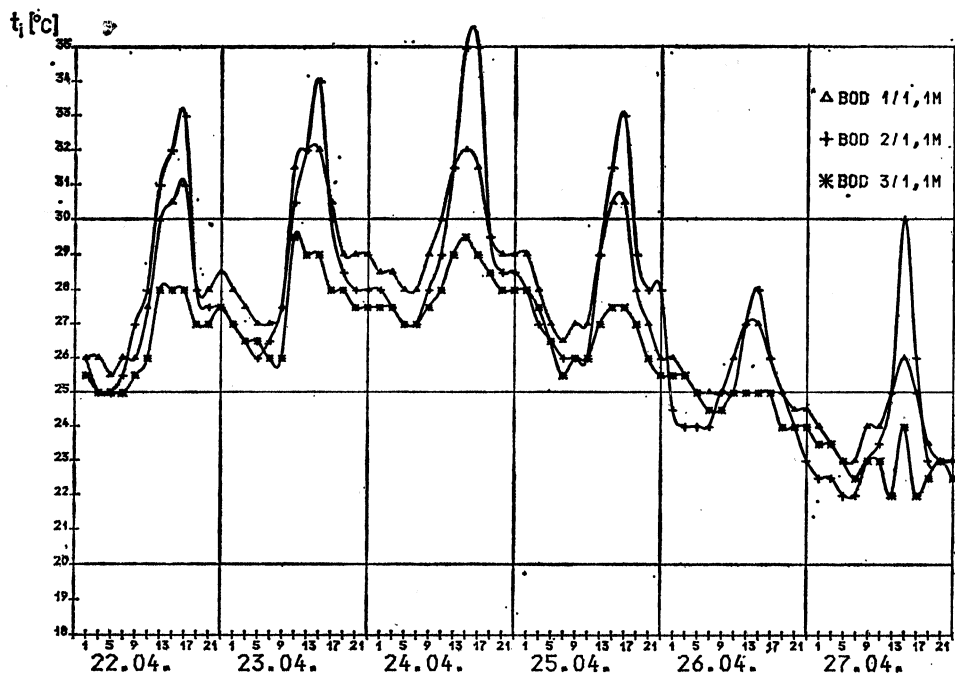
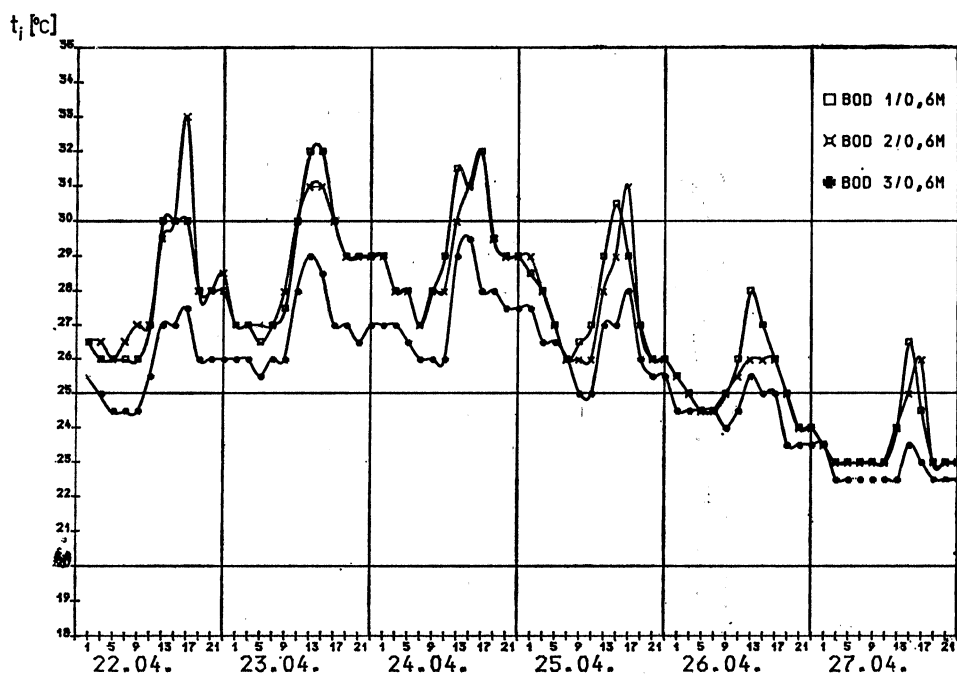
nepárnu hodinu letného času v ČSSR), ostatné veličiny boli registrované priebežne pomocou bodových zapisovačov, resp. dĺžka slnečného svitu heliografiom.

Prístroje pre potreby merania poskytli: Katedra stavebnej fyziky SvF SVŠT, Výskumno-vývojový ústav pozemného stavitelstva a Ústav stavebnictva a architektúry SAV v Bratislave.

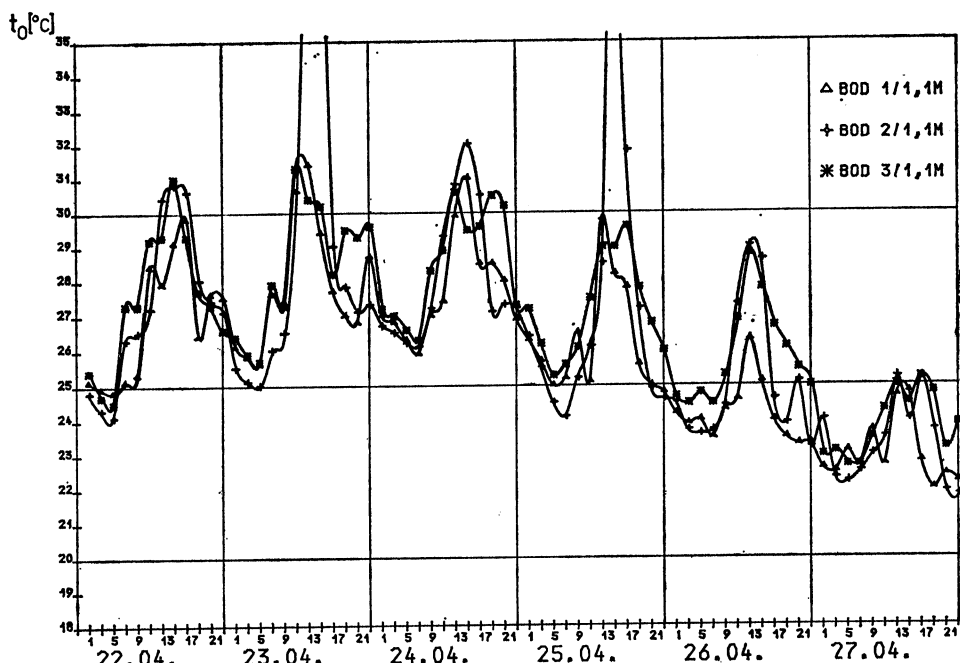
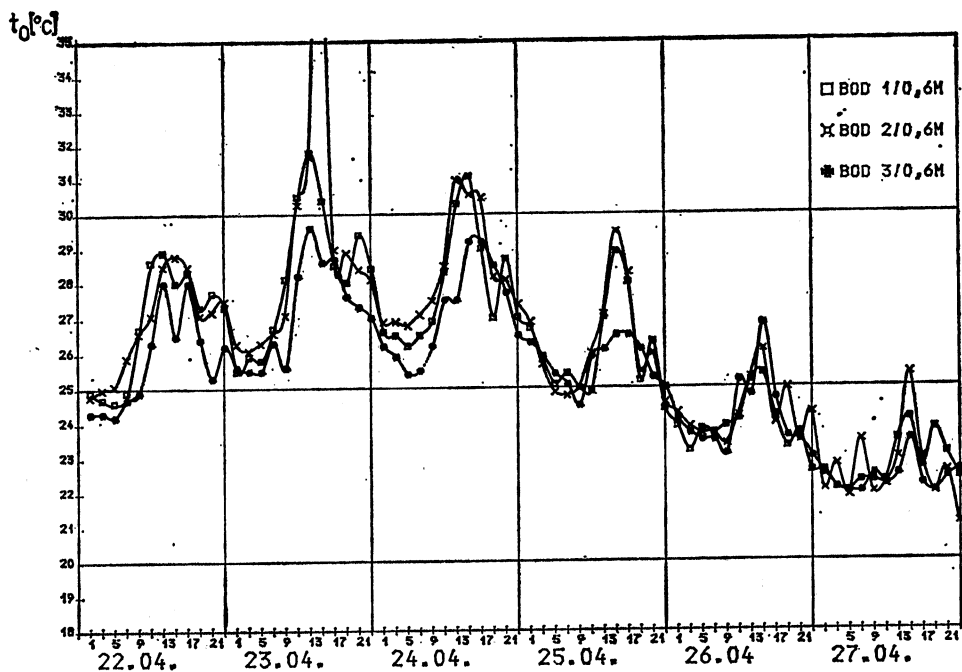
#### 4.3 Výsledky merania

Výsledky merania v podobe nestacionárnych priebehov  $t_i$ ,  $t_o$ ,  $t_g$ , PMV boli vyhodnotené na počítači EC 1025 a vykreslené digigrafom (obr. 2, 3, 4, 5). Ich štatistické spracovanie prebehlo na počítači SM 3, pričom okrem priemerných hodnôt a štandardných odchyliek boli zisťované korelačné závislosti medzi jednotlivými veličinami, resp. tej istej veličiny pre rôzne stanoviská alebo polohy prostriedkami lineárnej regresie (obr. 6, 7).

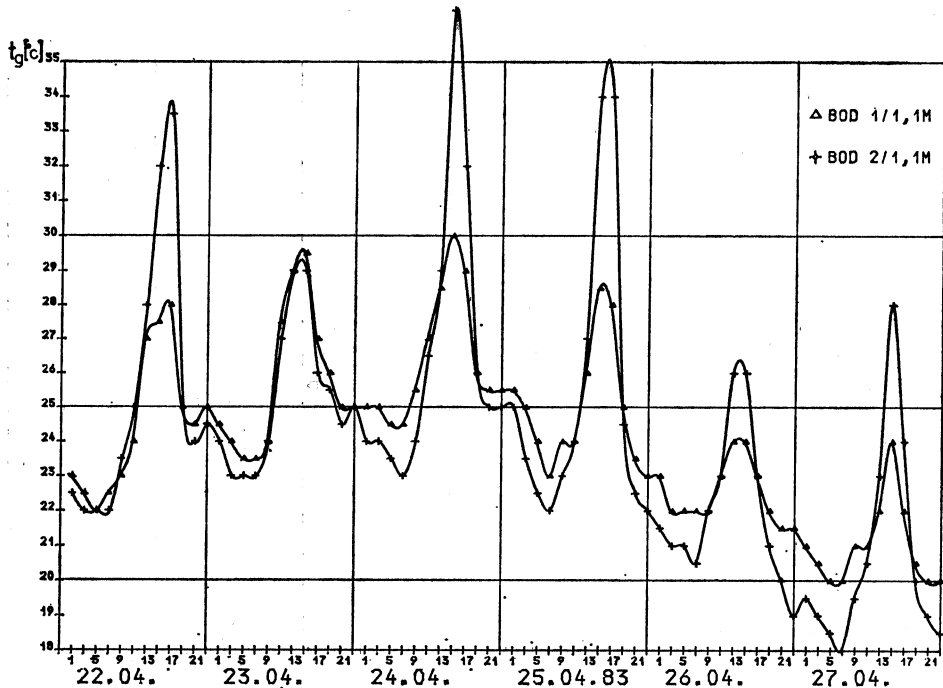
Pre výhodnotenie bolo vybaté obdobie 3 dní, kedy bol interiér vykurovaný, a 3 dni bez vykurovania.



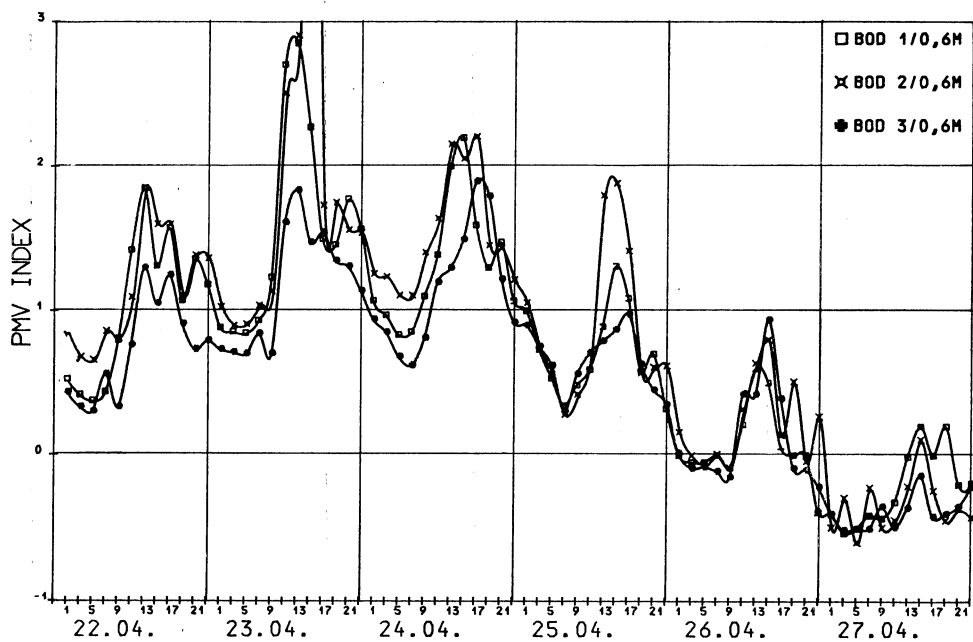
Obr. 2a. Priebeh teplotv vnútorného vzduchu  $t_1$  [°C] pre výšku 0,6 m  
 2b. Priebeh teploty vnútorného vzduchu  $t_1$  [°C] pre výšku 1,1 m



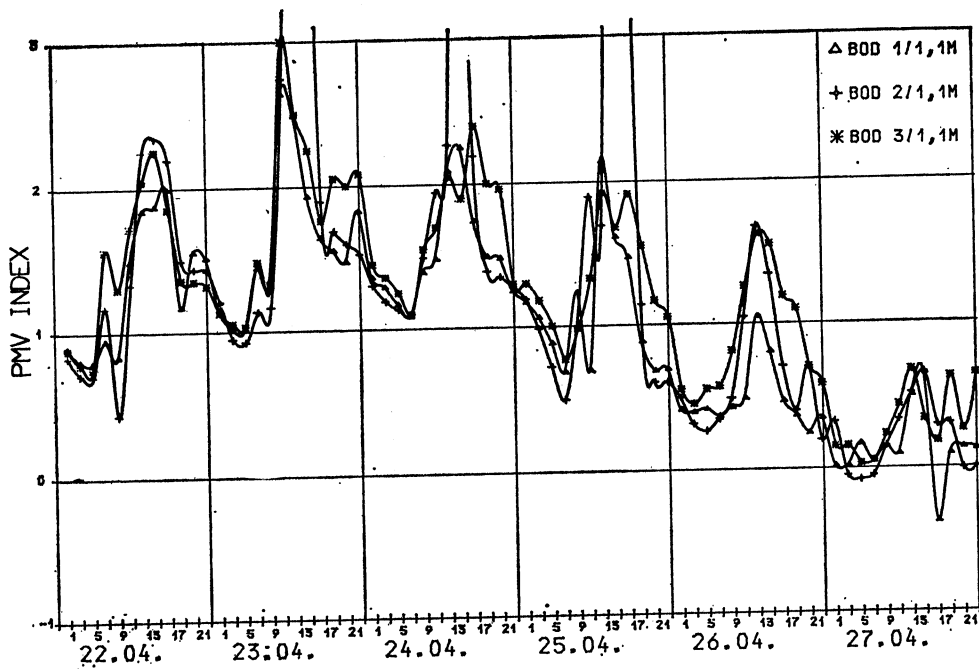
Obr. 3a. Priebeh operatívnej teploty  $t_0$  [°C] pre výšku 0,6 m  
 3b. Priebeh operatívnej teploty  $t_0$  [°C] pre výšku 1,1 m



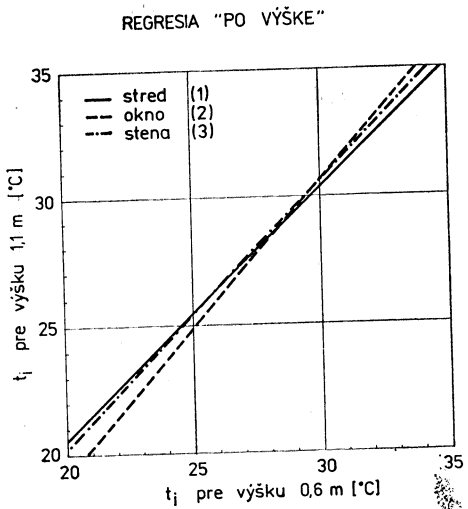
Obr. 4. Priebeh výslednej teploty  $t_g$  [ $^{\circ}\text{C}$ ] pre výšku 1,1 m



Obr. 5a. Priebeh indexu PMV pre výšku 0,6 m

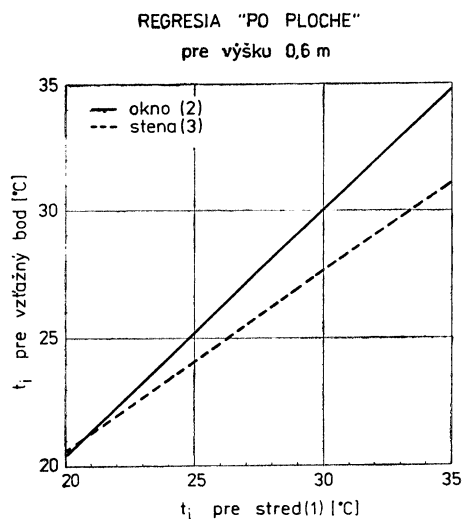


Obr. 5b. Priebeh indexu PMV pre výšku 1,1 m



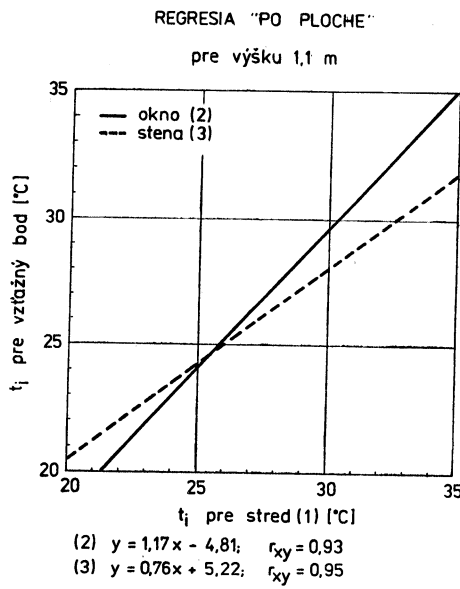
$$\begin{aligned} (1) \quad & y = 0.98x + 0.85; \quad r_{xy} = 0.98 \\ (2) \quad & y = 1.15x - 3.94; \quad r_{xy} = 0.92 \\ (3) \quad & y = 1.04x - 0.64; \quad r_{xy} = 0.96 \end{aligned}$$

Obr. 6a



$$\begin{aligned} (2) \quad & y = 0.96x + 1.17; \quad r_{xy} = 0.96 \\ (3) \quad & y = 0.70x + 6.55; \quad r_{xy} = 0.95 \end{aligned}$$

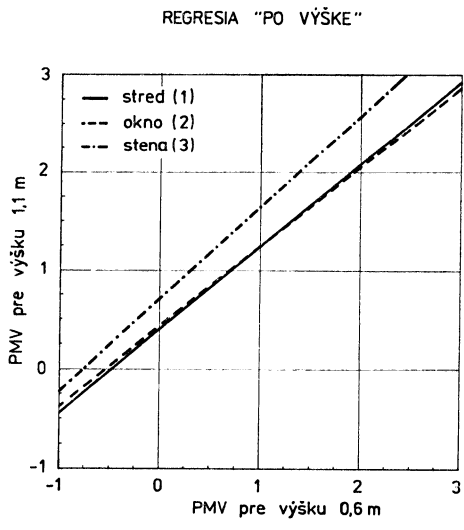
Obr. 6b



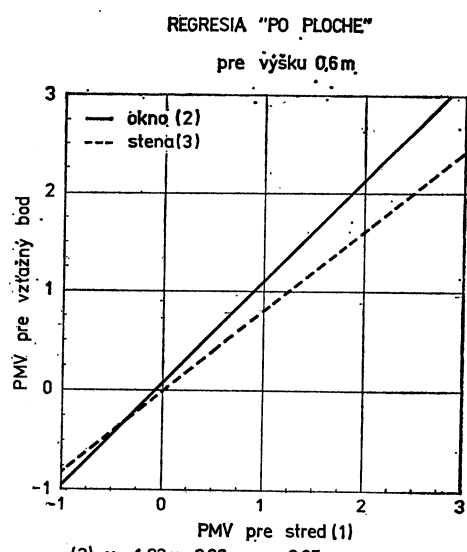
Obr. 6a. Grafické vyjadrenie korelačnej závislosti pre teplotu vnútorného vzduchu  $t_i$  [°C] po výške

Obr. 6b. Grafické vyjadrenie korelačnej závislosti pre teplotu vnútorného vzduchu  $t_i$  [°C] po ploche pre výšku 0,6 m

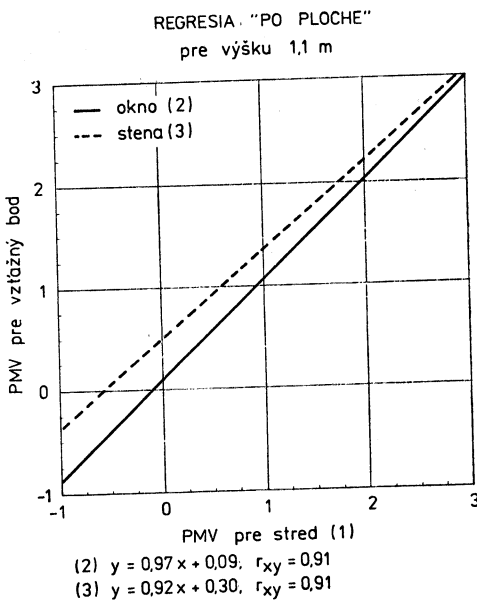
Obr. 6c. Grafické vyjadrenie korelačnej závislosti pre teplotu vnútorného vzduchu  $t_i$  [°C] do ploche pre výšku 1,1 m



Obr. 7a



Obr. 7b



Obr. 7a. Grafické vyjadrenie korelačnej závislosti indexu PMV po výške  
Obr. 7b. Grafické vyjadrenie korelačnej závislosti indexu PMV po ploche pre výšku 0,6 m  
Obr. 7c. Grafické vyjadrenie korelačnej závislosti indexu PMV po ploche pre výšku 1,1 m

## 5. ANALÝZA TEPLITNÝCH PARAMETROV V CHARAKTERISTICKÝCH BODOCH INTERIÉRU

Za charakteristické body interiéru boli zvolené nasledovné stanoviská:

- stred miestnosti (1) — reprezentant najčastejšej oblasti pobytu subjektov,
- 0,6 m od okna (2) — reprezentant vplyvu infiltrácie vzduchu, insolácie a „chladného sálania“ transparentných plôch,
- 0,6 m od ochladzovanej steny (3) — reprezentant vplyvu tepelnej zotrvačnosti obvodovej konštrukcie.

Pre každé stanovisko boli s ohľadom na funkčné určenie interiéru zvolené 2 výškové úrovne vyšetrovania, a to:

- 0,6 m — fažisko tela človeka sediaceho,
- 1,1 m — fažisko tela človeka stojaceho.

Tepelný stav interiéru neboli vyšetrovaný pri vnútorných deliacich stenách, nakoľko susediace interiéry boli vykurované približne na rovnakú teplotu. Tým bol daný predpoklad, že steny nebudú vystavené tepelným účinkom.

Relatívna uniformnosť interiéru bola vyšetrovaná pomocou párovej lineárnej korelačnej úlohy [1]:

- „po výške“ — za základ bola zvolená úroveň 0,6 m nad podlahou (zisťovanie vzťahu teploty v závislosti od výšky),
- „po ploche“ — za základné stanovisko bol zvolený stred miestnosti (1) (zisťovanie vzťahu teploty v závislosti od stanoviska).

Analýza závislosti teploty  $t_i$  pre výšku 1,1 m od hodnoty pre výšku 0,6 m nad podlahou ukázala, že teploty sa v uvedených výškach navzájom odlišujú v každom stanovisku (stred, okno, stena) a ich vzájomná závislosť nespočíva len v konštantnom rozdielne, ale je zložitejšia (viď obr. 6a).

Vyhodnotenie výsledkov v rámci jednej výšky (zvlášť pre 0,6 m a zvlášť pre 1,1 m) ukázalo rôzne závislosti teplôt  $t_i$  nameraných pri okne, resp. stene od teploty v strede miestnosti (viď obr. 6b, 6c).

Môžeme konštatovať, že pre danú miestnosť a dané obdobie, teploty vnútorného vzduchu namerané v jednotlivých meracích bodoch boli signifikantne odlišné, pričom väčšie rozdiely sú medzi jednotlivými stanoviskami ako medzi hodnotami pre výšky 0,6 a 1,1 m.

Samotné konštatovanie odlišnosti v nameraných hodnotách  $t_i$  pre jednotlivé meracie body ešte nemusí byť postačujúce pre vyslovenie tvrdenia o nutnosti zisťovania stavu tepelnej pohody pre viaceré miesta a výškové úrovne, za účelom objektívneho charakterizovania tepelného stavu interiéru vo vzťahu k subjektu. Bola preto urobená štatistická analýza podľa rovnakých zásad pre index tepelnej pohody PMV. Obr. 7 ukazuje korelačnú závislosť „po výške“. Opäť je zrejmá odlišnosť hodnôt nameraných v jednotlivých výškach, pričom rozdiely v porovnaní s teplotou  $t_i$  sa ešte prehĺbili. Pozoruhodné sú však približne rovnaké korelačné závislosti pre stanoviská „stred“ a „okno“.

V prípade korelačnej závislosti „po ploche“ (obr. 7b, 7c) sa taktiež potvrdili odlišnosti hodnôt, pričom charakter závislosti pre výšku 0,6 m je odlišný ako pre výšku 1,1 m.

## 6. DISKUSIA K VÝSLEDKOM EXPERIMENTÁLNEHO MERANIA

V prípade experimentálneho merania na konci vykurovacieho obdobia je opodstatnená otázka, ktoré z faktorov, či poveternostné (slnečné žiarenie, teplota vonkajšieho vzduchu, rýchlosť a smer prúdenia vzduchu), alebo prevádzkové (vykurovacia sústava), ovplyvňujú viač výsledný tepelný stav interiéru. Bola preto vyšetrovaná závislosť medzi  $t_i$ , resp. operatívnou teplotou  $t_o$ , meranými v jednotlivých bodoch interiéru a medzi teplotným rozdielom teplôt prívodnej a vratnej teplej vody dvojrúrkovej vykurovacej sústavy  $\Delta t_{ip, UK}$  (zjednodušene reprezentuje tepelný výkon vykurovacieho telesa v interiéri) a taktiež teplotou exteriéru snímanou zámerne nechráneným odporovým teplomerom ako  $t_{es}$  (zjednodušené zachytenie vplyvu slnečného žiarenia a prúdenia vzduchu). Za ideálneho stavu by mali byť hodnoty  $t_i$  a  $t_o$  nezávislé ako od  $\Delta t_{ip, UK}$ , tak aj od  $t_{es}$ .

Vyhodnotenie závislosti pre celé obdobie vykurovania v čase merania ukázalo:

a) závislosť od  $\Delta t_{ip, UK}$

- pre  $t_i$  vyjadrené  $r_{xy} = -0,12$  až  $-0,05$
- pre  $t_o$  vyjadrené  $r_{xy} = -0,02$  až  $+0,10$

b) závislosť od  $t_{es}$

- pre  $t_i$  vyjadrené  $r_{xy} = +0,61$  až  $+0,83$
- pre  $t_o$  vyjadrené  $r_{xy} = +0,44$  až  $+0,76$

Priemerná doba slnečného svitu za vyhodnocované 6-dňové obdobie bola  $s = 7,5$  h, čo je v súlade s dlhodobým priemerom hodnoty slnečného svitu v mesiaci apríli pre lokalitu Bratislava [12].

Môžeme teda konštatovať, že tepelný stav interiéru bol vo väčšej miere ovplyvnený poveternostnými vplyvmi ako prevádzkovými faktormi, čo bolo spôsobené nevhodným režimom činnosti vykurovacieho telesa (zväčša konštantný výkon). Nemenej závažným poznatkom bolo, že takáto činnosť vykurovacej sústavy (centralizované zásobovanie teplom bez možnosti uplatnenia miestnej regulácie) spôsobí zvýraznenie vplyvu poveternostných činitelov na vytváranie tepelného stavu interiéru, umožňuje vznik tepelnej nepohody (väčšinou kladnej) a tým i neopodstatnenú spotrebu tepelnej energie na vykurovanie.

Ked v krátkosti zhrnieme výsledky štatistického skúmania závislostí, musíme konštatovať, že tak v prípade merania teploty vnútorného vzduchu  $t_i$  ako aj zisťovania indexu tepelnej pohody PMV v danom interiéri a počas sledovaného obdobia zohrávali dôležitú úlohu jednotlivé stanoviská merania (okno, stred, stena) a meracia výška (0,6; 1,1 m). Dôsledkom toho je, že predpoklad uniformnosti prostredia pre charakterizovanie tepelného stavu daného vykurovaného interiéru neobstál a meranie vo viacerých stanoviskách a výškových úrovniach bolo opodstatnené.

Miestnosť, v ktorej prebiehalo experimentálne meranie, sa veľkosťou, tvarom pôdorysu a plochou transparentných častí nijak nevymykala z rámca bežných miestností v obytných budovách. Je preto vhodné zvážiť, či uvedené výsledky štatistickej analýzy, ktoré majú podstatný dopad na voľbu metodiky zisťovania a posudzovania tepelného stavu vykurovaných interiérov, sú dôsledkom špecifík skúmaného interiéru, alebo či majú obecnejšiu platnosť. V každom prípade však výsledky štatistickej analýzy poukázali na to, že je potrebné podrobne sa zaoberať dosiaľ používanými metodikami zisťovania tepelného stavu vykurovaných interiérov.

## 7. ZÁVER

Štatistické skúmanie závislostí ukázalo, že najlepšie charakterizuje tepelný stav prostredia operatívna teplota  $t_o$  ( $r_{xy} = +0,95$  až  $r_{xy} = +0,99$ ) vo vzťahu k indexu PMV. Nakoľko teplota vzduchu v interiéri  $t_i$  bola snímaná odporovými teplomermi Pt 100 bez tienenia (týmto spôsobom bol zachytený aj vplyv okolitých povrchov), bola závislosť medzi indexom PMV a  $t_i$  nad očakávanie tesná ( $r_{xy} = +0,86$  až  $r_{xy} = +0,94$ ). Výsledná teplota guľového teplomera  $t_g$  vyjadriovala celkový tepelný stav interiéru tiež uspokojivo ( $r_{xy} = +0,86$  pre okno,  $r_{xy} = +0,91$  pre stred miestnosti vo výške 1,1 m) vo vzťahu k indexu tepelnej pohody PMV.

Experimentálne meranie preukázalo, že najspolahlivejšie charakterizuje tepelný stav prostredia operatívna teplota  $t_o$ , pričom čiastočne prekvapivým výsledkom bolo, že teplota vnútorného vzduchu  $t_i$  a výsledná teplota  $t_g$  hodnotili tepelný stav prostredia približne rovnako spoľahlivo.

## LITERATÚRA

- [1] Bakytová a kol.: Základy štatistiky. Alfa, Bratislava 1975, 390 s.
- [2] Bogoslovskij, V. N.: Teplový režim zdaníj. Strojizdat, Moskva 1979, 248 s.
- [3] Čihelka, J.: Vytápění, větrání a klimatizace. SNTL, Praha 1985, 648 s.
- [4] Fanger, P. O.: Thermal Comfort. McGraw-Hill Book Company, New York 1972, 244 s.
- [5] Gurev, M. E.: Teplovye izmerenija v strojiteľnoj teplofiziike. Izdatelstvo obiedinenija Vyšša škola, Kijev 1976, 128 s.
- [6] Halahyja, M.: Nové tepelnotechnické problémy pozemných stavieb. Vydavateľstvo SAV, Bratislava 1967, 271 s.

- [7] Halahyja, M. a kol.: Stavebná tepelná technika, osvetlenie a akustika. Alfa, Bratislava 1985, 748 s.
- [8] Hapl, L.: K otázkám tepelné vlhkostní a akustické pohody životního prostředí v obytných budovách nových obytných souborů. In: Výstavba a architektura 10/1981, 10—18 s.
- [9] Jokl, M.: Optimalizace fyzikálních podmínek pro práci člověka. Práce, Praha 1984, 236 s.
- [10] Oppl, L.: Hodnocení mikroklimatu pomocí indexu PMV. In: Zdravotní technika a vzduchotechnika, (26), 1983/1, 1—7 s.
- [11] Pekarovič, J. K.: Zabezpečenie optima tepelného komfortu v interiéroch obytných budov pri hospodárne opodstatnených nákladoch. DDIZP, SvF SVŠT, Bratislava 1978, 314 s.
- [12] Petráš, D.: Príspevok k určeniu energetickej bilancie obytných budov v celoročnom priebehu. KDIZP, SvF SVŠT, Bratislava 1983, 239 s.
- [13] Petzold, K.: Raumlufttemperatur. VEB Verlag Technik, Berlin 1976, 304 s.

## **АНАЛИЗ РАСПРЕДЕЛЕНИЯ ТЕМПЕРАТУРЫ ВОЗДУХА В ПОМЕЩЕНИИ ЖИЛОГО ЗДАНИЯ ПО ОТНОШЕНИЮ К ТЕПЛОВОМУ КОМФОРТУ**

*Инж. Л. Пиршель, Инж. Д. Петраш, к. т. н.*

В статье анализируются способы оценки уровня теплового комфорта отапливаемого интерьера жилого дома. На основе эксперимента в конце отапливаемого сезона статистически обработана зависимость температуры внутреннего воздуха ( $t_i$ ), результирующей температуры ( $t_g$ ), и оперативной температуры ( $t_o$ ) в нестационарном ходе в виде горизонтального распределения, тоже вертикального, в помещении при конвекционном отапливании.

### **ANALYSIS OF AIR-TEMPERATURES DISTRIBUTION IN THE ROOM OF A DWELLING BUILDING IN RELATION TO THERMAL COMFORT**

*Ing. L. Piršel, Ing. D. Petrás, CSc.*

In this paper there are analysed manners of thermal comfort judging in heated interior of a dwelling building. It is statistically calculated dependence of indoor air-temperature ( $t_i$ ), globe temperature ( $t_g$ ) and operative temperature ( $t_o$ ) in non-stationary state and their horizontal and vertical distribution in a room by convective heating based on an experimental measurement at the end of the heating period.

### **ANALYSE DER INNENLUFTTEMPERATURVERTEILUNG IM RAUM EINES WOHNGEBAUDES IM BEZUG ZUR THERMISCHEN BEHAGLICHKEIT**

*Ing. L. Piršel, Ing. D. Petrás, CSc.*

Im Beitrag sind verschiedene Bewertungsverfahren des thermischen Zustandes der beheizten Räume in den Wohngebäuden analysiert. Anhand experimenteller Messungen am Ende des Beheizungszeitraumes sind die Zusammenhänge zwischen den Werten der Innenlufttemperatur ( $t_i$ ), der resultierenden Temperatur ( $t_g$ ) und der Operativtemperatur ( $t_o$ ) im nicht stationären Verlauf im Bezug auf ihre Horizontal- und Vertikalverteilung in einem konvektiv beheizten Innenraum statistisch verarbeitet.

### **ANALYSE DE LA DISTRIBUTION DE LA TEMPÉRATURE DE L'AIR À L'INTÉRIEUR D'UN BÂTIMENT HABITÉ EN FONCTION DU CONFORT THERMIQUE**

*Ing. L. Piršel, Ing. D. Petrás, CSc.*

L'article présenté a pour but l'analyse des méthodes d'appréciation du niveau d'état thermique à l'intérieur chauffé d'un bâtiment habité. On y trouve une dépendance des valeurs de la température de l'air à l'intérieur ( $t_i$ ), de la température résultante ( $t_g$ ) et de la température opérative ( $t_o$ ) à variable régime par rapport à leur distribution horizontale et verticale dans la pièce avec le chauffage habituel élaborée statistiquement sur la base des mesures expérimentales à la fin de la période de chauffe.

# SINUSOVÁ DÝZA A VÝROBA MODELU PRO LAMINOVÁNÍ

Z. SVOBODA, ING. E. LIBIŠ, ING. V. RYBECKÝ

*Výzkumný ústav vzduchotechniky, Praha*

Článek je věnován (kromě krátkého úvodu do problematiky aerodynamických tunelů) návrhu dýzy pro konkrétní aerodynamický tunel o průměru 1 260/630 mm. Je proveden výběr tvaru dýzy, matematické zpracování tvořící křivky povrchu pro opracování modelu dýzy na NC stroji, popis konstrukce dýzy a je dokumentováno provedení zmenšeného modelu aerodynamického tunelu 1 : 5.

*Recenzoval: Ing. Jan Citavý, CSc.*

## 1. ÚVOD

Jednou ze základních podmínek optimální funkce aerodynamického tunelu je rovnoramenné rozdělení proudu protékajícího vzduchu v účinném průřezu měřicího prostoru. Zrovnoramenné rychlostní a tlakové pole je možné dosáhnout vestavěnou mřížovou dělicí stěnou (např. drátěná síta, perforovaný plech apod.), voštinovým usměrňovačem nebo dýzou (konfuzorem, tzn. zúžením průřezu potrubí ve směru proudění). Při návrhu aerodynamického tunelu se hledá nejvhodnější kombinace všech uvedených tří způsobů především s ohledem k požadavkům na intenzitu turbulence v měřicím prostoru, ale také se zřetelem k tlakové ztrátě a stavební délce jednotlivých elementů.

Intenzita turbulence v měřicím prostoru je dána uspořádáním celého tunelu. Vzhledem ke značnému vlivu turbulence na obtékání v těsné blízkosti těles je pro modelování proudění při procesech ve volném ovzduší, které lze považovat prakticky za prosté turbulence a pro kalibraci, po případě kontroly měřidel rychlosti proudění je požadována v aerodynamických tunelech převážně velmi nízká hodnota intenzity turbulence. Pro některá měření s potřebou zvýšení turbulence se před měřicí prostor vkládají generátory turbulence většinou ve formě drátěných mříží.

Zlepšení rozdělení rychlostí mřížovou dělicí stěnou lze dosáhnout na velmi krátkém úseku tunelu. Podle [1] lze dělicí stěnou s 52 % volné plochy dosáhnout vyrovnaní libovolného rychlostního profilu, pokud jeho nerovnoměrnost je poměrně malá, což lze při vhodném uspořádání předcházejícího úseku tunelu předpokládat.

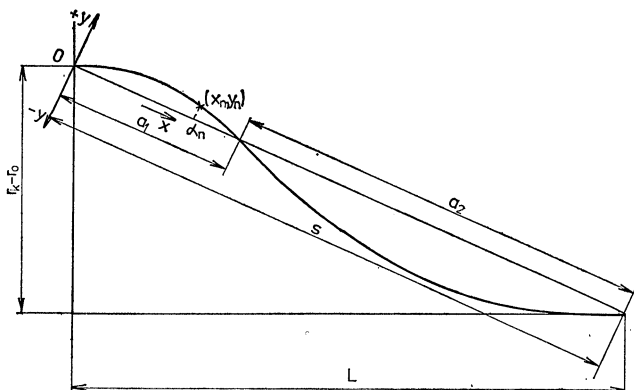
Použití dýzy pro zkvalitnění proudění v aerodynamickém tunelu je provázeno problémy s její výrobou, zejména pokud se jedná o tunel velkých rozměrů. O postupu návrhu tvaru a výroby dýzy laminováním je pojednáno v následujícím článku, který vychází ze zkušenosti s návrhem a realizací malého a velkého aerodynamického tunelu ve VÚV Praha.

## 2. DÝZY

Smyslem použití dýz je zrychlení a zrovnoramennění proudu vzduchu před vstupem do měřicího prostoru. Průtok dýzou má jen velmi malou energetickou ztrátu. Dýza se umísťuje těsně před měřicí prostor. Na funkci dýzy mají vliv zúžení průřezu,

délka a tvar. Při poměru vstupní a výstupní plochy 1 : 7, po případě větším, je zaručeno rovnoměrné rychlostní pole na výstupu. Při návrhu tvaru dýzy se ale musí zabránit vzniku oblasti s odtržením proudu, tzn. odstranění oblasti s možným místním nárůstem tlaku a tím poklesem rychlosti.

Podle [2] není změna charakteristiky turbulence v dýze zcela objasněna. Pro poměr průřezů nad 1 : 4 dochází k útlumu podélné složky turbulence v důsledku nárůstu střední rychlosti, ale pro poměr ploch nad 1 : 10 intenzita podélné složky turbulence po počátečním poklesu opět narůstá a pro poměr 1 : 16 je na výstupu větší intenzita turbulence než ve vstupním průřezu. Příčná složka je podle měření



Obr. 1. Profil sinusové dýzy

na výstupu menší než na vstupu. Volba velkého poměru zúžení je proto vhodná pro aerodynamické tunely s nízkým stupněm přirozené turbulence.

Jako tvořící křivka bývá doporučována Vitošinského křivka [2], [3]:

$$\frac{d_m}{d_o} = \sqrt{\sqrt{1 - \left[1 - \left(\frac{d_k}{d_o}\right)^2\right]} \frac{\left[1 - \left(\frac{x}{L}\right)^2\right]^2}{\left[1 + \frac{1}{3} \left(\frac{x}{L}\right)^2\right]^3}}.$$

V britských pramenech (např. [4]) se uvádí křivka:

$$\frac{d_m}{d_o} = 1 - \left[1 - \left(\frac{d_k}{d_o}\right)^2\right] \cdot \left[10 - 20 \left(\frac{x}{L}\right) + 15 \left(\frac{x}{L}\right)^2 - 4 \left(\frac{x}{L}\right)^3\right], \quad (2)$$

kde  $d_m$  je hledaný průměr,

$d_k$  výstupní průměr,

$d_o$  vstupní průměr,

$x$  vzdálenost od vstupu,

$L$  celková délka.

V posledních letech se využívá jako tvořící křivky spojení dvou sinusovek s různou délkou úseků. Vhodný poměr délek úseků byl zjištován na analogovém modelu tak, aby nedocházelo k rychlostním extrémům a tím se odstranila náchylnost k trhání proudu. Na základě měření prováděných pracovníky VZLÚ je v [5] jako nevhod-

doporučován poměr 30 : 70 (obr. 1). Parametry a souřadnice sinusové dýzy se vypočtou z (3) až (10):

$$s = \sqrt{(r_k - r_o)^2 + L^2}, \quad (3)$$

$$\operatorname{tg} \varphi = \frac{r_k - r_o}{L}, \quad (4)$$

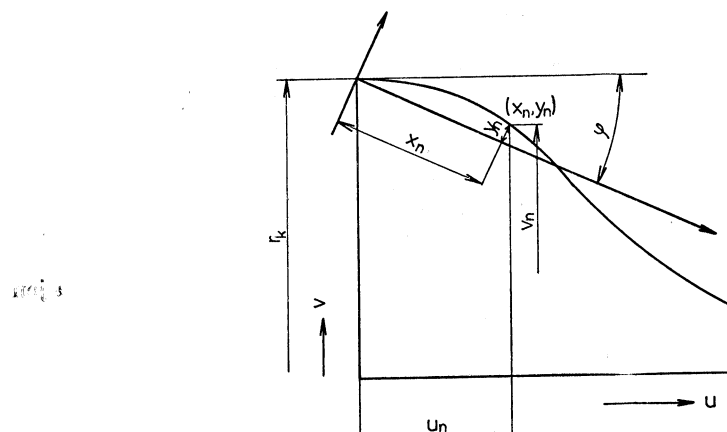
pro sinusovku délky  $a_1 = 0,3 s$  platí

$$x_{1n} = \frac{0,3 \cdot s}{180} \cdot \alpha, \quad (5)$$

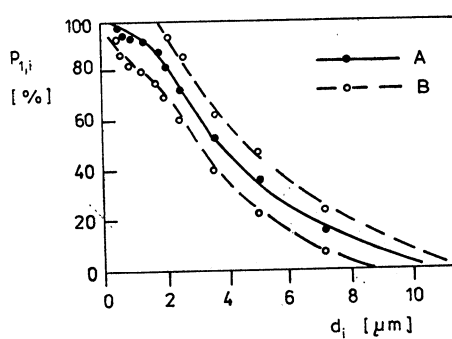
$$y_{1n} = \frac{0,3 \cdot s \cdot \operatorname{tg} \varphi}{\pi} \cdot \sin \alpha \quad (6)$$

pro sinusovku s  $a_2 = 0,7 s$

$$x_{2n} = \frac{0,7 \cdot s}{180} \cdot \beta, \quad (7)$$



Obr. 2. Transformace souřadnic



Obr. 3. Porovnání různých profilů dýz

$$y_{2n} = \frac{0,7 \cdot s \cdot \operatorname{tg} \varphi}{\pi} \cdot \sin \beta. \quad (8)$$

Pro výpočet je vhodné volit  $\alpha = \beta$ . Podle obr. 2 lze psát tyto transformační rovnice:

$$u = x \cdot \cos \varphi + y \cdot \sin \varphi, \quad (9)$$

$$v = r_k - x \cdot \sin \varphi + y \cdot \cos \varphi. \quad (10)$$

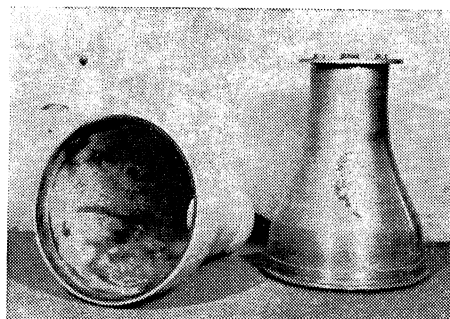
Ve VZLU byl pro tento výpočet vypracován program pro kalkulátor HP 67. Srovnání tvarů všech tří dýz je na obr. 3.

### 3. TECHNOLOGIE VÝROBY DÝZY

Při realizaci aerodynamického tunelu Eiffelova nebo Prandtlova typu s otevřeným nebo uzavřeným měřicím prostorem je po technologické stránce nejdůležitější výroba vlastní dýzy. Výstupní otvor dýzy může být kruhový nebo čtyřhranný. V obou případech je plášt zborcená plocha. Ostatní díly tunelu jsou tvořeny rotačně symetrickými tělesy s přímkovou tvořící čarou, která nejsou po technologické stránce tak obtížná (válce, komolé kuže).

Dřívější způsob výroby dýz z tvarovaných překližek je nyní nahrazován technologií laminování na negativní model. Požadavkem je, aby povrch modelu bylo možno opracovat, po případě upravit tak, aby odpovídalo vysokým požadavkům na kvalitu činné plochy a na úzké mezní úchytky jejich rozměrů, protože povrch laminované dýzy je stejně kvality jako povrch modelu. Materiálem modelů bývá dřevo, kov, sádra apod. Kovové modely se používají pro případ opakování výroby, kdy je nežádoucí poškození modelu při stahování vylaminované dýzy a kdy je třeba zachování tvaru a rozměrů po delší dobu.

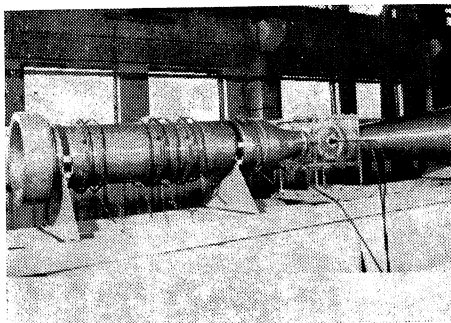
Pro konkrétní úkol byla navržena dýza o průměru  $d_k = 1260$  mm,  $d_o = 630$  mm a délky  $L = 1400$  mm. Pro ověření některých aerodynamických vlastností tunelu byl vyroben jeho model v měřítku 1 : 5, tj. s dýzou  $\varnothing 252/\varnothing 126$  a délce 280 mm. Model pro laminování menší dýzy byl vyroben z plného kusu materiálu z Al-slitiny na kopirovacím soustruhu. Šablona byla vyrobena z ocelového plechu  $s = 2$  mm. Povrch modelu byl po obrobení ručně doleštěn. Okrajové příruby jsou demontova-



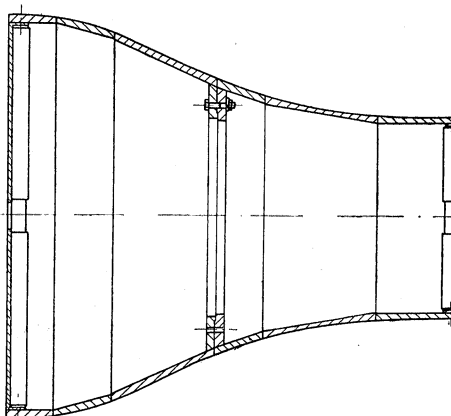
Obr. 4. Dýza a její model

telné pro možnost sejmání vylaminované dýzy. Na obr. 4 je model a hotová dýza. Pro tento případ byla zvolena jednoduchá technologie laminování bez výztuh. Tloušťka stěny dýzy je přibližně 5 mm. Na obr. 5 je pohled na dýzu v sestavě tunelu.

Pro velkou dýzu byl navržen model dutý, jako svařenec skruží z Al-plechu tloušťky 32 mm, obr. 6. Opracování bylo provedeno na svislém NC soustruhu, pro který bylo



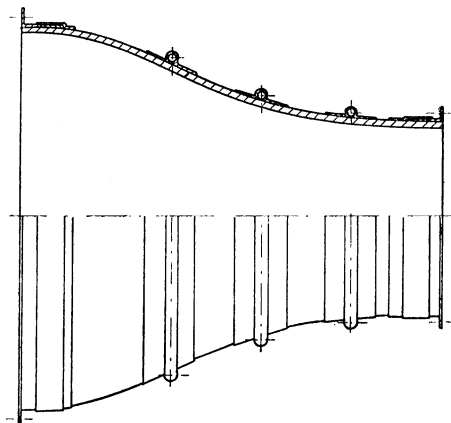
Obr. 5. Část aerodynamického tunelu



Obr. 6. Konstrukce modelu

třeba upravit analytické zadání povrchové křivky převedením sinusoidy na kruhové oblouky nebo úsečky, jak je uvedeno v odst. 4 a 5. Použitou technologií se dosáhlo kvalitního povrchu modelu bez dodatečného leštění.

U velké dýzy bylo nutno upravit její konstrukci. Na okrajích jsou zalaminovány pomocí přivařených záลisků z děrovaného plechu ocelové úhelníkové příruby. Na plášti dýzy jsou s roztečí 300 mm zalaminovány trubky PVC o průměru přibližně 30 mm. Návrh tvaru dýzy je na obr. 7. Cílem této úpravy je zajistení stálosti kruhového průřezu dýzy. Stěna dýzy o tloušťce asi 3 mm je z pěti vrstev sklotkaniny a polyesterové pryskyřice ChS 104.



Obr. 7. Konstrukce dýzy

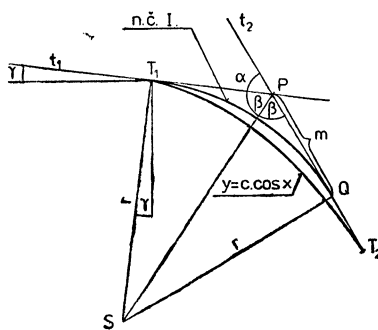
Zkušenosti z výroby zmenšeného modelu dýzy ukazují, že bylo dosaženo předpokládaných výsledků. Činný povrch dýzy je kompaktní a hladký. Také stažení hotové dýzy z modelu přes počáteční obavy nečinilo potíže. Dýza je dostatečně tuhá a nedošlo k porušení kruhovitosti přesto, že nebylo použito výztužných žeber. Je proto reálný předpoklad, že provedení velké dýzy splní očekávané požadavky.

## 4. NÁHRADNÍ ČÁRA I

### 4.1 Popis náhradní čáry a transformací

Jak již bylo uvedeno, je pro výrobu modelu na NC-stroji nutno provést náhradu tvaru dýzy kruhovými oblouky a úsečkami.

Rovnice k výpočtu náhradní čáry I (dále jen n. č. I) se odvodí z bodů kosinusoidy. N. č. I je grafem interpolační funkce, který mezi dvěma uzlovými body kosinusoidy  $T_1$ ,  $T_2$  se skládá z kruhového oblouku  $T_1Q$  a úsečky  $QT_2$  (obr. 8). N. č. I je spojitá a má spojité první derivace ve všech bodech. V uzlových bodech  $T_1$ ,  $T_2$



Obr. 8. Náhradní čára I

se její první derivace rovnají prvním derivacím kosinusoidy. V grafickém znázornění je to vyjádřeno společnými tečnami  $t_1, t_2$ . Definiční obor  $D = \langle 0; \pi/2 \rangle$  kosinusoidy je společný i pro n. č. I.

Pro odvození rovnic se definiční obor  $D$  rozdělí uzlovými body  $T_1, T_2$  na několik intervalů  $\langle x_1; x_2 \rangle$ . Po odvození rovnic se definiční obor  $D$  rozšíří o osově souměrný obor  $\langle -\pi/2; 0 \rangle$ . Oba obory se spojí v jeden  $\langle -\pi/2; \pi/2 \rangle$ . Dva středové intervaly  $\langle -x_2; 0 \rangle$  a  $\langle 0; x_2 \rangle$  se spojí také do jednoho intervalu  $\langle -x_2; x_2 \rangle$ . Posunutím kosinusoidy i n. č. I. o hodnotu  $\pi/2$  doprava po ose  $x$  se obdrží z kosinusoidy sinusoida a příslušná n. č. I., obě definované v intervalu  $\langle 0; \pi \rangle$  s amplitudou  $c$  a společnou směrnicí tečny  $k_3 = 0$  v bodu  $[\pi/2; c]$ , společnou směrnicí tečny  $k_1 = c$  v bodu  $[0; 0]$  a  $k_2 = -c$  v bodu  $[\pi; 0]$ .

Vzdálenosti bodů a tedy i poloměry  $r$  kruhových oblouků  $T_1Q$ , délky úseček  $m$  a odchylky  $\Delta$  jsou invariantní vůči transformacím posunutím a natočením. Některé rovnice pro uvedené transformace jsou uvedeny v odst. 4.2 a platí jak pro sinusoidu, tak pro n. č. I.

## 4.2 Odvození rovnic

Rovnice afinní kosinusoidy je

$$y = c \cdot \cos x, \quad (11)$$

de  $c \in (0; 1)$  je konstanta;  $c = \operatorname{tg} \varphi$  podle (4), kde  $\varphi > 0^\circ$ ,  
 $x \in \langle 0; \pi/2 \rangle$  — nezávisle proměnná veličina.

Rovnice tečen  $t_1, t_2$  v uzlových bodech  $T_1[x_1; y_1], T_2[x_2; y_2]$  jsou

$$y - y_1 = k_1(x - x_1), \quad (12)$$

$$y - y_2 = k_2(x - x_2). \quad (13)$$

kde  $k_1, k_2$  jsou směrnice tečen podle (14), (15):

$$k_1 = -c \cdot \sin x_1, \quad (14)$$

$$k_2 = -c \cdot \sin x_2, \quad (15)$$

Z (12), (13) se vypočítají souřadnice  $x_3, y_3$  průsečíku  $P$  tečen  $t_1, t_2$ :

$$x_3 = \frac{k_1 x_1 - k_2 x_2 - y_1 + y_2}{k_1 - k_2}, \quad (16)$$

$$y_3 = y_1 + k_1(x_3 - x_1). \quad (17)$$

Tečny  $t_1, t_2$  svírají ostrý úhel  $\alpha$ :

$$\alpha = \arctan |k_2| - \arctan |k_1|. \quad (18)$$

S osou  $SP$  kruhové výseče  $QST_1$  svírají tečny  $t_1, t_2$  ostrý úhel  $\beta$ :

$$\beta = \frac{\pi - \alpha}{2}. \quad (19)$$

Vzdálenost  $m$  bodu  $T_1$  od  $P$  a  $P$  od  $Q$  se vypočítá Pythagorovou větou:

$$m = \sqrt{(x_3 - x_1)^2 + (y_3 - y_1)^2}. \quad (20)$$

Poloměr  $r$  kruhového oblouku  $T_1Q$  je

$$r = m \cdot \operatorname{tg} \beta. \quad (21)$$

Tečna  $t_2$  se dotýká kruhového oblouku v bodu  $Q[x_4; y_4]$ :

$$x_4 = x_3 + m \cdot \cos \gamma_2, \quad (22)$$

$$y_4 = y_3 - m \cdot \sin \gamma_2, \quad (23)$$

kde  $\gamma_1 \geq 0$  je ostrý úhel, který svírá v bodu  $[x_1; y_1]$  tečna s osou  $x$  nebo normála kosinusoidy s osou  $y$

$$\gamma_1 = \arctan(c \cdot \sin x_1). \quad (24)$$

V bodu  $T_1$  mají kosinusoida i kruhový oblouk společnou tečnu i normálu. Úhel  $\gamma_1$  v bodu  $T_1[x_1; y_1]$  se proto obdrží dosazením za  $x_1$  do (24). Souřadnice středu  $S$  kruhového oblouku jsou potom:

$$x_s = x_1 - r \cdot \sin \gamma_1, \quad (25)$$

$$y_s = y_1 - r \cdot \cos \gamma_1 \quad (26)$$

Odchylku kruhového oblouku od kosinusoidy měřenou v blízkosti bodu  $P$  na normále kosinusoidy lze vyjádřit takto:

$$\Delta \approx [y_s + \sqrt{r^2 - (x_3 - x_s)^2} - c \cdot \cos x_3] \cdot \cos \gamma_3 \quad (27)$$

### 4.3 Aplikace odvozených rovnic na konkrétní případ

V konkrétním případě s konstantou  $c = \operatorname{tg} \varphi = 0,225$  byl definiční obor kosinusoid rozdělen na 4 intervaly pěti uzlovými body:

$$x = 0; 0,3; 0,75; 1,1; \pi/2$$

Transformací posunutím po ose  $x$  se vytvoří sinusoida

$$y = c \cdot \sin x \quad (28)$$

a příslušná n. č. I, obě definované pro  $x \in \langle 0; \pi \rangle$ . V tab. 1 jsou uvedeny souřadnice všech šestnácti bodů n. č. I. V intervalu, kde není udán poloměr  $r$ , je n. č. I přímá. V intervalu, kde je udán poloměr kruhového oblouku, je také uvedena odchylka kruhového oblouku od sinusoidy. Iteracemi lze získat extrém odchylky, který je v druhém a předposledním intervalu  $\Delta_E = 0,000 235$ , tedy o necelých 40 % větší než  $\Delta = 0,000 172$  podle (27).

Jestliže geometricky podobná sinusoida a příslušná n. č. I má podle obr. 1 v souřadnicovém systému  $x, y$  délku půlvlny  $a = b \cdot \pi$ , potom souřadnice bodů  $x_i, y_i$ , poloměry  $r$  a odchylky  $\Delta$  geometricky podobné n. č. I se obdrží vynásobením tabulkových hodnot číslem  $b$ .

Výpočet podle odvozených rovnic na samočinném počítači ADT 4300 je naprogramován v jazyce Fortran 4 [6]. Výsledkem výpočtu je vytisknuta tabulka s hodnotami potřebnými k výrobě modelu sinusové dýzy na NC stroji.

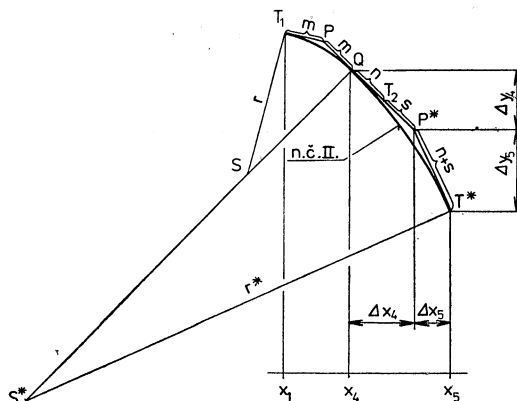
Tab. 1. Náhradní čára I v definičním oboru  $\langle 0; \pi \rangle$

$x$	$y$	$r$	$\Delta$	$x_s$	$y_s$
0,000 00	0,000 00				
0,155 38	0,034 96				
0,470 80	0,102 06	13,770 69	0,000 172	3,178 22	-13,399 85
0,502 67	0,108 45	6,997 46	0,000 162	1,878 43	-6,752 44
0,845 80	0,168 41				
0,864 57	0,171 21	5,001 08	0,000 161	1,602 60	-4,775 11
1,270 80	0,214 95				
1,273 40	0,215 12	4,482 56	0,000 016	1,570 80	-4,257 56
1,868 20	0,215 12				
1,870 80	0,214 95	5,001 08	0,000 161	1,539 00	-4,775 11
2,277 02	0,171 21				
2,295 80	0,168 41	6,997 46	0,000 162	1,263 17	-6,752 44
2,638 93	0,108 45				
2,670 80	0,102 06	13,770 69	0,000 172	-0,036 63	-13,399 85
2,986 21	0,034 96				
3,141 59	0,000 00				

## 5. NÁHRADNÍ ČÁRA II

### 5.1 Popis n. č. II a odvození rovnic

Na obr. 9 je nakreslena část n. č. II v intervalu  $\langle x_1; x_5 \rangle$ . Kosinusoida, která není na obrázku zakreslena, je mezi uzlovými body  $T_1$ ,  $T^*$  interpolována dvěma kruhovými oblouky  $T_1Q$  a  $QT^*$ . V bodu  $Q$  mají oba kruhové oblouky společnou tečnu



Obr. 9. Náhradní čára II

i normálu, v bodu  $T_1$  má první a v bodu  $T^*$  druhý kruhový oblouk společnou tečnu i normálu s kosinusoidou. Body  $T_1$ ,  $T_2$  na kosinusoidě se volí libovolně, stejně jako u n. č. I. Také poloměr  $r$ , úsečka  $m$  a odchylka  $\Delta$  se vypočítá jako u n. č. I. Souřadnice uzlového bodu  $T^*$  je však nutné vypočítat iteracemi. Potřebná rovnice (36) je odvozena pomocí (29) až (35).

Diference souřadnic jsou podle obr. 9 tyto:

$$\Delta x_4 = (n + s) \cdot \cos \gamma_2, \quad (29)$$

$$\Delta x_5 = (n + s) \cdot \cos \gamma_5, \quad (30)$$

$$\Delta y_4 = (n + s) \cdot \sin \gamma_2, \quad (31)$$

$$\Delta y_5 = (n + s) \cdot \sin \gamma_5. \quad (32)$$

Souřadnice bodu  $T^*$  jsou potom

$$x_5 = x_4 + (n + s) (\cos \gamma_2 + \cos \gamma_5), \quad (33)$$

$$y_5 = y_4 - (n + s) (\sin \gamma_2 + \sin \gamma_5), \quad (34)$$

Souřadnici  $y_5$  lze také vyjádřit z rovnice kosinusoidy

$$y_5 = c \cdot \cos x_5. \quad (35)$$

Z (33) až (35) se vypočítá

$$c \cdot \cos x_5 = y_4 - (x_5 - x_4) (\sin \gamma_2 + \sin \gamma_5) (\cos \gamma_2 + \cos \gamma_5)^{-1}. \quad (36)$$

Rovnice (36) je transcendentní a  $x_5$  určíme iteracemi.

Z (33) se obdrží  $(n + s)$  a ze (35)  $y_5$ . Výpočet souřadnic středu  $S^*$ , poloměru  $r^*$  a odchylky  $\Delta^*$  kruhového oblouku od kosinusoidy je podobný jako u n. č. I.

## 5.2 Postup výpočtu

V prvním intervalu se volí na kosinusoidě bod  $T_1[0; c]$  a bod  $T_2[x_2; y_2]$ . Vypočítají se souřadnice  $x_5$ ,  $y_5$  bodu  $T^*$ , poloměry  $r$ ,  $r^*$  a odchylky  $\Delta$ ,  $\Delta^*$ . Jestliže obě odchylky vyhovují, označí se bod  $T^*$  jako  $T_1$ , zvolí se nový bod  $T_2$ , kde nová hodnota  $x_2 > x_5$  bodu  $T^*$  a iteracní výpočet se opakuje. Nevyhovují-li odchylky  $\Delta$ ,  $\Delta^*$ , posune se bod  $T_2$  doleva, blíže k bodu  $T_1$ ; výpočet v zúženém intervalu se opakuje dříve popsaným způsobem.

Tak se postupně přiblíží bod  $T^*$  koncovému bodu definičního oboru kosinusoidy  $\langle 0; \pi/2 \rangle$ . Je-li vzdálenost bodu  $T^*$  od koncového bodu definičního oboru malá, ukončí se interpolace náhradní čarou I.

Výpočet bodů n. č. II vyžaduje při strojním zpracování větší přesnost zobrazení čísel než výpočet bodů n. č. I.

## 5.3 Aplikace odvozených rovnic

Iterační výpočet parametrů n. č. II nahrazujíc základní kosinusoidu byl ověřen na stroji ADT 4300. Ověřovací program je sestaven v jazyku Fortran 4 [7].

## 6. K VOLBĚ NÁHRADNÍ ČÁRY

Mezi uzlovými body  $T_1$ ,  $T_2$  se n. č. I (obr. 8) odchyluje od tvořící křivky pouze jednostranně. Hodnoty potřebné k výrobě modelu na NC-stroji však lze získat jednoduchým dosazováním do vzorců.

N. č. II (obr. 9) protíná tvořící přímku mezi uzlovými body  $T_1$ ,  $T^*$  a odchyluje se od ní nejprve na jednu stranu a za průsečíkem na druhou stranu. N. č. II se proto blíží teoretickému tvaru tvořící křivky lépe než n. č. I. Některé hodnoty pro NC-stroj je však nutné počítat iteracemi při dvojnásobné přesnosti zobrazení čísla než u n. č. I. Vyhovuje-li velikost jednostranných odchylek  $\Delta$  n. č. I od tvořící křivky, dává se přednost jednoduššímu výpočtu parametrů n. č. I.

## 7. ZÁVĚR

1. V článku jsou popsány některé způsoby zrovnoměrnění proudu vzdušiny v měřicím prostoru aerodynamického tunelu.
2. Jsou porovnány některé tvary dýz.
3. Je uvedena technologie výroby dýzy.
4. V článku jsou odvozeny rovnice náhradních čar I a II, kterými lze pro NC-stroje nahradit profil sinusové dýzy.
5. Jsou uvedeny aplikace odvozených rovnic.
6. Praktické využití sinusové dýzy je dokumentováno fotografiemi malého aerodynamického tunelu  $\varnothing 252/126$  a výrobou laminované dýzy pro větší tunel  $\varnothing 1260/630$ .

## LITERATURA

- [1] *Svoboda, Ot.*: Vyrovnaní rychlostního profilu proudu nestlačitelné viskozní tekutiny, Sborník VÚV, 1968.
- [2] *Ježek, J.*: Mechanika tekutin a termodynamika, 3. část, Sborník, Dům techniky ČsVTS Praha, 1983.
- [3] *Hřiběk, M.*: Proudové přístroje, SNTL, Praha 1981.
- [4] *Boswell, R. P.*: A Compact Dual Purpose Wind Tunnel, Aircraft Engineering, June 1970.
- [5] Program HP 67, Sinusová dýza, VZLÚ, Praha 1985.
- [6] *Svoboda, Z.*: Program Dysin, VÚV, Praha 1985.
- [7] *Svoboda, Z.*: Program Dykru, VÚV, Praha 1985.

## СИНУСОИДАЛЬНОЕ СОПЛО И ИЗГОТОВЛЕНИЕ МОДЕЛИ ДЛЯ НАСЛАДИВАНИЯ

3. Свобода, Инж. Э. Лиши, Инж. В. Рыбецки

Статья занимается кроме короткого введения в проблематику аэродинамических труб проектом сопла для конкретной аэродинамической трубы, диаметр которой 1260/630 мм. Проводится выбор формы сопла, математическая обработка образующей поверхности для обработки модели сопла на численно-контролируемой машине, описание конструкции сопла и документируется исполнение уменьшенной модели аэrodinamicheskoy trubyy v mashtabe 1 : 5.

## THE SINUSOIDAL NOZZLE AND THE PATTERN MAKING FOR LAMINATING

Z. Svoboda, Ing. E. Libiš, Ing. V. Rybecký

The article deals excepting the short introduction in the problems of wind tunnels with the nozzle design for the concrete wind tunnel with the diameter 1 260/630 mm. Selection of the shape of the nozzle is carried out together with the mathematical processing creating the curves of the surface for working of the model of the nozzle on a NC machine and with the description and the design of the nozzle and the realization of the reduced model of the wind tunnel in a scale 1 : 5 is presented there.

## SINUSDÜSE UND DIE HERSTELLUNG EINES MODELLS FÜR DIE LAMINIERUNG

Z. Svoboda, Ing. E. Libiš, Ing. V. Rybecký

Ausser der kurzen Einleitung in die Problematik der Windkanäle ist der Artikel dem Entwurf einer Düse für den konkreten Windkanal mit dem Durchschnitt 1 260/630 mm gewidmet. Man führt die Wahl einer Düsenform aus, man verarbeitet mathematisch die bildende Oberflächenkurve für die Bearbeitung eines Düsenmodells auf der NC-Maschine, man beschreibt eine Düsenkonstruktion und die Durchführung eines verkleinerten Windkanalmodells 1 : 5 wird dokumentiert.

## ÉJECTEUR SINUSOIDAL ET LA FABRICATION D'UN MODÈLE POUR LE LAMINAGE

Z. Svoboda, Ing. E. Libiš, Ing. V. Rybecký

En outre de l'introduction brève dans la problematique des tunnels aérodynamiques, l'article présenté est consacré au projet d'un éjecteur pour le tunnel aérodynamique concret 1 260/630 mm de diamètre. On fait le choix d'une forme de l'éjecteur, on élaboré mathématiquement une courbe formante de la surface pour le traitement d'un modèle de l'éjecteur sur la machine NC, on décrit la construction d'un éjecteur et la réalisation d'un modèle diminué du tunnel aérodynamique 1 : 5 est documenté.

---

### SBORNÍKY VZDUCHOTECHNICKÝCH VÝROBKŮ

Československé vzduchotechnické závody, koncern, vydávají sborníky vzduchotechnických výrobků. Obsahují podrobnější údaje o vybraných výrobcích vlastního výrobního programu, popř. některé významné výrobky jiných výrobců. Dosud vyšly tyto díly: ventilátory, odlučovače, filtry, výměníky tepla a výrobky pro pneumatickou dopravu. Koncem r. 1987 vyjde sborník jednotky pro dopravu a úpravu vzduchu a koncem r. 1988 sborník potrubí a příslušenství. Doba platnosti sborníků se předpokládá 3 roky, takže vždy po 3 letech má vyjít nové, opravené a doplněné vydání a tak v letošním roce vychází 2. vydání sborníku ventilátory.

Distribucí sborníků je pověřeno normalizační středisko VÚV. Objednávky zasílejte na adresu Výzkumný ústav vzduchotechniky, k. ú. o. 108 03 Praha 10, Malešice, Počernická 96, s. Šimková.

(Ku)

### SEZNAM VÝROBKŮ OBORU VZDUCHOTECHNIKA A SUŠÁRNY

Československé vzduchotechnické závody, koncern, vydávají každoročně Seznam výrobků oborů 429 a 431 (vzduchotechnika a sušárny). Seznam obsahuje všechny výrobky tétoho oboru vyráběné v ČSSR, s výjimkou výrobků atypických, výrobků určených jen pro jednoho odběratele, výrobků používaných ve vlastní spotrebě výrobce, dílů a příslušenství. Seznam je možno získat bezplatně v odbytových útvarech podniků koncernu ČSVZ: ZVVZ Milevsko, VZDUCHOTECHNIKA Nové Město n./V., JANKA-ZRL Praha a Liberecké vzduchotechnické závody.

(Ku)

# ZPĚTNÉ ZÍSKÁVÁNÍ TEPLA Z ODPADNÍHO VZDUCHU VÝMĚNÍKY SE SKLENĚNÝMI TRUBKAMI

ING. TILO NADLER

*Kombinát Luft und Kältetechnik, Drážďany*

Výměníky se skleněnými trubkami jsou řešeny stavebnicově. Ze základního modulu lze složit 25 sestav. Je popsáno konstrukční řešení modulu, je uveden optimální objemový průtok a tlaková ztráta. Součinitel využití tepla se pohybuje v rozmezí 0,5 až 0,7. Výměníky jsou vhodné zejména pro agresivní prostředí a snadno se čistí. V závěru je uvedeno výpočtové schéma a příklad výpočtu.

*Recenzoval: Ing. Jiří Šavrda, ČSe.*

V NDR se ke zpětnému získávání tepla používají různé jednotky a systémy a každý z nich má svou specifickou oblast použití.\*

Jsou-li potrubí venkovního a odpadního vzduchu uspořádána prostorově odděleně, může být uvažován jedině rekuperacní systém s kapalinovým okruhem. Je-li možné svést oba proudy vzduchu dohromady, lze použít výměníky regenerační, deskové nebo se skleněnými trubkami. S regeneračními výměníky je možno přitom dosáhnout nejvyššího účinku tepelné výměny, ovšem použití těchto výměníků do všechn zařízení není možné.

Odpadní vzduch s vysokým podílem mastných či lepivých složek vede k jejich rychlému usazování v kanálcích rotoru generátoru. U zařízení s obsahem agresivních a zejména korozivních průměsí v odpadním vzduchu je především napadena — zejména při podkročení teploty rosného bodu — skříň a nosná konstrukce akumulační hmoty regenerátoru, takže to vede k předčasnemu opotřebení přístroje.

U mnoha technologických zařízení je přesto předpokládat zvlášt vysokou efektivnost použití zařízení pro zpětné získávání tepla, protože teploty odpadního vzduchu jsou podstatně nad rozmezím teplot vnitřního vzduchu a příměsi škodlivin v odpadním vzduchu si vynucují provoz na venkovní vzduch.

Zejména jsou to:

— zařízení se silně korozivními škodlivinami (např. pro galvanizovny, mořírny, objekty chovu zvířat v zemědělství, laboratoře),

— zařízení s mastnými nebo lepkavými škodlivinami (např. pro zušlechtovny textilií, kuchyně, jatky),

— zařízení s vysokými zátěžemi vlhkosti (např. pro lázně, sladovny, prádelny, sušárny).

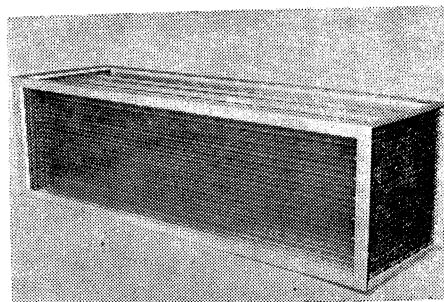
Speciálně pro takováto zařízení byl vyvinut

stavebnicový systém výměníků se skleněnými trubkami, který nyní vyrábí VEB Luft- und Wärmetechnik Görlitz.

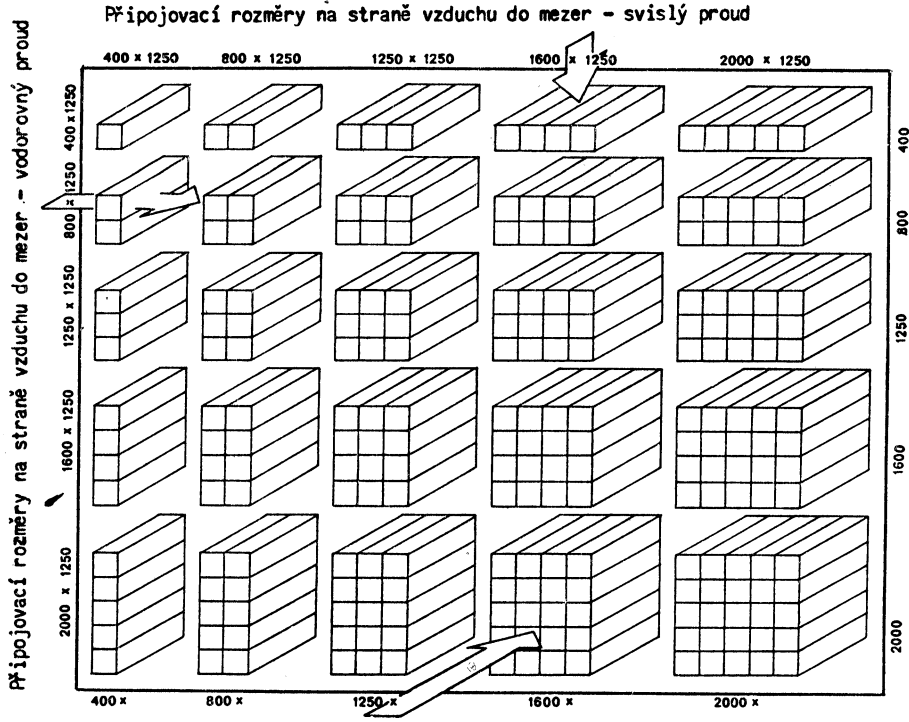
## Konstrukce výměníků tepla se skleněnými trubkami

Výměníky se skleněnými trubkami pracují jako rekuperátory na principu křížového proudu. Jsou koncipovány jako stavebnice a sestavují se z jednotlivých modulů (1 až 25) podle požadovaných objemových průtoků vzduchu.

Jednotlivý modul sestává z úhelníkového rámu o rozměrech  $400 \times 400 \times 1\ 330$  mm. V tomto rámu jsou uchyceny děrované gumové desky, do nichž jsou vsazeny trubky ze speciálního přístrojového skla o rozměrech  $12/0,8$  mm (obr. 1). Kombinace modulů je možná podle obr. 2. Proud venkovního vzduchu je třeba vést vodorovnými trubkami. Proud odpadního vzduchu může být veden — v závislosti na



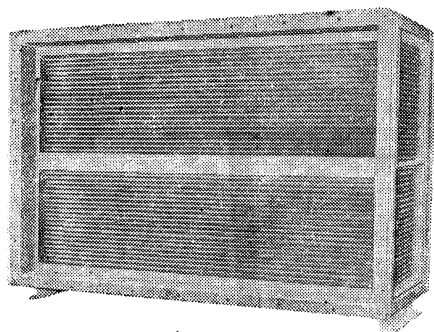
Obr. 1. Modul výměníku tepla se skleněnými trubkami



Obr. 2. Možnosti kombinace modulů do sestav podle objemových průtoků vzduchotechnického zařízení

stavebních podmínkách nebo vedení potrubí — bud vodorovně nebo svisle mezerami mezi trubkami. Sestava modulů se pro připojení potrubí uchytí do rámu a opatří nátereem (obr. 3).

Montáž výměníků tepla se skleněnými trubicemi se děje na místě použití. Moduly a díly rámu se dodávají jednotlivě. Moduly se sesadí na dodávaném základovém rámu a spojí s přírubami potrubí.



Obr. 3. Výměník tepla se skleněnými trubkami sestávající ze dvou modulů s vodorovným průtokem odpadního vzduchu (mezi trubkami)

#### Výkonové parametry

Na základě technických a ekonomických kritérií činí optimální rozsah objemových průtoků trubkami na jeden modul 0,3 až  $0,6 \text{ m}^3 \cdot \text{s}^{-1}$  a 0,6 až  $2 \text{ m}^3 \cdot \text{s}^{-1}$  mezi trubkami. Kombinací maximálně 25 modulů vychází horní hranice objemových průtoků  $15 \text{ m}^3 \cdot \text{s}^{-1}$  trubkami a  $10 \text{ m}^3 \cdot \text{s}^{-1}$  mezi trubkami. Tlaková ztráta na straně trubek je přitom 200 až 450 Pa a při průtoku mezi trubkami 100 až 1 000 Pa. Pro venkovní vzduch lze dosáhnout účinku tepelné výměny  $\Phi$  v rozmezí od 0,5 do 0,7.

#### Provozní podmínky a nároky na údržbu

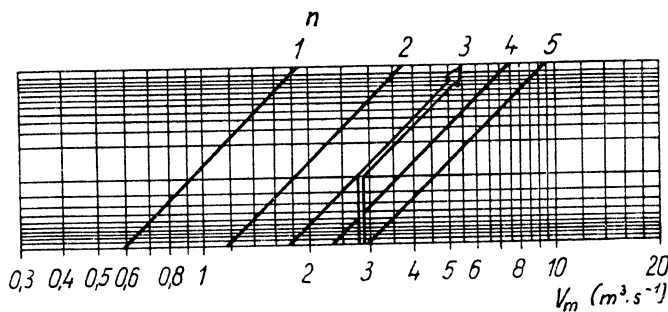
Nedá-li se vyložit kondenzace vodní páry ve výměníku, musí být venkovní vzduch veden trubkami. Při kondenzaci v trubkách a teplotě pod bodem mrazu dochází totiž k tvorbě ledu a jejich zničení. Při tvorbě ledu mezi trubkami nedochází k poškození.

Je-li vzduch mezi trubkami veden vodorovně, je výměník opatřen nátrubkem pro odvod kondenzátu. Je-li vzduch mezi trubkami veden svisle, musí být odvod kondenzátu zajištěn u připojených částí zařízení. Mezní teplotu pro počátek zamrzání lze získat z obr. 11. Umožní-li provoz zařízení v těchto

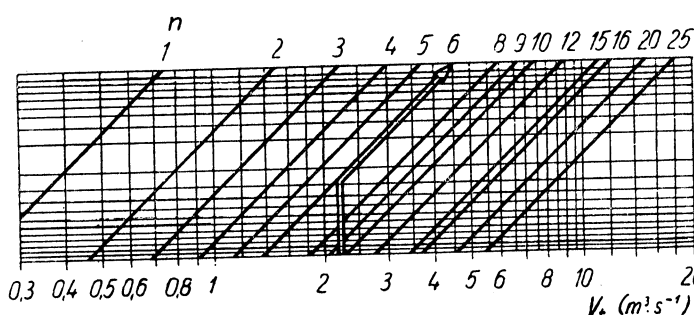
periodách, které v průměrném ročním průběhu teploty trvají většinou jen velmi krátkou dobu, krátkodobé přerušení provozu k odtání, není třeba provádět opatření proti zamrzání. Není lito z technologických nebo hygienických důvodů možné, je třeba protinárazovou ochranu uvažovat. Lze ji provést např. obtokem vzduchu nebo ohříváním venkovního vzduchu.

Při pečlivém vzájemném utěsnění modulů i vůči rámu při montáži je průnik netěsnostmi mezi venkovním a odpadním vzdudem uvnitř výměníku mimořádně malý. Velikost průniku  $V_p$  závisí na rozdílu tlaků  $\Delta p$  mezi oběma proudy vzduchu (obr. 12).

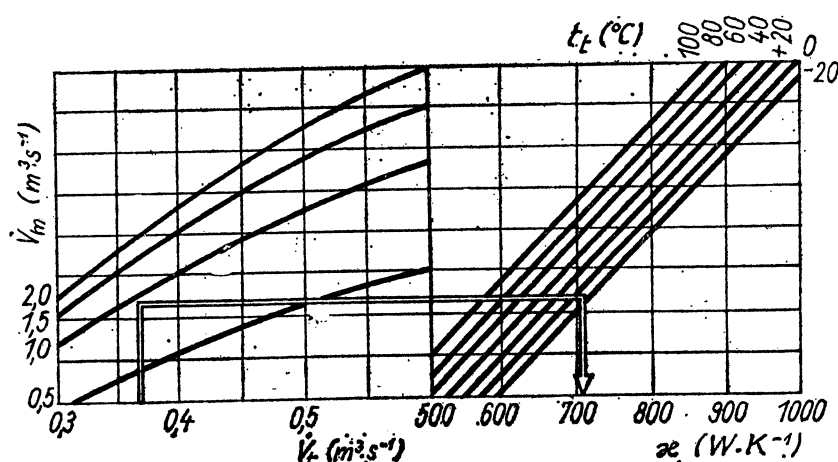
Nárok na údržbu výměníků lze považovat za relativně malý. Je v podstatě omezen na čištění a kontrolu těsnosti (prasklin). Intervaly



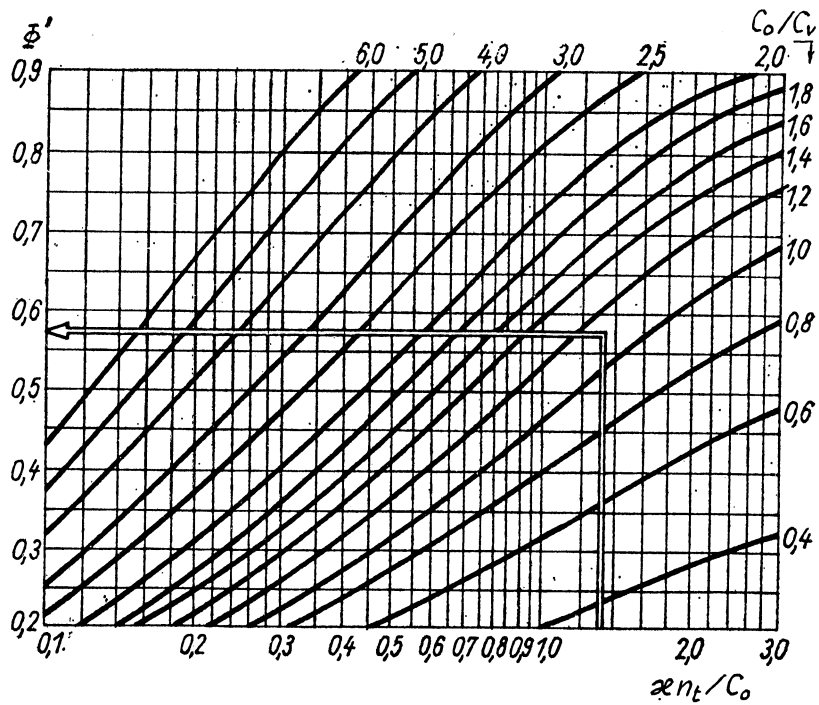
Obr. 4. Diagram pro výběr počtu modulů na straně vzduchu proudícího mezi trubkami



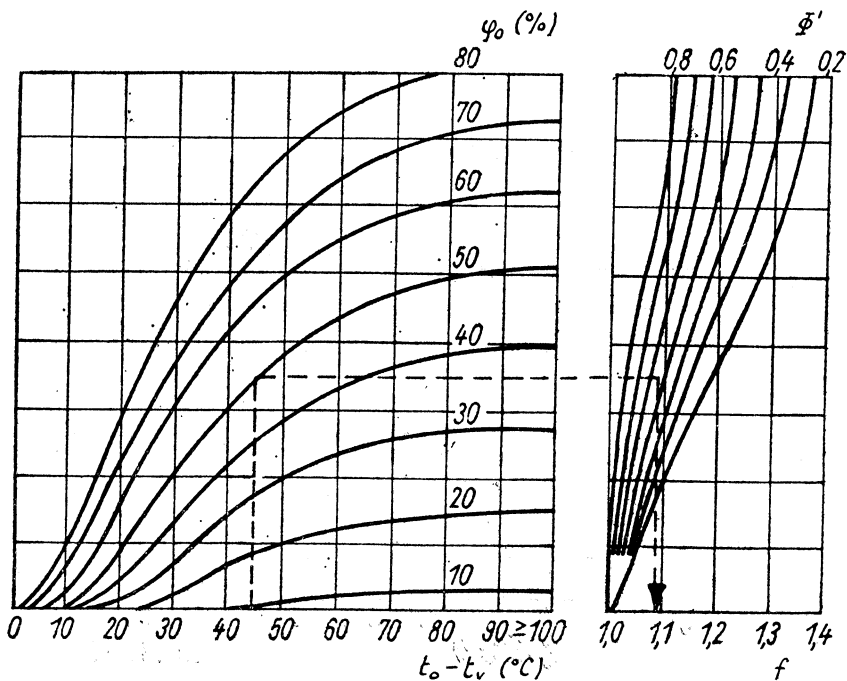
Obr. 5. Diagram pro volbu počtu modulů na straně vzduchu proudícího v trubkách



Obr. 6. Měrný tepelný tok výměníku tepla se skleněnými trubkami



Obr. 7. Účinek tepelné výměny výměníku se skleněnými trubicemi



Obr. 8. Korekční součinitel účinku tepelné výměny zohledňující vlhkost odpadního vzduchu

čištění jsou dány zátěží škodlivinami v odpadním vzduchu a související zvýšenou tlakovou ztrátou na straně odpadního vzduchu. Čištění lze provádět proudem vody nebo páry, nejlépe ze strany vstupu odpadního vzduchu. Při silněji lpících nečistotách je možno toto podpořit mechanickým čištěním (např. kartáče). Čištění modulů lze zpravidla provádět v zabudovaném stavu. Demontáž modulů je možná po částečném uvolnění připojení potrubí a čtyř upínacích šroubů rámu výměníku.

#### Výpočtové schéma a příklad dimenzování

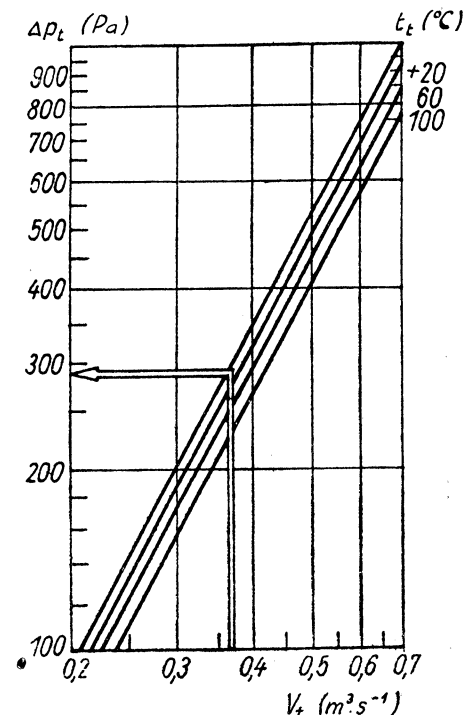
Určení velikosti a výkonových dat pro dané parametry zařízení se děje na základě projektových podkladů výrobce. Stanovení velikosti je ukázáno na příkladu:

Jako vstupní veličiny předpokládejme:

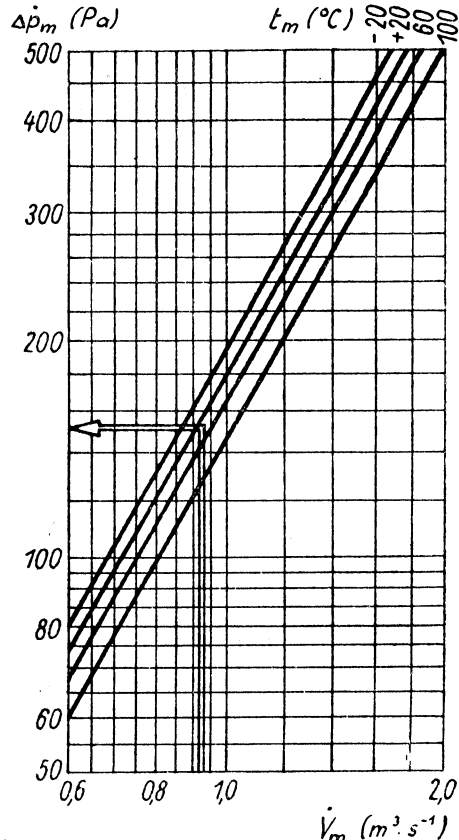
$$\begin{aligned} V_0 &= 2,8 \text{ m}^3 \cdot \text{s}^{-1}, & V_v &= 2,2 \text{ m}^3 \cdot \text{s}^{-1} \\ C_0 &= 3\,192 \text{ W} \cdot \text{K}^{-1}, & C_v &= 2\,970 \text{ W} \cdot \text{K}^{-1} \\ t_0 &= 30^\circ\text{C}, & t_v &= 15^\circ\text{C} \\ \varphi_0 &= 50\% \end{aligned}$$

Potřebný počet modulů n pro oba objemové průtoky se určí z obr. 4 a 5. Počet je třeba tak zvolit, aby byla možná některá ze sestav na obr. 2. Vychází:

na straně trubek  $n_t = 6$  modulů,  
na straně mezi trubkami  $n_m = 3$  moduly.



Obr. 9. Tlaková ztráta na straně (venkovního) vzduchu proudícího v trubkách ( $t_t = t_v$ )



Obr. 10. Tlaková ztráta na straně (odpadního) vzduchu proudícího mezi trubkami pro 1 modní ( $t_m = t_0$ )

Po zvolení počtu modulů se vypočtou objemové průtoky, připadající na jeden modul:

$$\dot{V}_m = \frac{2,8}{3} = 0,93 \text{ m}^3 \cdot \text{s}^{-1}$$

$$\dot{V}_t = \frac{2,2}{6} = 0,37 \text{ m}^3 \cdot \text{s}^{-1}.$$

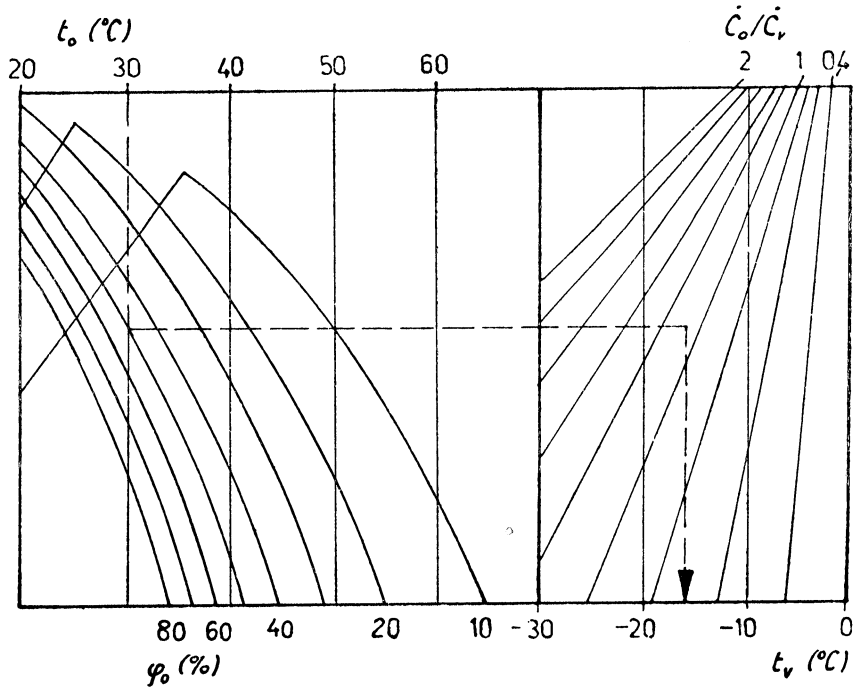
S ohledem na teplotu vzduchu v trubkách  $t_t$ , vychází z obr. 6 měrný tepelný tok  $\chi = 710 \text{ W} \cdot \text{K}^{-1}$ .

S poměrem tepelných kapacit průtoku

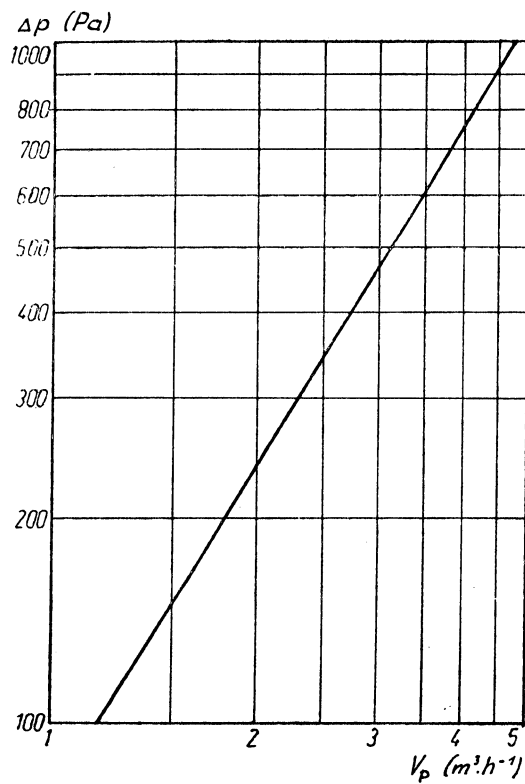
$$\frac{C_0}{C_v} = 1,07 \text{ a s hodnotou } \frac{\chi \cdot n}{C_0} = \frac{710 \cdot 6}{3\,192} = 1,33$$

lze z obr. 7 vyčíst účinek tepelné výměny  $\Phi' = 0,57$ .

Vysoká vlhkost odpadního vzduchu vede v důsledku uvolňování kondenzačního tepla k jeho zvýšení. Toto zvýšení se určí z obr. 8 pomocí korekčního součinitele  $f = 1,09$ . Tím vychází účinnost tepelné výměny  $\Phi_v = \Phi' \cdot f = 0,62$ . Za uvedených podmínek může být tedy 62 % požadovaného topného



Obr. 11. Téplota zamrzání výměníků se skleněnými trubkami, jestliže  $t_t = t_v$



Obr. 12. Velikost průniku vzduchu uvnitř výměníku v závislosti na rozdílu tlaků v trubkách a mezi trubkami

výkonu získáno zpět prostřednictvím skleněného výměníku tepla.

Tlaková ztráta na straně trubek (venkovního vzduchu) činí podle obr. 9  $\Delta p_t = 290$  Pa. Tlaková ztráta mezi trubkami se zjistí, jestliže hodnotu z obr. 10 násobíme počtem modulů zapojených za sebou, takže  $\Delta p_m = 150 \cdot 2 = 300$  Pa.

Teplota namrzání leží (podle obr. 11) pro dané provozní parametry při  $-16^{\circ}\text{C}$ . Výměník může být tedy provozován až do této teploty venkovního vzduchu, aniž by došlo k jeho zamrznutí.

#### Seznam označení

$C$  = tepelná kapacita průtoku  $\text{W} \cdot \text{K}^{-1}$

$f$  = korekční součinitel

$n$  = počet modulů

$t$  = teplota vzduchu  $^{\circ}\text{C}$

$V$  = celkový objemový průtok  $\text{m}^3 \cdot \text{s}^{-1}$

$\dot{V}$  = objemový průtok na 1 modul  $\text{m}^3 \cdot \text{s}^{-1}$

$\Delta p$  = tlaková ztráta Pa

$\Phi'$  = účinek tepelné výměny u suchého výměníku

$\Phi$  = účinek tepelné výměny s korekcí na kondenzaci

$\varphi$  = relativní vlhkost vzduchu %

$\chi$  = měrný tepelný tok  $\text{W} \cdot \text{K}^{-1}$

#### Indexy

v = pro venkovní vzduch

o = pro odpadní vzduch

t = při proudění v trubkách

m = při proudění mezi trubkami

Утилизация тепловой энергии удалаемого воздуха с помощью теплообменников с стеклянными трубками

иж. Тило Надлер

теплообменники с стеклянными трубками конструированы агрегатно. Из основного модуля можно составить 25 комплектов. Описывается конструкционное решение модуля, приводятся оптимальный объемный расход и потеря давления. Коэффициенты использования тепла находятся в диапазоне 0,5 до 0,7. Теплообменники удобны главным образом для агрессивной среды и легко очищаются. В заключение приводится схема расчета и пример расчета.

Heat recovery from the extract air by heat exchangers with glass tubes

Ing. Tilo Nadler

Heat exchangers with glass tubes have unit-built construction. From the basic modulus it is possible to put together 25 modifications. The constructional design of the modulus is described and the optimum volume flow and the loss in pressure are presented there. The heat utilization coefficient is somewhere between 0,5 to 0,7. The exchangers are suitable especially for the aggressive medium and they are easy cleanable. The calculation diagram and the example of the calculation are presented in the conclusion of the article.

Wärmerückgewinnung aus der Abluft mit Hilfe der Wärmeüberträger mit den Glasrohren

Ing. Tilo Nadler

Die Wärmeüberträger mit den Glasrohren werden baukastenbauweise gelöst. Aus einem Grundmodul kann man 25 Kombinationen zusammensetzen. Die Konstruktionslösung eines Moduls wird beschrieben, der Optimalvolumendurchfluss und der Druckverlust werden angeführt. Der Koeffizient der Wärmeausnutzung bewegt sich im Bereich von 0,5 bis 0,7. Die Überträger sind zweckmäßig für das aggressive Milieu und ihre Reinigung ist einfach. Zum Schluss werden das Berechnungsschema und -beispiel angeführt.

Récupération de chaleur de l'air résiduaire à l'aide des échangeurs avec les tubes de verre

Ing. Tilo Nadler

Les échangeurs avec les tubes de verre sont solutionnés modulairement. On peut composer 25 combinaisons d'un module fondamental. On décrit la solution de construction d'un module, on introduit le débit de volume optimal et la perte de charge. Le coefficient de l'utilisation de la chaleur se meut dans la région de 0,5 jusqu'à 0,7. Les échangeurs sont convenables pour le milieu agressif surtout et leur nettoyage est simple. En conclusion, on introduit le schéma de calcul et l'exemple de calcul.

#### Chladivo vyhřívá podlahu

Jedna z velkých novinek výstavy HVAC & R'86 v Tokiu bylo podlahové vytápění s chladivem jako teplonosným médiem ve spojení s tepelným čerpadlem vzduch/vzduch. Téměř všechni významní japonští výrobci klimatizačních zařízení představili alespoň

jeden prototyp tohoto podlahového vytápění, které zatím působilo exotickým dojemem. O účinnosti takového systému nemohli zatím Japonci sdělit nic bližšího.

CCI 4/86

(Ku)

## ● Čisté prostory pro elektroniku

Výroba integrovaných obvodů stupňuje neustále své nároky na čistotu výrobního prostředí. Rozněry čipů v posledních letech se čím dálé tím více zmenšují, přičemž jejich informační hustota vzrůstá. Částice prachu větší než  $0,2 \mu\text{m}$  vedou při výrobě již ke zmetkům.

Čisté prostory pro výrobu integrovaných obvodů možno dělit do dvou kategorií:

- čisté místnosti s laminárním vertikálním prouděním,
- čisté pracovní stoly.

Čisté místnosti dosahují půdorysné plochy až  $1\,000 \text{ m}^2$  a výroba i personál jsou uvnitř. U čistých pracovních stolů jsou obsluha a výroba od sebe odděleny. Stoly dosahují někdy délky až  $20 \text{ m}$  a pracovníci stojí vně, zatímco výrobní proces probíhá uvnitř. Proto tzv. superčisté prostory jsou možné jen u čistých pracovních stolů.

U čistých místností je nebezpečí, že v důsledku různých zařízení vznikají v nich turbulence, které strhávají prach, jehož zdrojem je obsluhující personál. Čistota takového prostoru za optimálních podmínek dosahuje hodnoty 50 až 100 (= čisticí velikosti do  $0,5 \mu\text{m}$  v krychlové stopě). U čistých pracovních stolů se čistý prostor vytváří přímo na pracovní ploše, čímž je výroba daleko méně ohrožena od obsluhujícího personálu.

Zatímco v čisté místnosti jsou výměna proudění a přeskupování výrobních zařízení snadné, takovéto možnosti u čistých pracovních stolů jsou omezené. Objemové průtoky jsou u čistých pracovních stolů daleko menší a stoly jsou tedy provozně hospodárnější.

U čistých místností probíhá celý proces bez prostorového oddělení, a tím je větší nebezpečí poškození vybavení od agresivních látek, které se mohou šířit po celé místnosti. U čistých pracovních stolů se jednotlivé operace provádějí v oddělených komorách a šíření agresivních látek je zde potlačeno udržováním rozdílných tlaků.

U čistých místností je dále nebezpečí, že podlaha, kterou se vzduch odvádí a která má malou nosnost, sesadno dostane do vibrací. U čistých pracovních stolů se zpravidla odvod vzduchu dělá stropem místnosti, v níž se nachází, a podlahu je proto možno lépe přizpůsobit okolnostem.

A konečně investiční náklady na čisté místnosti jsou vyšší než na čisté pracovní stoly. Objekty s výrobou integrovaných obvodů mají zpravidla velkou výšku výrobních místností, aby bylo možno do nich instalovat všechny potřebné rozvody.

Čisté místnosti lze rozdělit ve dvě zóny — na čistou zónu a na ochrannou zónu, která má chránit čistou zónu proti vnikání nečistot.

V ochranné zóně, která tvoří současně obslužnou, se udržuje třída čistoty 100, k čemuž je zapotřebí asi 50násobná výměna vzduchu za hodinu. Pro výrobní zónu je předpokladem třída čistoty 10. Vzduchotechnické zařízení má dále za úkol odvést teplo, které vydává technologické vybavení. Aby byla snazší regulace teploty, je učelným u větších zdrojů, jako jsou např. oxidační písky, přidat samostatné zařízení. V oddělení, kde se provádí leptání, se pracuje s čistými pracovními stoly. Vzduch v jejich prostoru proudí rychlostí  $0,45 \text{ m/s}$  a dosahuje se zde za normálních pracovních podmínek třídy čistoty 10.

V závislosti na pracovních podmínkách se musí od jednotlivých čistých stolů odvádět různé tepelné zátěže. Při fotolitografii a procesu odpařování se často vnitřní vybavení vyměnuje za nově vyvinuté. Proto musí být místnost řešena co nejvíce flexibilní, což je možné jen u čistých místností s vertikálním laminárním prouděním. Čistota tohoto prostoru se žádá ve třídě 10, teplota z technických důvodů se musí pohybovat v toleranci  $\pm 1^\circ\text{C}$ . Fotolitografie je srdcem výroby integrovaných obvodů a zde se požaduje dokonce stabilita teploty v rozmezí  $\pm 0,1^\circ\text{C}$  a třída čistoty 5, což vyžaduje používání nejúčinnějších aerosolových (ULPA) filtrů.

Při výrobě integrovaných obvodů postačí ve výrobní budově udržovat tři různé hladiny tlaků. Ty odpovídají čisté zóně, ochranné zóně a nečisté zóně. I když v čisté zóně se podle charakteru výroby vyžaduje čistota třídy 5 až 100, nevytvářejí se tlakové rozdíly mezi jednotlivými pracovišti. Pracoviště s různými požadavky na třídy čistoty v jedné čisté místnosti se řeší zpravidla použitím čistých kabin (boxů) s vertikálním laminárním prouděním, v nichž je udržována vyšší třída čistoty (nižší číslo) a užší tolerance teplot, protože proudění vzduchu v nich zabraňuje pronikání vzduchu z okolí.

Při projektování čistých prostorů je třeba brát na zřetel řadu faktorů, především pak jak a v které zóně řešit proudění vzduchu a jaké použít aerosolové filtry.

## VENTILÁTOR SE ZPĚTNÝM ZÍSKÁVÁNÍM TEPLA

Tento ventilátor ve své podstatě není novinkou, protože jde o kombinaci tzv. kapilárního ventilátoru s rotačním regeneračním výměníkem. Jeho plášt tvoří spirální skřín se dvěma diametrálně protilehlými výfukovými otvory, někdy i s obostranným vstupem (obr. 1). Veneč oběžného kola je ze speciální pěnové plastické hmoty, která je za provozu nehořlavá, v klidu jen těžce hořlavá a samozhášivá. Veneč současně působí i jako filtr třídy A2. Pohon ventilátoru se děje buď přímo elektromotorem nebo prostřednictvím řemenového převodu. Teplou stranu od studené odděluje uvnitř kola pevná (nerotující) přepážka, jejíž roviná je kolmá na směr obou

proudů vyfukovaného vzduchu, tj. rovnoběžná s rovinou výfukových otvorů.

Oběžné kolo ventilátoru vytváří na straně venkovního a odsávaného vzduchu podtlak, na straně přívaděného a odpadního vzduchu přetlak. V zimě se tak ve ventilátoru předává teplo z odpadního vzduchu venkovnímu a v létě může být teplo z klimatizovaných prostorů ventilátorem odváděno.

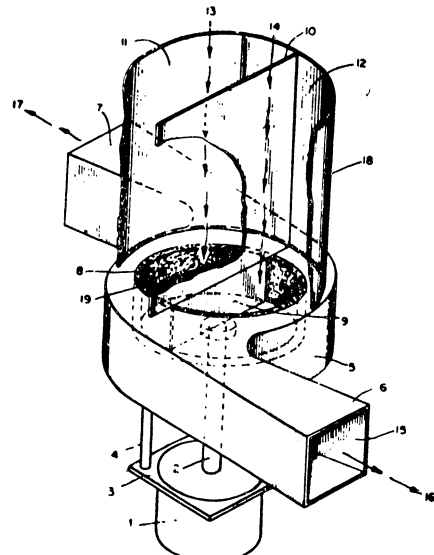
Pro lepší představu je třeba uvést ještě několik skutečností: Účinnost tepelné výměny není závislá na teplotním rozdílu. Nedochází-li k překročení rosného bodu, získá se zpět 48 % citelného a 40 % latentního tepla. Při překročení rosného bodu se zkondenzovaná pára vyloučí vlivem odstředivé síly. Přitom uvolněné teplo se předá přívaděnému vzduchu jako citelné. Entalpická účinnost činí v obou případech 44 až 46 %.

V kombinaci s přídavnými filtry a ohřívací nebo s jednotkovými přístroji se dájí sestavit hodnotná zařízení na úsporu energie. Při hledání materiálu věnce oběžného kola bylo cílem nalézt vhodnou látku, která by rychle přijímal a vydávala teplo, protože doba kontaktu je vždy velmi krátká. Současně musela být vhodně pórzní pro potřeby kapilárního ventilátoru. Ztráty mísení obou vzduchů při stejném tlakovém ztrátě na straně přívaděného i odváděného vzduchu jsou pod 5 %. V případě, že ventilátor pracuje současně i jako předfiltr (nejsou předrazeny účinné filtry), je nutné pravidelně čistění jeho oběžného kola. Největší předností tohoto ventilátoru je úspora místa, protože v sobě zahrnuje dva ventilátory, výměník pro zpětné získávání tepla a popřípadě i předfiltr.

Výrobou těchto ventilátorů se zabývá rakouská firma Josef Friedl & Co. v různých provedeních a velikostech pro zabudování do oken, do různých jednotek i pro samostatnou montáž. Největší ventilátory dodávají až  $2 \times 16\,000 \text{ m}^3/\text{h}$  objemového průtoku vzduchu.

kkt 9/85

Kubiček



Obr. 1. Ventilátor se zpětným získáváním tepla

## SYSTÉMY KE KONTROLE FUNKCE ZAŘÍZENÍ S RECIRKULACÍ VZDUCHU

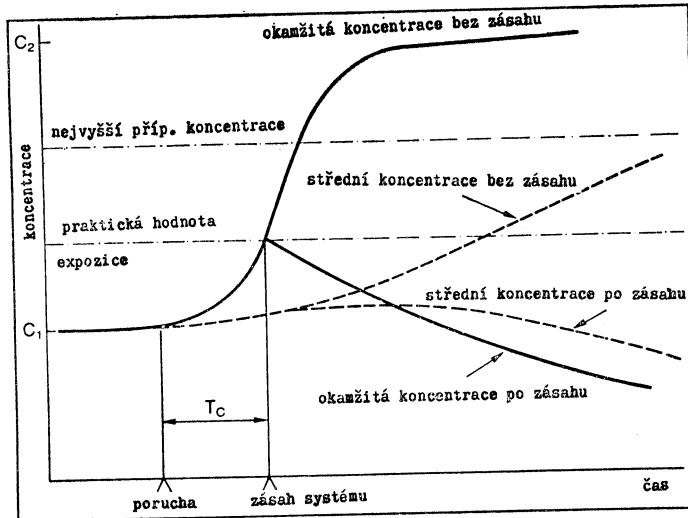
Pracovní skupina složená z odborníků CNAM (Francouzské státní nemocenské po-kladny) ve spolupráci s INRS (Státním výzkumným ústavem bezpečnosti práce) přijala dokument č. 1394 zveřejněný v č. 109 (4/1982) Dokumentačních sešitů (Cahiers de notes documentaires) na téma asanace vzduchu na pracovištích. V uvedeném dokumentu si zaslouží pozornost stat pojednávající o kontrole funkce zařízení s recirkulací vzduchu odváděného z pracovišť s vývinem škodlivin a vyčištěného v odlučovači, a proto přinášíme její podstatný výtah.

## 1. Automatické a ruční systémy

Automatické systémy, kde kontrola se děje bez zásahu obsluhujícího, je kontinuální nebo havarijní, tj. kdy automatika je uvedena v činnost v případě poruchy recirkulačního systému.

Ruční systémy vyžadují v určité míře zásahy obsluhy (odebírání vzorků, provádění analýzy, odečítání měření a interpretaci výsledků).

Systém kontroly spočívá na postupu činností: odběr—analýza—vyhodnocení—poplach



Obr. 1. Průběh koncentrací bez zásahu a po zásahu kontrolního systému

Měřicí přístroj udávající nesprávné výsledky může dobře odpovidat ručnímu systému ovládání, když interpretaci výsledků neprovádí odborník.

Při volbě kontrolního systému je velmi důležitou veličinou kritický čas pro zásah. Předpokládejme, že určitá koncentrace  $C_1$  v jednom bodě pracovní oblasti je stálá a v čase  $t = 0$  dojde k závadě na odlučovači, pak koncentrace v daném bodě vzroste až na hodnotu  $C_2$  přibližně podle vztahu

$$C(t) = C_1 + (C_2 - C_1)(1 - e^{-t/t_0}),$$

kde  $t_0$  je časová veličina charakterizující rychlosť s níž koncentrace škodlivin narůstá a je funkcí řešení větracího zařízení (tj. celkového větrání + místního odsávání + recirkulace). Kritický čas pro zásah je časový interval (vyjdeme-li z  $t = 0$ ), na jehož konci okamžitá koncentrace  $C(t)$  nebo střední koncentrace dosáhne určité mezní hodnoty. Po tomto kritickém čase, kdy je vyhlášen poplach, by personál riskoval, že by byl vystaven nebezpečí poškození zdraví v důsledku překročení mezních koncentrací toxicických látek.

V příkladu na obr. 1 je zobrazen průběh koncentrací škodlivin v pracovním ovzduší při kontinuální kontrole vzduchu vyfukovaného z odlučovače, když došlo k jeho přepnutí do venkovního ovzduší v důsledku poruchy odlučovače. Přitom střední koncentrace v časovém průběhu nikdy nepřekročí hodnotu praktické hodnoty expozice. Je třeba mít vždy na zřeteli, aby kritický čas pro zásah byl jen tak dlouhý, aby nevyvolal zásah, při němž by okamžitá hodnota koncentrace škodlivin v pracovním ovzduší překročila praktickou hodnotu expozice, nebo aby střední hodnota koncentrace v časovém průběhu nejvýše dosáhla tuči hodnotu. Zásadně by koncentrace škodlivin neměla dosáhnout hodnoty nejvyšších přípustných koncentrací (NPK).

Mezní hodnota, kterou nazýváme praktickou hodnotou expozice, musí být vždy menší než hodnota NPK a je rovna  $NPK/n$ , kde  $n$  je větší než 1, aby byl dostatečný čas k zásahu a nedošlo ke zbytečnému překročení NPK v případě poruchy. Kritický čas k zásahu by měl být stanoven na základě studie funkce zařízení.

Automatický systém kontroly by pak měl uspokojivě splňovat podmínu: součet časových intervalů mezi odběrem vzorků a okamžikem spuštění zásahu má být menší než kritický čas zásahu.

Volba ručního systému, protože je možný omyl ze strany člověka, se nedoporučuje než za splnění těchto podmínek:

— lze-li splnit výše uvedenou podmínu o časovém intervalu mezi odběrem vzorků a spuštěním zásahu,

— kritický čas k zásahu je v každém případě několik hodin,

— produkované škodliviny nejsou toxicke,

— jsou-li škodlivinami plyny nebo páry netoxicke, ale dusivé vlivem nedostatku kyslíku (např.  $CO_2$ ), pak by stačil detektor spalin nebo analyzátor nedostatku kyslíku. V tomto případě však nelze použít žádného zařízení k čistění vzduchu a od recirkulace by mělo být upuštěno.

Jestliže jedna z uvedených podmínek není splněna a je-li přijat systém ruční kontroly, mělo by být zajištěno:

— sestavení písemného protokolu o dohledu a určena odpovědnost vybraného pracovníka,

— informování všech zaměstnanců v dílně, kde je recirkulace instalována o možném ohrožení v případě poruchy zařízení a určena opatření v případě ohrožení (evakuace, dohled na udržování dobrého stavu zařízení včetně výfuku ven apod.),

— písemné zaznamenávání všech pozorová-

ní a jejich pravidelné předkládání útvaru, který odpovídá za bezpečnost.

## 2. Kontrola pracovního ovzduší a vzduchu na výstupu z odlučovače

Kontrola pracovního ovzduší má řadu nevýhod:

— systém kontroly by měl brát zřetel na možné výrony škodlivin za normálních provozních podmínek dříve, než se případně vyhlásí poplach,

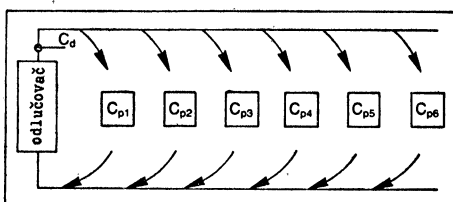
— tento systém kontroly by měl mít delší čas k zásahu než systém instalovaný v potrubí na výstupu z odlučovače.

Aby mohl být systém kontroly pracovního ovzduší navržen, musejí být respektovány následující podmínky, ledaže žádná z přítomných škodlivin není toxiccká:

— jsou známy úniky koncentrací škodlivin za normálního provozu,

— hodnoty špiček koncentrací u systému, který nepracuje soustavně, mají být nižší než hodnoty odpovídající kritickému času pro zásah určenému na základě analýzy,

— čidel snímajících kvalitu pracovního ovzduší (koncentrace  $C_p$  — obr. 2) musí být



Obr. 2. Odběrová místa koncentrací škodlivin ( $C_{p1}$  až  $C_{p6}$  — koncentrace ovzduší na jednotlivých pracovištích,  
 $C_d$  — koncentrace na výstupu z odlučovače)

více a musí být umístěna na „citlivých“ místech, zjištěných např. pomocí měřicích přístrojů používaných při větrání, tj. na takových místech, o nichž se předpokládá, že budou nejvíce postižena při poruše.

Kontrola koncentrací na výstupu z odlučovače ( $C_d$  — obr. 2) je výhodná, protože není potřeba většího počtu odběrových míst (nižší investiční náklady). Na druhé straně takový systém kontroly vyžaduje kromě zařízení na měření koncentrací také zařízení na měření objemového průtoku vystupujícího vzduchu, neboť jeho pokles např. v důsledku zanesení filtračních členů vyvolá pokles účinnosti záchrany škodlivin u zdroje a tím zvýšení koncentrace v pracovním ovzduší, při poklesu koncentrace škodlivin ve vycíšteném vzduchu.

Tento systém kontroly se doporučuje, mohou-li jím být podchyceny všechny závady systému jak při záchrance, tak i při odlučování (průtoky, koncentrace). Koncentrace, při níž má dojít k zásahu, má být stanovena po před-

chozí studii ve vztahu ke koncentracím v pracovním ovzduší.

## 3. Specifické a nespecifické systémy

Specifické systémy poskytují zpravidla více informací a mohou pomáhat v diagnózách při poruše, ale vyžadují více odbornosti k analýze výsledků, zejména v případě směsi.

Mohou být použity, jestliže

— jsou identifikovány všechny škodliviny,

— každá škodlivina, jejíž hladina koncentrace by mohla překročit přijatelnou hodnotu, je trvale kontrolovaná,

— překročení přípustné hranice (meze) vyvolá rychlý zásah.

Nespecifické systémy možno použít, jestliže

— fyzikální vlastnosti pracovního ovzduší (teplotná vodivost, elektrický odpor aj.) se výrazně mění se změnou koncentrace každé škodliviny,

— při dosažení stanovené bezpečné přípustné koncentrace dojde skutečně k vyvolání poplachu.

K tomu třeba dodat, že každý systém dohledu a kontroly kvality vzduchu by měl být zařazen do jedné z předcházejících kategorií a přitom vycházet z úvahy o jeho umístění, principu funkce a stupni automatizace. V každém případě by se při volbě mezi různými systémy měla také brát do úvahy kritéria snadnosti obsluhy, dostupnosti materiálu (nebo náhradních dílů) a ceny.

## 4. Reakce na poruchy systému recirkulace

Jak jsme již uvedli, rychlosť, s níž jsou vyvolány zásahy v případě odchylek od požadované funkce, by měla hrát hlavní roli mezi požadovanými vlastnostmi systému kontroly. Ve skutečnosti se ukazuje nutným vypracovat plán zásahů v návaznosti na koncepci systému recirkulace vzduchu.

### Výfuk vzduchu ven

Při navrhování recirkulace by se měla vždy uvažovat instalace zařízení, které umožní odvěst ven odpadní vzduch, jehož vlastnosti neodpovídají zadávacím podmínkám. Přepnutí by se mělo dít buď automaticky, nebo ručně, např. na základě vyvolání akustického poplachu. Automatické systémy mají přinejmenším dvě výhody:

— je vyloučeno nebezpečí, že v důsledku okamžité nepřítomnosti pověřené osoby nedojde k zásahu,

— zásah se uskuteční rychle.

U toxicckých škodlivin je automatický systém nutný.

### Zamezení styku s nebezpečnými koncentracemi škodlivin

Je třeba uvažovat, podle jedovatosti škodlivin, popř. i evakuaci ohrožených míst.

Kubiček

## LOPATKOVÝ ANEMOMETR LCA 6000 FIRMY AIRFLOW

Anemometr (obr. 1.) má libovolně volitelný integrační čas a tím i možnost odečítat střední rychlosť za jakoukoliv dobu měření. Okamžité hodnoty rychlosí jsou udávány jako střední

hodnoty za tři sekundy. Tyto krátkodobé údaje tvoří mezihodnoty pro delší integrační časy.

Bašus



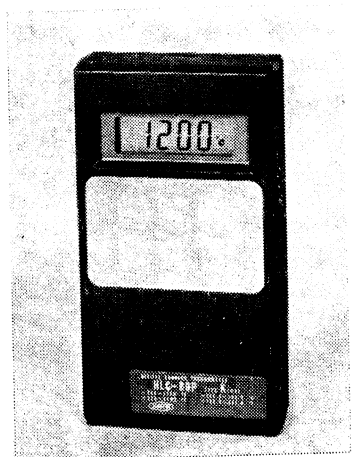
Obr. 1. Lopatkový anemometr LCA 6000

## DOTYKOVÉ TEPLOMĚRY FIRMY AIRFLOW

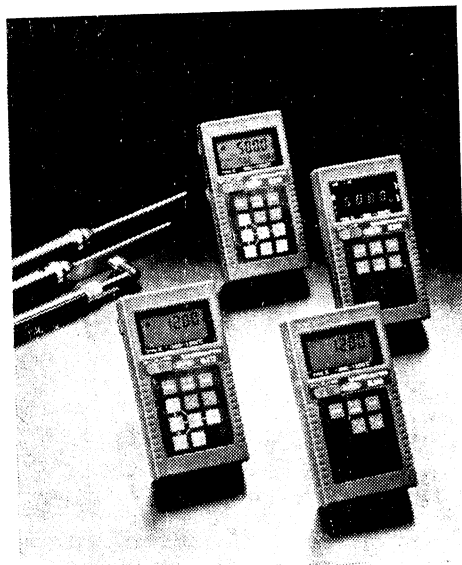
Firma AIRFLOW nabízí Computer-Thermometer HLC-80 P (obr. 1.). Vysoká spolehlivost naměřených povrchových teplot je u tohoto přístroje dosažena kontinuálním automatickým cejchováním jak nulové (AUTO-ZERO), tak konečné hodnoty (AUTO-FULL SCALE) mikroprocesorem. Teploty se odečítají s přesností 0,1 °C nebo 1 °C. Fóliový tláčítkový systém poskytuje opti-

mální ochranu před prachem a vlhkostí. Přístroj hlásí poruchu čidla a nepřijatelný pokles napětí baterie. Firma dodává bohatý výběr čidel k měření povrchových teplot. Tato velice rychle nabíhající čidla (nabíhají do dvou sekund) snižují nežádoucí odvod tepla vedením. Čtyři baterie postačí ke 100 hodinám provozu.

Přístroj HLC-80 P se v inovované formě



Obr. 1. Teploměr HLC-80 P



Obr. 2. Teploměr UNITHERM

nabízí pod názvem UNITHERM-Thermometer, a to zatím (v roce 1986) ve dvou verzích HL 500 a HL 600 (obr. 2.). Tyto inovované přístroje lze využít i ke kontinuální kontrole teploty, spojené s poplachovou signalizací a mohou sloužit i jako základní přístroje

k záznamu dat. Pro rok 1987 jsou připraveny další dva přístroje této řady.

Všechny popisované typy jsou určeny k měření teplot v rozsahu —200 až 1200 °C.

Bašus

## ELEKTRONICKÝ MIKROMANOMETR EDM 2500 M

Firma AIRFLOW Lufttechnik GmbH nabízí mikromanometr pracující na kapacitním principu. Změna tlaku působí na membránový převodník energie, který předává analógový signál elektronické části přístroje. Tato elektronická část je řešena výhodně jak z hlediska požadovaného rozsahu a přesnosti měření, tak jednoduchosti cejchování. Při obsluze má pracovník přístroj zavěšený na krku a má obě ruce volné.

Rozsahy tlaků	0 až 125 Pa
	0 až 500 Pa
	0 až 2 500 Pa
Rozsahy rychlostí	0 až 14 m/s
	0 až 28 m/s
Provozní teplota	—10 až 40 °C

Přesnost na výstupních zdírkách manom-

metru 1 %, tolerance indikačního přístroje ±1,5 %.

Napájení čtyřmi monočlánky (postačí na 300 provozních hodin) nebo adaptérem 5 až 13 V, 20 mA.

Bašus

## 6. SYMPOSIUM FASE

*Federace evropských akustických společností konané ve dnech 2. až 6. září 1986 v Soproni (MLR).*

HLavní téma tohoto symposia bylo „Subjektivní vnímání objektivních akustických jevů“. V tomto směru byly zaměřeny hlavní referáty, referáty v sekčích i příspěvky prezentované plakátovou formou.

HLavní problematika se týkala především hledání vztahů mezi subjektivním vnímáním různých typů hluku a jeho fyzikálním hodnocením, mezi subjektivním vnímáním zvukové difuzivity a kvantitativními měrami jejich poruch. Rada referátů byla zaměřena na kvantitativní charakterizování kvalitativních vlastností zvukového pole.

Velká pozornost byla věnována aplikaci digitální techniky k analýze a hodnocení akustických signálů a ke korekci kvality zvukového pole.

Součástí symposia byla výstava akustické měřicí techniky maďarských i zahraničních firem.

Řadu zajímavých poznatků o nových akustických zařízeních vyráběných firmou BaK a jejich využití přinesl referát Dr. Brüela. Sborník všech přednesených referátů bude vydán později a bude zaslán účastníkům symposia.

V rámci symposia proběhlo jednání představenstva FASE. Na jednání byla především diskutována otázka práce FASE, otázka koordinace akcí jednotlivých akustických společností v Evropě v příštím období a problematika výchovy nových odborníků v akustice v jednotlivých členských zemích. Otázka vzdělávání v akustice bude hlavním tématem konference pořádané pod záštitou FASE Akustickou společností PLR v květnu 1987 v Gdanském.

Chalupová



Obr. 1. Elektronický mikromanometr EDM 2500 M

## MEZINÁRODNÍ KONFERENCE „ZVÝŠENÍ OCHRANY DŘEVA“

Konference byla pořáданa bulharskou VTS pro lesnictví ve dnech 5.—9. 6. 1986 v Plov-

divu. Jednání, jehož se zúčastnilo asi 120 odborných a vědeckých pracovníků z BLR,

**ČSSR, MLR, PLR a SSSR**, proběhlo ve dvou paralelních sekčích — impregnace a ochrana dřeva a hygrotermická úprava dřeva.

Z techniky sušení byly předneseny následující referáty:

*S. Nikolov, BLR: Současný stav a perspektivy zvyšování ochrany dřeva*

*I. Dragozov, BLR: Vliv vnitřních napětí na jakostní ukazatele usušeného dřeva*

*Ch. Šechtov, BLR: Automatizace kontroly vlhkosti vysušeného dřeva v kontinuálních sušárnách*

*M. Koberle, ČSSR: Nové směry v oblasti sušení dřeva v ČSSR*

*Z. Viktorin, ČSSR: Energetická efektivnost rekuperace tepla u sušáren dřeva*

*P. Trebula, ČSSR: Model optimální technologie vakuumového sušení reziva s kontaktním ohřevem*

*V. Durišová, ČSSR: Vliv konečného ošetření na kvalitu vysušeného materiálu*

V průběhu jednání konference byly získány základní informace o stavu techniky sušení v dřevařském průmyslu BLR:

a) v BLR jsou provozovány sušárny dřeva staršího provedení dovezené z PLR, NDR, SSSR a Itálie s vysokou energetickou náročností při nízkém ročním výkonu;

b) na dobré úrovni jsou v BLR práce zaměřené na využití sluneční energie a na zavádění automatizovaného řízení a regulování sušených dřeva.

V průběhu diskuse byly účastníky projevované jednací možnosti zavádění nových progresivních technologií a sušárenských a impregnacích zařízení s intenzifikovaným průběhem vlastního procesu, nižší energetickou náročností a vyšší kvalitou výsledného produktu.

*Viktorin*

## NĚKTERÉ POZNATKY ZE SYMPOZIA „TVORBA A OCHRANA ŽIVOTNÍHO PROSTŘEDÍ PRO ČLOVĚKA“ DÜSSELDORF, 1. AŽ 3. 10. 1986

V návaznosti na zprávu o sympoziu a výstavě Tvorba a ochrana životního prostředí pro člověka, které se uskutečnilo ve dnech 1. až 3. 10. 1986 v Düsseldorfu, uvářejeme další informace o poznatcích, které vyplynuly zejména z zahraničních koreferátů.

V českém referátu hovořil B. Brix o centralizovaném zásobování teplem (CZT) jako významném přínosu k ochraně čistoty ovzduší. CZT se zvyšuje účinnost využití primární energie u uhlí z 35 až 38 % na 60 až 62 %. To představuje významné snížení emisí a rovněž snížení požadavků na deponie popela, spojené se záborem pozemků. Podářilo se zastavit růst emisí tuhých láttek, takže v roce 1985 byly emise sníženy na stav z r. 1970 přes dvojnásobné nárůst instalovaného výkonu. To představuje snížení emisí na jednotku výkonu na polovinu. Přechodem výrobního bloku kondenzačního o výkonu 110 MW na kombinovanou výrobu elektrického proudu a tepla se sníží emise  $\text{SO}_2$  o 19 až 26 % a popísku o 31 až 42 %. Na teplárenský systém bude do r. 2005 rekonstruován výkon asi 1 600 MW.

Dálkové zásobování teplem bylo předmětem i koreferátu M. Siewerta. Využití tepla z elektráren pro CZT blízkých spotřebitelů se zabývali ve VEBA Kraftwerk Ruhr AG již od začátku šedesátých let. Výstavba sítí podle strategie samostatných obvodů přešla na strukturu propojených sítí, čímž byly zvýšeny kapacity dodávek a CZT bylo zajištěno na široké základně. Propojení sítí je i ekonomicky výhodné, a to jak pro odběr tepla všeobecně, tak pro částečnou kompenzaci dodatečných nákladů z výhlásky o „velkých spalovacích zařízeních“.

O zařízeních na odlučování a zachycování škodlivin, vyvinutých a vyráběných v ČSSR, referoval J. Tůma ve společném referátu s J. Kočím. Uvedl, že výrobky odpovídají světovému průměru. Vynikáme v textilních

filtrech, kde se dosahuje vyčištění pod 1 mg/m<sup>3</sup> a dokonce pod 0,1 mg/m<sup>3</sup>. Základní trendy změn v požadavcích na odlučovací techniku jsou dány rizikem jemných částic, zvýšením využití surovin a zvýšením spolehlivosti a ekonomie provozu zařízení. Zvláštním problémem je filtrace aerosolu z jaderné energetiky. Vyráběné vysoce účinné filtry dosahují účinnosti 99,97 % pro částice o průměru 0,3 μm. Další informace se týkaly aparátů pro mokré odlučování plynných a pachových láttek (výrobce k. p. CHEPOS).

Koreferát G. Örtnera byl věnován opatřením na odsíření a zachycování oxidů dusíku v elektrárnách pracujících s hnědým uhlím. Podnik Rýnsko-vestfálské elektrárny (RWE) vybavuje dodatečně své hnědouhelné elektrárny odsiřovacími zařízeními v tomto rozsahu: 16 bloků 150 MW, 11 bloků 300 MW a 6 bloků 600 MW, tj. celkem 33 bloků o výkonu 9 300 MW. RWE využívá počátkem 70. let suchou aditivní metodu odsiřování. Vzhledem ke zvýšeným požadavkům na snížení emise  $\text{SO}_2$  začali od r. 1983 používat mokré odsiřování, které se předtím dobře osvědčilo v elektrárnách na černé uhlí. Byla zvolena jednotná velikost pračky, a to pro výkon 300 MW. Průtoky plynu jsou dvojnásobné než u bloků stejného výkonu na černá uhlí. Emise  $\text{NO}_x$  jsou ve srovnání s elektrárnami na černé uhlí poměrně malé, a to 500 až 700 mg/m<sup>3</sup>, díky různým primárním opatřením. Po realizaci plánovaných opatření dojde u elektráren RWE ke snížení emisí  $\text{SO}_2$  ze 420 000 t  $\text{SO}_2$  v roce 1983 na 101 000 t za rok v roce 1990 a u  $\text{NO}_x$  ze 199 000 t na 70 000 t ročně. Po výpencové výpírce se spalinu ochladí na 65 °C a to vyžaduje při odvodu komíny zvýšení jejich teploty ohřevem min. na 72 °C. Proto byl v elektrárně Völklingen provozně odzkoušen odvod spalin přes chladicí věže společně s vodními parami. Tím se ve srovnání s odvodem

spalin komínem zvýší průtok v poměru 14 : 1, koncentrace SO<sub>2</sub> se sníží v poměru 1 : 12 a vztak plynů a par se zvýší 10krát. Zařízení se bude realizovat u 14 výrobních bloků. Problémem je vznikající sádra, jejíž množství činí asi 1,5 mil. t/rok. Až do konce roku 1990 není pro ni odbyt ve stavebnictví. Proto se uvažuje s depozicí po smíchání s elektrárenským popílkem ve vytěžených povrchových dolech.

Další část jednání byla věnována výchově k péči o životní prostředí. V českém referátu informovali M. Čech a D. Kvasničková o začlenění oboru životního prostředí (ŽP) v čs. výchovně vzdělávací soustavě. V německém koreferátu uvedl R. E. Lob, že bylo dosaženo dobrých výsledků v přírodněvědných předmětech, naproti tomu ve společenských oborech je ještě co dohánět. Na vysokých školách vznikají nové obory zaměřené na ochranu ŽP.

Z referátu Z. Fačka vyplynula závažnost zatížení půd těžkými kovy, zejména olovem a kadmiem. V referátu bylo provedeno srovnání těžebních oblastí. V půdách ostravské aglomerace byla překročena hranice přípustnosti u Hg ve 24,5, Cd 14,0, Pb 8,5, Zn 5,3, Mn 3,3 a S u 7,8 % půdních vzorků. V SHP byl obsah Cd překročen u 25 % stanovišť, překročen byl i Mn a Zn, nebylo překročeno Pb. V této pávni byl obsah těžkých kovů v půdách nižší než v rostlinách, což se přičítá přiměřmu znečištění rostlin imisemi. Navržené přípustné meze těžkých kovů jsou pravou approximací. Na základě experimentálních hodnot budou upřesňovány.

V. Rumík referoval o mechanismu chemických reakcí metod k zneškodňování toxických odpadů.

V. Kadlec a M. Fiala informovali o novém typu stavebnicové čistírny komunálních odpadních vod, jejímž výrobcem je k. p. SIGMA. Čistírna je určena pro 1 000 až 10 000 obyvatel a hodí se i pro čištění vybraných odpadních vod potravinářského průmyslu. Redukce dusíkatých láték se pohybuje kolem 80 %, BSK<sub>s</sub> a nerozpustěné látky ve vycíštené vodě klesají za ustálených podmínek pod 15 mg/l. Další část referátu se týkala čištění průmyslových odpadních vod znečištěných čpavkem a těžkými kovy.

O situaci v čištění odpadních vod v SPV a o sledování kvality říčních vod měřením informoval F. Malz.

O vlivu živočišné výroby na ŽP a o opatřeních podnikaných k ochraně ŽP referoval J. Benda a některé toxikologické otázky k jeho referátu objasnil v diskusi M. Cikrt. V koreferátu uvedl H. Häufmeier, že zkušenosti s produkovanou kojidou jsou ještě v mnoha oblastech nepatrné. V posledních 10 až 15 letech se však vyjasnily základy pro zužitkování kejdy při hnojení. Aplikaci této znalostí se sníží ohrožení vod. Pro ochranu čistoty ovzduší existuje soubor technických opatření a znalostí o potřebných minimálních vzdálenostech. Rostliny a půda jsou ohroženy pouze při závažných chybách. Totéž platí pro hygienické ohrožení člověka a zvířat.

Poslední skupina referátů se týkala otázek

výstavby, bydlení a rekreace. L. Antony dokumentoval peči o kulturní památky v ČSSR. V ČSR bylo dosud vyhlášeno 67 národních kulturních památek, 35 městských památkových rezervací a 6 000 chráněných církevních objektů. V referátu byly formulovány cíle státní památkové péče. V koreferátu hovořil K. M. Rödder o potřebě údržby památek, aby mohly být uchovány v původním stavu. Existuje řada hypotéz o příčinách poškozování staveb činností lidí v přírodním působení. Ochrana se zjednoduší, známe-li příčinu poškozování. Dále uvedl některé způsoby ochrany různých materiálů, přičemž zdůraznil nutnost nepropustnosti styčných ploch.

Referát M. Sýkory byl věnován regeneraci a přestavbě městských center. Systematický přístup vyžaduje současné řešení otázek architektonických s otázkami technickými a technologickými. Dosavadní přestavba byla postupná, dnes probíhá v krátké době. Je to soubor problémů, jehož součástí je urbanistická kompozice. V druhé části referátu hovořil W. Hána o funkční a prostorové struktuře center měst a problémech rehabilitace městských center. Koreferát H. D. Krupinského přednesl U. Übler. Vylíčil jednotlivé fáze růstu měst, spojené s přestavbou a řešením dopravy, až po současný stav charakterizovaný návratem k přesným zónám. Vyzdvihl význam budování malých zelených ploch v obytných částech pro zlepšení prostředí. Uvedl 6 stěžejních bodů, které nutno respektovat: 1. Zlepšení městské dopravy, 2. Obnovení cenově výhodných bytů, 3. Zlepšení nabídky pro kulturní využití, 4. Zachování kulturních památek, 5. Zlepšení situace související se stávajícími provozy — mnoho jich již bylo vyšídleno, 6. Vyloučení tranzitní dopravy z měst.

J. Mareček hovořil o krajině a zemědělství v příměstské oblasti. Na diapozitivech ukázal příklady moderní zemědělské využívání krajiny u nás, která má sice jiný vzhled, než byl vzhled krajiny dříve, tj. soukromého zemědělského hospodaření, ale která je v novém pojetí krásná. Poukázal na vliv barevných kontrastů. Na příkladech osevních plánů v příměstské oblasti dokumentoval, že spoluprací zemědělských podniků a specialistů zabývajících se tvorbou krajiny mj. i z estetického hlediska, lze dosáhnout velmi uspokojivého sladění ekonomických, tj. především zemědělských i estetických, rekreačních a dalších požadavků na krajинu v příměstské oblasti.

F. Pieper hovořil o způsobech zlepšování životního prostředí v oblasti. Při rozhodování má zásadní vliv skutečnost, jakého počtu lidí se případná až již pozitivní nebo negativní změna prostředí týká. Nejlepší zkušenosti mají ze spolupráce s občany a bez této spolupráce by většina opatření na zlepšení životního prostředí neprinesla zdaleka takový efekt. Na příkladu vytváření tzv. tiché pěší zóny v městském centru svoje tvrzení dokumentoval. Extrémní požadavky občanů pominou, jakmile jsou občané přímo zapojeni do celého řešení. Vybirají 6 až 8 občanů, v příslušné oblasti bydlících, z různých sociálních a věkových skupin a tito občané se zúčastní řešení od ideo-

vých návrhů, přes přípravu dokumentace, kontrolu provádění celé akce až po závěrečné finanční vyúčtování.

Závěrečnou pódiovou diskusi řídil místopředseda ČKVТИR Ing. arch. F. Martinec. Z diskuse vyplynula potřeba další spolupráce, avšak orientované na území zaměřená minisymposia pro vybraný okruh odborníků. Další možností je výměna expertů na různá předem vybraná temata. Z německé strany byla navržena spolupráce mezi Svazem německých inženýrů VDI a Čs. vědeckotechnickou společností.

Doplňkem symposia byla odborná exkurze dne 4. 10. 1986. Jejím předmětem byla návštěva fy Bayer Leverkusen. Účastníci byli seznámeni se způsobem zneškodňování části odpadů a se způsobem čištění odpadních vod v čistírně pro průtok 160 000 m<sup>3</sup> za den. Pozoruhodné je dvoustupňové biologické čištění odpadních vod. Skládka je jištěna několika způsoby proti průsaku vod. Čištění spalin ze spalovny odpadů se děje elektrickým odlučo-

vačem a zachycují se i plynné složky spalin. Přesto je výška komínu 100 m. Náklady na provoz těchto zařízení činí 1,1 mld. marek, což je 6 % čistého zisku společnosti Bayer.

Další část exkurze byla do prostoru těžby hnědého uhlí a rekultivace Rheinische Braunkohle AG u Bachendorfu. Povrchově se těží až do hloubky asi 250 m a rekultivace se provádí na původní úroveň terénu, s určitými úpravami, jako je např. vytvoření zalesněného pahorku a na jiném místě jezera pro rekreační účely. Asi 70 % ploch se rekultivuje na ornou půdu a 30 % se zalesňuje. Rekultivační cyklus trvá 7 let a je spojen i s výstavbou nových obcí za ty, které byly zbořeny v důsledku těžby.

Elektrárny o výkonu 2 400 až 2 600 MW pracují s odsířováním mokrým způsobem. Investice do odsířování činily dosud u této společnosti přes 6 mld. marek. Emise, vystupující z komínů elektráren, nebyly proti modré obloze patrné.

L. Oppl

## REPUBLIKOVÝ SEMINÁŘ ENERGETICKÁ NÁROČNOST PRŮMYSLOVÝCH BUDOV PŘI RŮZNÝCH OSVĚTLOVACÍCH SYSTÉMECH

Ve dnech 3. až 5. prosince 1986 se konal v Srní — hotelu Šumava republikový seminář, připravený ústřední odbornou skupinou 3 — Pracovní prostředí českého výboru komitétu pro životní prostředí ČSVTS a Domem techniky Plzeň.

Z jednání semináře, který byl setkáním odborníků různých profesí (architektů, stavebních techniků, tepelných techniků, světelných techniků, vzduchotechniků a hygieniků), vyplynuly následující závěry pro racionální projektování budov a technických zařízení k úpravě stavu prostředí.

1. Způsob řešení a provedení stavební konstrukce průmyslové budovy má rozhodující podíl na energeticky výhodném řešení. Architektonické řešení i stavební provedení musí odpovídat účelu a druhu technologie. Nelze počítat s úplnou univerzálností koncepce budovy, což ovšem nevylučuje víceúčelovou budovu pro určitý typ výroby (hala pro těžký průmysl, strojírenská hala lehké konstrukce, atd.).

2. Tepelné technické vlastnosti budovy a jejích konstrukcí i prvků musí odpovídat nejen platným normám, ale i požadavkům na maximální úsporu energie (tj. požadavkům na minimální tepelné ztráty v zimě a minimální tepelnou zátěž v létě) při respektování požadavků na kvalitu prostředí z hlediska lidí a technologií.

3. Dodržení hygienicky předepsaných hodnot osvětlení, mikroklimatu a čistoty ovzduší vyžaduje volbu vhodné koncepce systému osvětlení, větrání a úpravy vzduchu. Vznikají-li protichůdné požadavky na denní osvětlení a mikroklima, je třeba je řešit vhodným kompromisem. Konkrétní řešení přitom vyhází z hygienické závažnosti činitelů pracov-

ního prostředí, požadavků technologie výroby a energetické efektivnosti; výlučně ekonomické otázky nesmí být nadřazovány požadavkům ochrany zdraví.

4. Přítomní se shodli na potřebě přednostního využívání denního osvětlení s ohledem na fyziologické požadavky člověka.

5. Dosavadní zkušenosti aplikace hygienického předpisu č. 46/78 potvrzují oprávněnost ustanovení obsažených v oddíle č. VIII (provozovny bez denního světla) citované směrnice. Při novelaci předpisu č. 46/78 se doporučuje ponechat obecné požadavky na přípustnost výstavby budov bez denního světla a upravit požadavky na dodržení alespoň 50% výměny vzduchu při poruše funkce zařízení u malých hal (kde se navrhuje pouze 1 větrací, resp. klimatizační jednotka). Dále se doporučuje upravit požadavky na dodržení minimálního podílu čerstvého vzduchu v čistých provozech a dalších provozech, v nichž vychází vysoká dávka čerstvého vzduchu na 1 osobu.

Doporučuje se rozlišit prostory bez denního světla s možností přirozeného větrání (např. některé prostory v hutním průmyslu) a prostory bez možnosti přirozeného větrání s denním osvětlením (např. čisté klimatizované prostory).

6. Byla konstatována nezastupitelnost lučernového světlíku a případně jiných světlíků s prioritní větrací funkcí (typ Colt aj.) pro haly s velkými zdroji tepla. U zdrojů škodlivin (tepla, dýmů atd.) se zdůrazňuje potřeba účinného místního odsávání, včetně čištění odsávaných plynů.

7. Sedlové světlíky dosahují vysoké světelné technické účinnosti, mají však řadu nevýhod, které omezují jejich použití (např. menší rovnomořnost denního osvětlení, možnost

oslnění zraku slunečním zářením, nadmerné tepelné osálení osob slunečním zářením, omezená možnost půrizeného větrání, obtížná čistitelnost). Vzhledem k vysoké tepelné zátěži sluneční radiací musí být sedlový světlík prováděn s možností půrizeného odvodu vzduchu.

8. Předností pilových světlíků je dobrá rovnomořnost osvětlení; pro dosažení vyhovující světelné technické účinnosti je nutné, aby zasklení bylo skloněné. Provedení světlíků je třeba dořešit pro možnost účinného půrizeného větrání.

9. U osvětlovacích otvorů v obvodovém pláště se doporučuje používat clonice systémy ke snížení tepelné zátěže sluneční radiací (např. okenní žaluzie a další clonice systémy).

10. Tam, kde ze závažných důvodů nelze dosáhnout vyhovujícího denního osvětlení, připouští se sdružené osvětlení řešené podle podmínek uvedených v ČSN 36 0020.

11. Účastníci semináře, na základě rozboru konkrétních případů, se shodli v názoru, že

řádné uvedení do provozu a vyregulování technických zařízení pro úpravu prostředí je jednou z rozhodujících podmínek dosahování požadovaných parametrů prostředí. Z tohoto hlediska doporučují realizaci servisní služby pro údržbu vzduchotechnických zařízení, navrženou ústřední odbornou skupinou ÚOS 11 Provoz a údržba větracích a klimatizačních zařízení.

12. Na programu semináře bylo i posouzení několika vybraných typů osvětlení průmyslových hal (světlíky lucernové, sedlové, pilové, bezokenní hala). Vzhledem k tomu, že číselné zhodnocení jednotlivých typů z energetického hlediska vyžaduje upřesnění metod a podkladů výpočtu, doporučuje se, aby ÚOS 3 Pracovní prostředí se ve své další činnosti zaměřila na tuto problematiku s cílem publikovat konkrétní zhodnocení v odborné literatuře. Řešení by mělo být zaměřeno i na perspektivní výstavbu automatizovaných a robotizovaných závodů.

Drkal



## FRANTIŠEK MÁCA — 80 LET

Zdá se, že posledních pět let, které uplynuly od doby, co jsme v našem časopise vzpomněli životního jubilea našeho předního odborníka v oboru klimatizace Františka Máci, uběhlo opět rychleji. Nás jubilant se však tempu času dovedl přizpůsobit. Je neuvěřitelné, kolik práce a v jakých termínech dokázal v posledních letech vykonat. Osmdesátiny jsou krásné jubileum. Všichni k nim upřímně Františkovi Máci blahopřejeme a máme radost, že se jich dožívá v plné duševní svěžestí a dobrém zdraví. Františka Máci zná snad každý, kdo se zabývá vzduchotechnikou a další okruh techniků z řad investorů, technologií, provozovatelů zařízení apod. Bylo by proto zbytečné se v tomto medailonku rozepisovat o tom, co vše ve svém na práci tak bohatě životě vykonal. Co však chceme říci je to, že si jeho práce nesmírně vážíme, že máme radost z jeho stálé aktivity a že ho rádi vidíme mezi sebou. A to poslední třeba upřesnit, že ne pouze pro jeho práci, ale především pro jeho lidské vlastnosti, pro jeho nekompromisní hájení pravdy, pro jeho nepřeberné zkušenosti a široké znalosti, pro jeho životní optimismus.

Při příležitosti životního jubilea přejeme všichni — Český výbor komitétu pro životní prostředí ČSVTS, redakční rada časopisu ZTV a široká technická veřejnost — Františkovi Máci především dobré zdraví, aby dlouhá léta byl ještě mezi námi a aby mohli dálé, aby se těšil z výsledků své práce, kterou vykonal a aby mohli společně mohli přispívat k rozvoji oboru, který jubilant vykonával ne jako pouhé zaměstnání, ale poslání zaměřené na technický pokrok. Konečně přejeme jubilantovi další úspěchy při veškeré jeho činnosti a dobrou životní pohodu, kterou se vždy snažil vytvářet pro druhé.

ČV KŽP ČSVTS  
Redakční rada ZTV

## ● Racionalizace spotřeby pitné vody v domácnostech

V současné době ve vyspělých státech vzrůstá spotřeba pitné vody, jejíž zajišťování je cílem dále tím více obtížnější. Tomu odpovídá zvýšené úsilí národních hospodářů, vědců i techniků o racionalizaci její spotřeby. Na toto téma je i zaměřen článek F. Heila: Rationelle Verwendung vom Trinkwasser v časopise Heizung, Lüftung, Haustechnik č. 6/86, z něhož přinášíme nejzajímavější statii.

Spotřeba vody domácností je ovlivňována řadou faktorů, a to:

- počtem obyvatel,
- počtem domácností,
- vybavením domácností,
- životními zvyky,
- příjmy obyvatel (životní úroveň),
- klimatem,
- strukturou sídliště.

Denní spotřeba pitné vody v domácnosti na jednoho obyvatele v NSR v r. 1968 činila 116 litrů a stoupla nyní na téměř 150 litrů. Pro rok 2000 se předpokládá spotřeba 160 litrů. Největší podíl z tohoto činí sprchování a koupání. Spotřebu vody možno snížit novými armaturami, na které jsou kladený tyto požadavky:

— udržování konstantního objemového průtoku vody podle účelu armatury, nezávisle na tlaku vody,

— udržování konstantní teploty vody nezávisle na jejím tlaku, vč. ochrany proti opaření (zejména důležité u sprch),

— pohodlná regulace a ovládání paží, nohou či jinak tělem.

U mnoha dnes vyráběných baterií se spotřebuje zbytečně mnoho vody, než se nastaví voda požadované teploty. Použitím směsovačů s jednou pákou se žádána teplota nastaví rychle, a tím sníží spotřeba.

Spotřebu vody možno snížit i použitím tzv. omezovačů průtoku, které se zpravidla instalují mezi armaturu a perlátor. Lze jimi omezit průtok při vyšších tlacích vody na zvolitelnou hodnotu.

Zajímavé jsou výsledky ankety uspořádané v NSR, podle níž se občan NSR kupou nebo sprchuje průměrně jednou za 2,5 dne, přičemž v domácnostech s jedním obyvatelem připadají 3,1 koupele za týden, zatímco v domácnostech se třemi osobami jen 2 koupele týdně. Samozřejmě se zvýšeným komfortním vybavením bytu stoupá i počet koupelí na osobu. Spotřeba vody na osobu v NSR činí průměrně 40 až 80 litrů na sprchu, 150 litrů u normálních van a 110 litrů u krátkých van.

Spotřeba vody u sprch závisí na době sprchování, přičemž při tlaku vody 0,1 MPa je průtok vody:

- u úsporných sprch 6 až 8 litrů/min,
- u normálních sprch 9 až 14 litrů/min,
- u komfortních sprch 15 až 23 litrů/min.

Tam, kde mají baterie vestavěný termostat, je možno při sprchování po dobu mydlení sprchu zastavit. Podle průzkumu v druhém případě je spotřeba vody asi dvoučetinová oproti sprchování bez přerušení průtoku.

Spotřeba vody u přístrojů pro domácnost velice kolísá, avšak podle průzkumu např. u čtyřčlenné domácnosti se spotřebuje při automatickém i ručním mytí nádobí přibližně stejně vody.

Až třetina spotřeby vody v domácnosti připadá u splachování klozetů. Také zde se dá voda ušetřit.

Norma DIN 19 542 z r. 1970 uvádí, že po uvedení v činnost splachování se musí bez přerušení vypustit nejméně 9 litrů vody. Výzkum ale ukázal, že tento požadavek nemá své opodstatnění a že splachovací zařízení má mít možnost přerušení s tím, že pro tzv. „malou potřebu“ zcela postačí 3 litry vody. Proto nové vydání uvedené normy z r. 1984 připouští přerušení splachování v tom, že minimální dávka vody na jedno spuštění musí činit alespoň 3 litry. Takovéto řešení podle propočtu přináší asi 45 % úspory vody, což by pro celou NSR představovalo asi 270 mil. m<sup>3</sup> vody za rok. Nejnověji se na trhu objevily splachovací nádrže s nastavitelným množstvím splachovací vody.

### Jiná řešení k úspoře vody

Jeden ze způsobů jak snížit spotřebu vody je instalovat vodní okruh tak, že pitná voda se přivádí do pračky, koupací vany nebo sprchy a odpadní voda z nich se shromažďuje v nádrži. Odtud je po přefiltraci čerpadlem dopravována ke splachovacímu klozetu. Taková řešení nalezneme např. v USA nebo v Japonsku, kde to platí zejména pro oblast Tokia, kde jsou vodovodní řad i kanalizace beznadějně přetíženy. Jde se tam dokonce tak daleko, že se stavební povolení uděluje jen tehdy, je-li naprojektován i takový systém k opětnému využívání vody. Nejsou však k dispozici spolehlivé údaje o hospodárnosti tohoto systému.

Je třeba se též zmínit, že se provádí i výzkum využití dešťové vody k praní, mytí a splachování WC. Princip je jednoduchý. Dešťová voda z okapů se zachycuje v nádrži umístěné ve výši (např. na střeše přístavku, garáži apod.) a pak prochází spádem hrubým a jemným filtrem ke spotřebičům. Instalace takového zařízení je především ekonomickou otázkou.

(Kubiček)

**Gesundheits-Ingenieur 107 (1986), č. 4**

- 19. Berliner Gesundheitstechnische Tagung 1986 (19. Berlinské zasedání zdravotní techniky — 1986) — 193.
- Kälteversorgung in der Raumlufttechnik (Rozvod chladu ve vzduchotechnice) — *Brunk M. F.*, 194—204.
- Eine neue Methode zur Berechnung mehrdimensionaler instationärer Wärmeleitung mittels finiter Differenzen (Nová metoda na výpočet několikarozměrového nestacionárního vedení tepla za použití konečných rozdílů) — *Poos B.*, 205—208.
- Infraschall und Klimaanlagen (Infražvuk a klimatizační zařízení) — *Hönemann W.*, 209—212, 223—235.
- Historische Elemente technischer Gebäudeausrüstung in Indien (Teil 2) (Historické prvky technického vybavení budov v Indii — díl 2.) — *Grassnick M.*, 213—214.
- Erdgaslieferungen nach Berlin (West) aufgenommen (Dodávky zemního plynu do Berlína (Západ)) — příloha.
- Kunststoffrohre in der Trinkwasserinstallation (Trubky z umělé hmoty v instalaci pitné vody) — příloha.
- VDI-Kommission Reinhaltung der Luft — Neue Richtlinien (Komise VDI „čistota ovzduší“ — nové směrnice) — příloha.

**Gesundheits-Ingenieur 107 (1986), č. 5**

- Drei Schallmessverfahren für Schlag- und Aufbruchhämmer (Tři způsoby měření hluku pneumatických kladi) — *Hecker R.*, 245—254, 309—311.
- 13. Symposium über branchenspezifische Emissionen — Auswirkungen des Reaktorunfalls in Tschernobyl (13. Sympozium o specifických emisích — důsledky nehody reaktoru v Černobylu) — 255.
- Vorwort (Předmluva) — *Ruckdeschel*, 257—258.
- Richtwerte und Empfehlungen der Strahlenschutzkommission (Směrné hodnoty a doporučení komise na ochranu proti záření) — *Jacobi W.*, 259—263.
- Informationen und Hinweise für die Öffentlichkeit über die Auswirkungen des Reaktorunfalls von Tschernobyl auf Bayern (Informace a pokyny pro veřejnost o vlivu nehody reaktoru v Černobylu na Bavorsko) — *Vogl J.*, 264—265.
- Das Wettergeschehen im Zusammenhang mit dem radioaktiven Fall- und Washout des Reaktorunfalls in Tschernobyl (Povětrnostní podmínky v souvislosti s radioaktivním spadem a úletem při nehodě reaktoru v Černobylu) — *Böllmann U., Zeising H.*, 266—273.
- Messprogramme zur Erfassung der Kontamination durch den Reaktorunfall in Tschernobyl (Programy měření ke zjištění kontaminace

vlivem nehody reaktoru v Černobylu) — *Eder E.*, 274—278, 287—289.

— Auswirkungen der grossflächigen Kontamination durch den Reaktorunfall in Tschernobyl auf den Kernkraftwerksbetrieb (Důsledky velkoplošné kontaminace vlivem nehody reaktoru v Černobylu na provoz jaderné elektrárny) — *Herzog T.*, 290—293.

— Nuklidspezifische Messungen der Bodenkontamination in Bayern und die daraus resultierende Strahlenexposition (Specifická měření nuklidů v půdní kontaminaci v Bavorsku a z toho vyplývající doba ozáření) — *Winkelmann I., Klopfer P., Weimer S., Wolff S.*, 293—300.

— Auswirkungen des Reaktorunfalls in Tschernobyl. Geografische Verteilung der radioaktiven Immissionen in der Bundesrepublik und in West-europa (Důsledky nehody reaktoru v Černobylu. Zeměpisné rozdělení radioaktivních imisí v NSR a v západní Evropě) — *Paschke M.*, 301—305.

— Ganzkörper- und Inkorporationsmessungen an Personen aus besonders strahlenexponierten Berufsgruppen (Měření na celém těle a inkorporační měření u osob ze skupin povolání obzvláště vystavených záření) — *Gognet L.*, 306—308.

— Wie reagierten die Fernwärmeeabnehmer auf die beiden Ölpreisschübe von 1973 und 1979? (Jak reagovali odběratelé dálkového tepla na obě změny cen oleje od r. 1973 a 1979?) — *Buck H.*, 311—312.

— Tendenzen und Entwicklungen im Bradschutz in Kanada (Směry a vývoje v ochraně proti požáru v Kanadě) — *Paul V.*, 313—314.

— Zur Heizenergieeinsparung von Wohngebäuden (K úspoře energie k vytápění obytných budov) — příloha.

**Heating, piping, air conditioning 58 (1986), č. 9**

- Life cycle cost effectiveness (Náklady a životnost) — *Klassen J.*, 75—84.
- Decision making in energy retrofit design (Rozhodování při zpětném získávání energie) — *Tseng Yao Sun*, 89—93.
- Computerized building simulation programs (Simulační programy řízení provozu budovy počítačem) — *Lynn R. G., Kirkwood S. H.*, 97—98.
- Present worth cost analysis model (Současný model nákladů) — *Montag G. M., Shih-Ming Lee*, 103—106.
- Dedicated modules make DDC easy (Moduly pro přímou digitální regulaci) — *Sosoka J.*, 111—115.
- Don't let corrosion get your underground tanks (Ochrana podzemních zásobníků před korozí) — *Fitzgerald III. J. F.*, 119—125.
- Intelligent controls (Inteligentní regulace) — *Haines R. W.*, 127, 134.

## **Heizung Lüftung Haustechnik 37 (1986), č. 8**

- Technik der Anlagenfunktion anpassen. Probleme der Messdatenerfassung in Anlagen der Technischen Gebäudeausrüstung (Přízpusobení techniky funkce zařízení. Problémy evidence údajů měření v zařízeních technického vybavení budov) — *Kopp H.*, 401—410.  
— Raumlufttechnik in Industriehallen. Weiterentwickelte Lufttechnik mit Schadstoff erfassung und gezielter Belüftung (Vzduchotechnika v průmyslových halách. Nově vyvinutá vzduchotechnika se zachycením škodlivin a cíelným větráním) — *Bach H.*, *Dittes W.*, 411—418.  
— Erfassen von Störungen im Luftstrom. Staukörper zur Luftstrommessung in Kanälen von Raumlufttechnischen Anlagen unmittelbar hinter Strömungsstörstellen — 2. Teil (Zjištění poruch v proudu vzduchu. Vzdouvací těleso k měření proudění vzduchu v kanálech vzduchotechnických zařízení bezprostředně za místy poruch proudění; 2. díl) — *Presser K. H.*, 419—425.  
— Kennlinie von Radialventilatoren bestimmt. Abschätzung unter Einhaltung umgrenzter Konstruktionsmerkmale auf der Basis der geometrischen Laufraddaten möglich (Určení charakteristiky radiálních ventilátorů. Odhad je možný za dodržení obrysových konstrukčních znaků na základě geometrických údajů oběžného kola) — *Klaes K.*, *Bommes L.*, *Sentek J.*, 437—444.

## **Heizung Lüftung Haustechnik 37 (1986), č. 9**

- Gasmotor treibt Wärmepumpe. Energetisches und wirtschaftliches Betriebsverhalten einer Gaswärmepumpe im bivalenten Heizbetrieb (Plynový motor pohání tepelné čerpadlo. Energetické a hospodárné provozní chování plynového tepelného čerpadla v bivalentním provozu vytápění) — *Borrman H.*, *Baumann H.*, *Dobler P.*, 455—461.  
— Umweltwärme zum Heizen kombiniert. Luftkollektor und Erdspeicher versorgen elektrische Wärmepumpe zur Raumbeheizung (Kombinace tepla prostředí k vytápění. Vzduchový kolektor a podzemní akumulátor napájí elektrické tepelné čerpadlo k vytápění prostoru) — *Zekorn T.*, 462—466.  
— Symposium: Warmwasserversorgung zentral — dezentral (Symposium: Rozvod teplé vody, centrální — decentrální) — 467—479.

## **Heizung Lüftung Haustechnik 37 (1986), č. 10**

- Wärmeleistung von Fußbodenheizungen. Teil 2. Entwicklung der Berechnungsgleichung für Trockenverlegesysteme (Tepelný výkon podlahových vytápění. Díl 2. Vývoj výpočtové rovnice pro suché instalacní systémy) — *Kast W.*, *Klan H.*, *Bohle J.*, 497—502.  
— Keine Rückgewinnung der Transmissionswärme. Ein neues Wärmepumpen-Heizsystem soll Energieverbrauch durch Wärmerückgewinnung verringern (Žádné získávání

transmisního tepla. Nový vytápěcí systém s tepelným čerpadlem má snížit spotřebu energie využitím odpadního tepla) — *Kindler H.*, 503—504.

— Dimensionierung von Ausdehnungsgefäßsen. Schadenursache an Heizanlagen sind meist zu klein bemessene Membran-Druckausdehnungsgefäßse (Stanovení rozměrů expanzních nádob. Přičinou poškození jsou nejvíce příliš malé dimenzované membránové tlakové expanzní nádoby) — *Metzner G.*, 506 až 507.

— Entwicklung rationeller Fernwärme-Hausstationen (Vývoj racionálních domovních ústředních pro dálkový rozvod tepla) — *Paulmann R. D.*, 519—521.

— Grosswärmepumpen zur Nah- und FernwärmeverSORGUNG. Projekte deutscher Entwicklung bisher vorwiegend im Ausland realisiert (Velká tepelná čerpadla pro blízký a dálkový rozvod tepla. Projekty německého vývoje jsou dosud uskutečněny převážně v zahraničí) — *Schwingl E. F.*, 522—526.

— NT-Heizung/Regelungstechnik (Nízkoteplotní vytápění — regulační technika) — 508 až 509.

— NT-Heizung/Abgasreinigung (Nízkoteplotní vytápění — čištění odpadního plynu) — 511—512.

— Abgasführung (Odvádění odpadního plynu) — 513—514.

## **Heizung und Lüftung — Chauffage et ventilation 53 (1986), č. 4**

— CAD-Einsatz in der Haustechnik (Použití techniky CAD v domovní technice) — *Wys-sling U.*, 13—18.

— Le chauffage au moyen du bois densifié (Vytápění za použití dřeva) — *Cnop R.*, 18—19.

— Regelung von Fussbodenheizungen (Regulace podlahového vytápění) — *Ruosch E.*, 22—25.

— Die Regelung bei Niedertemperatur-Kompakt-Heizzentralen (Regulace u nízkoteplotních kompaktních vytápěcích centrál) — *Holtz R.*, 30—31.

— Korrosionsfreie erdsondengespiesene Heizungsanlage (Vytápěcí zařízení, napájené zemními sondami, bez koroze) — *Keller H. R.*, 31—32.

— Der Einfluss der Wärmedämmung unter einer Fussbodenheizung auf die Wirtschaftlichkeit dieses Heizsystems (Vliv tepelné izolace pod podlahovým vytápěním na hospodárnost tohoto vytápěcího systému) — *Werner B. E.*, 32—33.

## **Heizung und Lüftung — Chauffage et ventilation 53 (1986), č. 5**

— Konzeption und Auslegung von hydraulischen Schaltungen und Stellgliedern (Koncept a stanovení rozměrů hydraulických zapojení a regulačních orgánů) — *Schaer M.*, 13—20.

- Klimatechnik in Bewegung (Klimatizační technika v pohybu) — 23.
- Klima und Mensch (Klimatické podmínky a člověk) — *Wanner H. U.*, 23—25.
- Klima und Gesetz (Klimatické podmínky a zákon) — *Burkardt G.*, 25—27.
- Klima und Verbraucher (Klimatické podmínky a spotřebitel) — *Lampert P.*, 27—29.
- Klima und Gebäude (Klimatické podmínky a budovy) — *Keller B.*, 29—31.
- Klima und Öffentlichkeit (Klimatické podmínky a veřejnost) — *Bahmann G.*, 31—33.
- Einsatz eines programmierbaren Taschenrechners zur Bestimmung des durchschnittlichen Jahresölverbrauchs einer Heizanlage (Použití kapesního počítáče s programem ke stanovení průměrné roční spotřeby oleje vytápěcího zařízení) — *Arbenz B.*, 33—34.

#### **Die Kälte und Klimatechnik 39 (1986), č. 7**

- Sind Durchfeuchtungen an Kältedämmungen unvermeidlich? (Jsou provlnutí na izolacích proti chladu nevyhnutelná?) — 289—290, 292, 294—295.
- Sicherheitstechnische Aspekte beim Entölen von Ammoniak-Kälteanlagen (Bezpečnostní technické aspekty při odstraňování oleje u amoniakových chladicích zařízení) — *Fischer K. H.*, 299—300, 302.

#### **Die Kälte und Klimatechnik 39 (1986), č. 8**

- Lüftung und Klimatisierung von Produktionsstätten (Větrání a klimatizace výrobních prostorů) — *Mürmann H.*, 329—333.
- Der Elektromotor — Arbeitsweise und Service [1] (Elektrický motor — funkce a údržba [1]) — *Wegner G. E.*, 334—336, 338—342.
- Firmenporträt: A'Gramkow, Sønderborg, Dänemark (Portrét firmy: A'Gramkow, Sønderborg, Dánsko) — 352, 354, 356, 358.
- Messevorschau: IKK 86 (Mezinárodní veletrh chlazení a klimatizace — přehled) — 360.

#### **Die Kälte und Klimatechnik 39 (1986), č. 9**

- Nutzung von CAD/CAM-Techniken. Entwicklung und Fertigung von Rotoren für Schraubenverdichter (Využití technik CAD/CAM. Vývoj a zhotovení rotorů pro šroubové kompresory) — *Nowotny S.*, 392, 394, 396, 398, 400.
- Der Elektromotor — Arbeitsweise und Service [2] (Elektrický motor — funkce a údržba [2]) — *Wegner G. E.*, 404, 406, 408, 410, 412, 416.
- Firmenporträt: Daikin Europe, Oostende, Belgien (Portrét firmy: Daikin Europe, Oostende, Belgie) — 418, 420, 422, 424.
- Ein Lüftungsventilator ist kein Industrieventilator (Ventilátor k větrání není ventilátorem pro průmysl) — *Kolleck M.*, 440, 442.
- Messevorschau: IKK 86 (Mezinárodní veletrh chlazení a klimatizace — přehled) — 448.

#### **Sanitär- und Heizungstechnik 51 (1986), č. 6**

- Neue Tendenzen sichtbar (Veletrh zdravotní techniky a přestavby staré bytové výstavby v Essenu) — 332—334.
- Rohrbegleitheizung: Keine Zirkulation und halbierte Korrosionsgefahr (Vytápení stojící vodou — bez cirkulace a s polovičním nebezpečím z koroze) — 336—338.
- Der „Rasenmäher“ — eine fast dummliche Strategie (Výhledy sanitární techniky na nadcházející léta) — *Ammon J.*, 339—342.
- Verbeugende Massnahmen bei Verwendung von Hydrazin (Ochranná opatření při používání hydrazinu) — 345—347.
- LAS-Prinzip mit vorhandenen Kaminen (LAS = Luft—Abgas—Schornsteine, Přednosti odtahů s přívody čerstvého vzduchu v jednom tělese) — *Lübke P., Beigel G.*, 348—352 pokrač.
- Haushalt und Kleinverbrauch sind nicht ohne Schulz (7) (Domácnosti a malospotřebitelé také přispívají ke znečištění ovzduší — díl 7.) — *Göddeke H.*, 355—358 pokrač.
- Elektrotechnik — Elektronik (33. Teil) (Elektrotechnika a elektronika — díl 33.) — *Schrowang H.*, 359—363 pokrač.

#### **Sanitär- und Heizungstechnik 51 (1986), č. 7**

- Vorbeugen ist gesünder als heilen (Ochrana je zdravější než léčení — úder blesku do instalace) — *Spalke F.*, 390—393.
- Schornsteine und Abgasleitungen für niedere Temperaturen (Komín a odtahy pro nízké teploty) — *Höss A.*, 394—399.
- Wir brauchen ganz neue Heizungssysteme (Potřebujeme nové otopné soustavy) — *Gertis K.*, 400—403.
- Korrosion in Heizungsanlagen: Ursachen, Wirkung, Gegenmassnahmen (Koroze v otopných zařízeních: příčiny, účinky, protiopatření) — *Lutz H., Seydel A., Hoffmann M.*, 404—406.
- Hallenbad Laboe sparte in den vergangenen fünf Jahren 40 % der Heizkosten (V halových lázních L. uspořili v posledních pěti letech 40 % nákladů na vytápění) — *Holtkamp E.*, 409—411.
- LAS-Prinzip mit vorhandenen Kaminen (2) (Přednosti odtahů s přívodem čerstvého vzduchu v jednom tělese — díl 2. — co už bylo provedeno, modelové zkoušky, přípustnost použití) — *Lübke P., Beigel G.*, 412—415.
- DAL-Seminar: Nicht Produkte, sonder Nutzen verkaufen (Firemní sdělení: seminář o sanitárních výrobcích) — 424.

#### **Sanitär- und Heizungstechnik 51 (1986), č. 8**

- Luftwechselzahlen in österreichischen Wohnungen (Výměna vzduchu v rakouských bytech) — 436.
- Schlechte Erfahrungen mit Motor—Wärme—Pumpen (Špatné zkušenosti s motorickým tepelným čerpadlem) — 438—439.
- Keine Haftung, wenn Produktmarken

- vorgeschrieben (Předpisované výrobky neprinášejí záruky) — *Stohmann F. W.*, 440 bis 441, 447.  
 — Ernüchterndes zu erneuenbaren Energiequellen (Částečné vystřízlivění z nových energetických zdrojů) — 442—447 pokrač.  
 — Haushalt und Kleinverbrauch sind nicht ohne Schuld (Domácnosti a malospotřebitelé také přispívají ke znečištování ovzduší — závěr) — *Göddeke H.*, 448—451.  
 — Wasser für Betzenstein (Zásobování vodou v minulosti) — *Ruckdeschel W.*, 452—456.  
 — Schornsteine und Abgasleitungen für niedere Temperaturen (2) (Komín a odtahy pro nízké teploty — díl 2.) — *Höss A.*, 459 bis 461.  
 — Israel setzt auf Aquadukte (Izrael bude vodou zásobován po aquaduktech) — 462 bis 463.  
 — Norderstedt: Heizwerk mit Brennwertkesseln (Provoz teplárny v N.) — 464—466.  
 — Deutsche Hilti: Akzent liegt auf Befestigungstechnik (firemní sdělení: mechanika upevnování) — 470—471.  
 — Körting: Gleitende Schaltdifferenz schont den Schornstein (firemní sdělení: ochrana komínů) — 473.  
 — Böckenholt GmbH.: Entnitratisierungsanlagen für besseres Brunnenwasser (firemní sdělení: úpravna studniční vody) — 476.  
 — Anforderungen Korrosions-Inhibitoren (Použití inhibitorů proti korozi) — 488—489.  
 — Kontra Seuchen und Chlorgasunfälle (Nákaza kontra otravy chlórem) — *Herschman W.*, 492—495.  
 — Telefon-Computer meldet Störungen (Komputer hlásí poruchy telefonicky) — 496—498.  
 — „Das kommunen-eigene Gas verzerrt den Wettbewerb“ (Problém palivové základny v NSR) — *Dach G.*, 499—504.  
 — Schornsteine und Abgasleitungen für niedere Temperaturen (Komín a odtahy pro nízké teploty — závěr) — *Höss A.*, 505—506.  
 — Trinkwasser: Keine Strahlenbelastung (Pitná voda v NSR nebude ozářena z havárie v Černobylu) — 507—508.  
 — Höher als gemeinhin angenommen (Problém kolem DIN 2067) — 509—510.  
 — Ein Megawatt von 20 000 Essen (Centrální velkokuchyň s totálním využitím tepelné energie ve vzduchotechnice) — *Vacek J.*, 511—518.  
 — Jacobi: Andrang am Sonntag (firemní sdělení: Jacobi má 77 let) — 522, 524.  
 — Zander: Kreissparkasse Bamberg als wegweisendes Konzept (firemní sdělení: vytápení spořitelny v B.) — 526, 528, 530.  
 — Fixotherm: Verbundrohre für Sanitär- und Heizungsinstallationen (firemní sdělení: spojovací části potrubí) — 532.

#### Sanitär- und Heizungstechnik 51 (1986), č. 9

— Rauchgas-Belästigung des Nachbaren unzulässig (Je nepřípustné obtěžovati sousedy kouřem) — 485.

**Ztv**

**3**

Zdravotní technika a vzduchotechnika. Ročník 30, číslo 3, 1987. Vydařá český výbor komitétu pro životní prostředí ČSVTS v Academii, nakladatelství Československé akademie věd, Vodičkova 40, 112 29 Praha 1. Adresa redakce: Dvorecká 3, 147 00 Praha 4. — Tiskno Tisk, knižní výroba, n. p., 656 01 Brno, závod 1. — Vychází šestkrát ročně. Rozšířuje PNS. Informace o předplatném podá a objednávky přijímá každá administrace PNS, pošta, doručovatel a PNS ÚED Brno. Objednávky do zahraničí vyřizuje PNS-ústřední expedice a dovoz tisku Praha, závod 01, administrace vývozu tisku, Kafkova 19, 160 000 Praha 6. Cena jednoho čísla Kčs 8,—, roční předplatné Kčs 48,—. (Tyto ceny jsou platné pouze pro Československo.)

Distribution rights in the western countries: Kubon & Sagner, P.O. Box 340 108, D-8000 München 34, GFR.

Annual subscription: Vol. 30, 1987 (6 issues) DM 110,—.  
 Toto číslo vyšlo v červnu 1987.

© Academia, Praha 1987.